

66419

İSTANBUL TEKNİK ÜNİVERSİTESİ ★ FEN BİLİMLERİ ENSTİTÜSÜ

**ANİZOTROP CISİMLERDE  
YER DEĞİŞTİRME SÜREKSİZLİĞİ YÖNTEMİ**

**DOKTORA TEZİ**

**Y. Müh. Bahattin KİMENCE** *KSEKÖĞRETİM KURUMU  
DOKTORA ANTASYON MÜRKETİ*

**Tezin Enstitüye Verildiği Tarih : 27 Aralık 1996**

**Tezin Savunulduğu Tarih : 12 Haziran 1997**

**Tez Danışmanı : Prof. Dr. M. Ertaç ERGÜVEN**

**Diğer Juri Üyeleri : Prof. Dr. Hasan BODUROĞLU**

**Prof. Dr. Aykut BARKA**

**Prof. Dr. Gülay AŞKAR**

**Prof. Dr. Tuncer ÇELİK**

**HAZİRAN 1997**

## ÖNSÖZ

Çalışmalarımın her aşamasında, yardımlarını hiç bir zaman esirgemeyen ve olumlu eleştirileriyle beni teşvik eden Sayın Hocam Prof. Dr. M. Ertaç ERGÜVEN'e en içten duygularımla teşekkür etmeyi bir borç bilirim.

Yaptığım çalışmayı anlayıp, benimseyip bana ve çalışmama inanarak çeşitli şekillerde destek veren Sayın Arş. Gör. Dr. Abdullah GEDİKLİ'ye teşekkür ederim.

Ayrıca anlayış ve sabırla gerekli çalışma ortamının oluşturulmasında yoğun çaba gösteren ailemin bütün fertlerine şükranları sunarım.

27 Aralık 1996

Bahattin KİMENÇE

## **İÇİNDEKİLER**

<b>ÖNSÖZ</b>	ii
<b>SEMBOL LİSTESİ</b>	v
<b>ŞEKİL LİSTESİ</b>	vii
<b>TABLO LİSTESİ</b>	x
<b>ÖZET</b>	xi
<b>SUMMARY</b>	xii
<b>BÖLÜM 1. GİRİŞ</b>	1
<b>BÖLÜM 2. TEMEL DENKLEMLER</b>	4
2.1. Genelleştirilmiş Hooke Kanunları	4
2.2. Düzlem Gerilme ve Düzlem Şekil Değiştirme Hali	6
2.2.1. Düzlem gerilme hali	7
2.2.2.. Düzlem şekil değiştirme hali	8
2.3. Enine İzotrop ve İzotrop Malzeme	9
2.4. Yer Değiştirme Potansiyelleri	11
2.5. Temel Çözümler	15
2.5.1. Sonsuz düzlem izotrop ortamda temel çözümler	15
2.5.2. Yarı-onsuz düzlem izotrop ortamda temel çözümler	18
2.5.3. Sonsuz düzlem anizotrop ortamda temel çözümler	20
2.5.4. Yarı-onsuz düzlem anizotrop ortamda temel çözümler	21
<b>BÖLÜM 3. SINIR ELEMANLAR YÖNTEMİ</b>	24
3.1. İndirekt Sınır Eleman Yöntem	24
3.1.1. Fiktif gerilme yöntemi	25
3.1.2. Yer değiştirme süreksizlikleri yöntemi	28
3.1.2.1. Normal doğrultudaki yer değiştirme süreksizliği	30
3.1.2.2. Kayma yer değiştirme süreksizliği	32
3.2. Sayısal Hesap Yöntemi	34
3.3. Sayısal Örnekler	39
3.3.1. Sonsuz düzlemede dairesel boşluk	39
3.3.2. Yarı-onsuz düzlemede dairesel boşluk	41

<b>BÖLÜM 4. İNDİREKT SINIR ELEMANLARDA ÖZEL UYGULAMALAR</b>	<b>43</b>
4.1. İki Malzemeli Bölge	43
4.2. Değme Elemanı	45
4.3. Mohr Coulomb Elemanı	48
4.4. Sayısal Örnekler	51
4.4.1. Sonsuz düzlemde iki malzemeli bölge	51
4.4.2. Yarı-sonsuz düzlemde iki malzemeli bölge	53
4.4.3. Yarı-sonsuz düzlemde çatlık fay etkileşimi	55
4.4.4. Sonsuz düzlemde boşluk fay etkileşimi	56
<b>BÖLÜM 5. ANİZOTROP ORTAMDA İNDİREKT SINIR ELEMAN YÖNTEMİ</b>	<b>58</b>
5.1. Fiktif Gerilme Yöntemi	58
5.2. Yer Değiştirme Süreksizliği Yöntemi	61
5.2.1. Normal doğrultudaki yer değiştirme süreksizliği	68
5.2.2. Kayma yer değiştirme süreksizliği	70
5.3. Sayısal Örnekler	73
5.3.1. Sonsuz düzlemde dairesel boşluk	73
5.3.2. Sonsuz düzlemde kare boşluk	75
5.3.3. Yarı-sonsuz düzlemde dairesel boşluk	77
<b>SONUÇLAR VE ÖNERİLER</b>	<b>79</b>
<b>KAYNAKLAR</b>	<b>82</b>
<b>ÖZGEÇMİŞ</b>	<b>90</b>

## SEMBOL LİSTESİ

- a : Doğrusal sınır eleman yarı uzunluğu
- c : Mohr-Coulomb elemanında kohezyon katsayısı
- $C_{ijkl}$  : Cauchy elastisite tansörü
- $c_{ij}$  : Voigt elastik sabitleri
- $D_x, D_y$  : Yerdeğiştirme süreksizlikleri
- $E_{xx}, E_{yy}, E_{zz}$  : Elastisite modülleri
- E : İzotrop malzemedede elastisite modülü
- $E_o$  : Değme elemanda elastisite modülü
- $F_x, F_y$  : Tekil kuvvetler
- $G_{xy}, G_{xz}, G_{yz}$  : Kayma modulleri
- G : İzotrop malzemedede kayma modülü
- $G_o$  : Değme elemanda kayma modülü
- h : Değme elemanda eleman kalınlığı
- $K_s, K_n$  : Değme elemanda yay katsayıları
- $P_x, P_y$  : Üniform yaylı yük
- $S_{ijk}$  : Gerilme tesir fonksiyonları
- $s, n$  : Elemanın teğetsel ve normal koordinatları
- $s_{ij}$  : Elastik katsayılar.
- $T_{ik}$  : Yüzey gerilmeleri için tesir fonksiyonları
- $t_i$  : Yüzey gerilmeleri
- $u_x, u_y$  : Yer değiştirme bileşenleri

$U_{ij}$	: Yer değiştirme tesir fonksiyonları
$x$	: Alan noktası
$x, y$	: Global koordinatlar
$\bar{x}, \bar{y}$	: Lokal koordinatlar
$\beta$	: Global koordinatlar ile lokal koordinatlar arasındaki açı
$\varepsilon_{xx}, \varepsilon_{yy}, \varepsilon_{xy}$	: Şekil değiştirme bileşenleri
$\phi_x, \phi_y$	: Fiktif değerler
$\theta$	: Kaynak noktası ile alan noktası arasındaki doğrunun açısı
$\sigma_{ij}$	: Gerilme bileşenleri
$\mu$	: Mohr-Coulomb elemanında sürtünme açısı
$\nu_{xy}, \nu_{yz}, \nu_{zx}$	: Poisson oranları
$\nu$	: İzotrop malzemede Poisson oranı
$\xi$	: Kaynak noktası
$\psi_i$	: Birim hacimdeki kütle kuvveti

## **ŞEKİL LİSTESİ**

Şekil 2.1. Enine izotrop malzeme.	10
Şekil 2.2. Sonsuz düzlemde tekil kuvvetler.	16
Şekil 2.3. Yarı-sonsuz düzlemde tekil kuvvetler.	18
Şekil 3.1. Kelvin çözümünün integrali.	27
Şekil 3.2. Bir elemanın uç noktalarındaki açılar.	27
Şekil 3.3. Yer değiştirme süreksizlikleri.	28
Şekil 3.4. Zıt yönlü iki kuvvet etkisindeki eleman.	29
Şekil 3.5. Düşey doğrultuda eksenel şekil değiştirme için gerilme durumu.	30
Şekil 3.6. Kayma şekil değiştirmesi için gerilme durumu.	32
Şekil 3.7. Sonsuz düzlemde kapalı bölge.	35
Şekil 3.8. Sonsuz düzlemde dairesel boşluk.	39
Şekil 3.9. Boşluk sınırında teğetsel ve normal doğrultudaki yer değiştirmeler.	39
Şekil 3.10. x eksenini üzerinde $\sigma_{xx}$ ve $\sigma_{yy}$ gerilmeleri.	39
Şekil 3.11. y eksenini üzerinde $\sigma_{xx}$ ve $\sigma_{yy}$ gerilmeleri.	40
Şekil 3.12. x eksenini üzerinde $u_x$ ve $u_y$ yer değiştirmeler.	40
Şekil 3.13. $\sigma_n=100\text{ MPa}$ iç basınç etkisi altındaki sonsuz düzlemde dairesel boşluk.	40
Şekil 3.14. x eksenini üzerinde $\sigma_{xx}$ gerilmesi.	40
Şekil 3.15. x eksenini üzerinde $u_x$ yer değiştirmesi.	41
Şekil 3.16. Yarı-sonsuz düzlemde dairesel boşluk.	41
Şekil 3.17. x eksenini üzerinde $\sigma_{xx}$ gerilmeleri.	41
Şekil 3.18. Boşluk sınırında yer değiştirmeleri.	42
Şekil 4.1. İki malzemeli bölge.	43

Şekil 4.2. İki malzemeli bölgede sınır koşulları.	44
Şekil 4.3. Değme elemanı.	45
Şekil 4.4. Sonsuz düzlemede boşluk ve fayın şematik gösterimi.	47
Şekil 4.5. Farklı gerilme durumları için Mohr-Coulomb elemanın davranışı	49
Şekil 4.6. İç basınç etkisi altında iki malzemeli bölge.	52
Şekil 4.7. x ekseni üzerinde $\sigma_{xx}$ ve $\sigma_{yy}$ gerilmeleri.	52
Şekil 4.8. x ekseni üzerinde $u_x$ yer değiştirmeleri.	53
Şekil 4.9. Yarı-sonsuz düzlemede, iç basınç etkisi altında iki malzemeli bölge.	53
Şekil 4.10. x ekseni üzerinde $u_x$ ve $u_y$ yer değiştirmeleri.	54
Şekil 4.11. x ekseni üzerinde $\sigma_{xx}$ gerilmeleri.	54
Şekil 4.12. Yarı-sonsuz düzlemede çatlak ve fayın şematik görünümü.	55
Şekil 4.13. Çatlaşım pozitif ve negatif taraflarındaki $u_n$ yer değiştirmeleri.	55
Şekil 4.14. Yüzeydeki $\sigma_{xx}$ gerilmeleri.	56
Şekil 4.15. Fay hattı boyunca $u_s$ ve $u_n$ yer değiştirmeleri.	56
Şekil 4.16. Mohr-Coulomb elemanı ve dairesel boşluk.	57
Şekil 4.17. Mohr-Coulomb elemanında gerilmeler ve $u_y$ yer değiştirmesi.	57
Şekil 5.1. $ \bar{x}  \leq a$ , $\bar{y} = 0$ doğrusu üzerinde sabit gerilmeler.	58
Şekil 5.2. $\bar{x}, \bar{y}$ doğrultusunda yönlenmiş eleman.	62
Şekil 5.3. Normal doğrultudaki yer değiştirme için gerilme durumu	69
Şekil 5.4. Kayma yer değiştirmesi için gerilme durumu.	71
Şekil 5.5. İki boyutlu sonsuz anizotrop ortamda dairesel boşluk.	74
Şekil 5.6. Boşluk sınırında yer değiştirmeler.	74
Şekil 5.7. x ekseni üzerinde $\sigma_{xx}$ ve $\sigma_{yy}$ gerilmeleri.	74

Şekil 5.8. y ekseni üzerinde $\sigma_{xx}$ ve $\sigma_{yy}$ gerilmeleri.	74
Şekil 5.9. Sonsuz düzlemede kare boşluk.	75
Şekil 5.10. x ekseni üzerinde $\sigma_{xx}$ ve $\sigma_{yy}$ gerilmeleri.	75
Şekil 5.11. y ekseni üzerinde $\sigma_{xx}$ ve $\sigma_{yy}$ gerilmeleri.	76
Şekil 5.12. x ve y eksenleri üzerinde yer değiştirmeleri.	76
Şekil 5.13. Yarı-sonsuz düzlemede dairesel boşluk.	77
Şekil 5.14. a) eksenel kuvvet etkisinde, b) hidrostatik basınç altında x ekseni üzerinde $\sigma_{xx}$ gerilmeleri.	77
Şekil 5.15. a) eksenel kuvvet etkisinde, b) hidrostatik basınç altında boşluk sınırlındaki $u_s$ yer değiştirmeleri.	77
Şekil 5.16. a) eksenel kuvvet etkisinde, b) hidrostatik iç basınç altında boşluk sınırlındaki $u_n$ yer değiştirmeleri.	78

## **TABLO LİSTESİ**

Tablo 2.1. Voigt elastik sabitleri.

5



## ÖZET

Bir çok mühendislik probleminin çözümünde, sayısal hesap yöntemlerinden olan sınır eleman yöntemi (BEM) kullanılmaktadır. Sınır eleman yönteminde sınırdaki ayırtlaştırma direkt veya indirekt olarak iki ayrı yaklaşımla yapılmaktadır. Direkt sınır eleman yönteminde sınırdaki bilinmeyenler doğrudan elde edilir. İndirekt yöntemde ise önce sınırda fiktif değerler elde edilir daha sonra bu fiktif değerler yardımıyla diğer bilinmeyenler hesaplanır. Sınırdaki bu fiktif değerler ise seçilen temel bilinmeyenler bakımından iki kısımda incelenebilir. Buna göre eğer sınırdaki bilinmeyenler fiktif gerilmeler ise fiktif değerler olarak fiktif gerilmeler alınır, eğer bilinmeyenler yer değiştirme süreksızlıklar ise fiktif değerler yerine, yer değiştirme süreksızlıklarları alınır.

Bu çalışmada, izotrop ve anizotrop ortamlar için, indirekt sınır eleman yöntemlerinden olan, fiktif gerilme yöntemi (FSM) ve yerdeğiştirme süreksızlığı yöntemi (DDM) kullanılmıştır. Her iki yöntemde de Kelvin ve Melan temel çözümleri kullanılarak, sınır integralleri sabit ve doğrusal olan elemanlar üzerinde kapalı olarak elde edilmiştir. Bu çalışmanın bir özelliğide, Kelvin temel çözümleri kullanılarak, sonsuz ve yarı-sonsuz düzlemlerde izotrop-anizotrop ortamlar için tekil yüklerden dipoller oluşturulmuş ve bu dipoller yardımıyla DDM'deki temel çözümler elde edilmiştir. Ayrıca izotrop ortamdan farklı olarak, anizotrop ortamlarda, elastik sabitler doğrultusundaki eksenlerden herhangi bir açı yapacak şekilde bir eleman gözönüğe alınmış olup, türrevler ve integraller bu doğrultuda alınarak elemanlardaki bilinmeyen yer değiştirme süreksızlıklar için lineer denklem sistemi elde edilmiştir.

Sayısal uygulama olarak sonsuz ve yarı-sonsuz düzlemlerde, çeşitli boşluk ve çatlak problemleri incelenmiştir. Bunlardan, değişik sınır koşulları altında sonsuz ve yarı-sonsuz düzlemlerde, dairesel kesitli bir boşluk için seçilen noktalarda meydana gelen gerilme ve yerdeğiştirme bileşenleri hesaplanmıştır. İkinci örnek olarak, iki malzemeli dairesel kesitli boşluk problemi DDM ile incelenmiştir. DDM için özel uygulama olması açısından, yarı sonsuz düzlemede, yüzeyden itibaren derinlikle doğru orantılı değişen yükleme altında çatlak ve fay problemi ve ayrıca Mohr-Coulomb hipotezi kullanılarak, sonsuz düzlemede dairesel boşluk ve fay etkileşim problemi çözülmüştür. Son olarak anizotrop malzeme için, eksenel yük etkisi altında sonsuz düzlemede dairesel ve kare kesitli boşluk ile hidrostatik iç basınç ve eksenel yük etkisi altında yarı sonsuz düzlemede dairesel boşluk problemleri çözülmüştür.

Geliştirilen yöntemle çözülmüş olan tüm örnek problemlerde anizotropinin sonuçları önemli ölçüde etkilediği ve gözönünde tutulması gereklili bir malzeme özelliği olduğu sonucuna varılmıştır.

## SUMMARY

### DISPLACEMENT DISCONTINUITY METHOD IN ANISOTROPIC BODIES

Realistic problems of engineering mechanics, usually formulated in terms of a set of governing differential equations together with appropriate boundary and initial conditions, are characterized by great complexities in geometry and material constitution. As a result of that, analytical solutions of these problem are practically impossible to obtain and resort has to be made to numerical methods for the determination of an approximate solution. Numerical solutions of very complicated problems are feasible today due to the availability of powerful digital computers. A numerical method is of the differential or the integral type depending on whether the numerical analysis precedes or follows the integration of the governing equations.

The general problem two-dimensional elastostatics is that of determining the stresses,  $\sigma_{ij}$  ( $i,j = 1,2$ ), and displacements,  $u_i$ , in a body of known shape subject to prescribed boundary conditions (traction, displacements). In addition to these may be body forces which act throughout the interior of the body. The two-dimensional elastostatics problems considered here are those of plane strain and plane stress. The conditions to be satisfied by any solution for a particular problem geometry and loading condition are the differential equations of equilibrium, the constitutive equations, the equations of compatibility and the boundary conditions for the problem. The treatment of problems two-dimensional elastostatics simplifies somewhat when the body forces do not appear in differential equations. Since the equations for continuous, homogeneous form by finding one of the infinitely many particular integrals.

The boundary element method has been used widely in geotechnical analysis and has performed well for elastic analysis of excavations in semi-infinite or infinite bodies. In this method, the problem is solved in terms of the conditions imposed at the surfaces of openings the problem domain. However, there are situations in geotechnical engineering for which it is difficult to use the boundary element method, especially those practical problems involving sequential excavation or construction, inhomogeneous materials, material non-linearities, and the presence of joints.

Natural rock masses are usually composed of blocks of intact material separated by joints or discontinuities. The behavior of these rock masses is complex as it is governed not only by the properties of the discontinuities. In general, the overall behavior of a jointed rock mass will be anisotropic.

Most boundary element analyses carried out in geotechnical engineering assume that the rock mass can be modeled as an isotropic elastic material. There have been a few reported attempts to account for the structure of the rock mass in analyses, and examples of boundary element treatments of rock with distinct joints have been presented by Hocking and Brady et al however, when the spacing between the joint is small in comparison with the length scale of interest (such as tunnel width or foundation size), a simulation incorporating the jointing explicitly is very difficult and costly to implement. The problem of dealing with the structure of the rock mass explicitly can be avoided in cases where the jointing is closely spaced and regular, because it is convenient in such problems to idealize the rock mass and anisotropic elastic medium ; that is, the effects of the discontinuities is implicit in the choice of the stress-strain model adopted for the equivalent rock mass continuum. Some of the boundary element treatments of anisotropic materials relevant to jointed rock masses are reviewed briefly in this work.

Increasing structural use is being made of materials with anisotropic elastic material properties. In recent years, various kinds of composite materials have been developed and used for structural components. The major reasons for their success are to be found in the fact that they can fulfill all the requirements for a given application. Orginally, structural composites were developed for the aerospace industry as they offered attractive properties of stiffness and strength compared to their weight. Further advantages such as high corrosion resistance and design flexibilty made composite materials the ideal replacement to the aluminum alloys previously used.

Rizzo and Shippy and Crouch and Starfield have assumed that in some cases rock masses may be represented as transversely anisotropic materials, and they have implemented into boundary element formulations the fundamental solutions due to Green for a point force in an infinite sheet of transversely anisotropic elastic material. Brebbia has also suggested an iterative perturbation boundary element analysis for general anisotropic materials, and Dumir and Mehté have analyzed orthotropic half-plane problems using boundary element techniques using appropriate Airy stress functions. A boundary element formulation for general anisotropic materials has also been presented by Carter and Alehossein, using the fundamental solutions derived by Lekhnitskii.

The most widely known and used numerical methods of solution are the Finite Difference Method (FDM) and the Finite Element Method (FEM), both of the differential type. The FDM replaces the differential equations by algebraic ones, valid at a set of nodes within the domain, through the approximation of derivatives by finite differences, while the FEM replaces the domain itself by a set of finite sub domains or elements connected through their nodes and approximately reproducing the behavior of the sub domain that represent. The FEM presents some very distinct advantages over the FDM such as better conformity to the domain geometry, much easier handling of the boundary conditions and easier construction of variable-size meshes. These advantages have made the FEM the most popular numerical method among scientists and engineers. Even the FEM, however, presents some disadvantages such as rather high costs for the preparation and input of data and time-consuming solutions of three-dimensional problems, especially those with distant boundaries.

The Boundary Element Method (BEM), which is based on an integral formulation of the problem, has emerged during the last 15 years as a new powerful computational tool. This method usually requires only a surface discretization and not a discretization of both the interior and the surfaces of the domain of interest as it is the case with “domain-type” techniques, such as the FDM and the FEM. This fact makes the BEM more efficient than the FEM for quite a number of classes of problems. For some other problems the BEM might be equally good or inferior to the FEM, while in certain cases a combination of the two methods usually creates the optimum numerical scheme. The BEM has been successfully used to a great variety of problems in engineering science, such as potential theory, elastostatics, elastodynamics, elastoplasticity, viscoelasticity, viscoplasticity, fracture analysis, fluid mechanics, acoustics, heat conduction, electromagnetism, soil-structure interaction and fluid-structure interaction.

There are basically two kinds of BEMs, the indirect and the direct ones. In the indirect approach the discretized integral equations are first solved for the density of the singular solutions over the boundary surface and then the remaining boundary quantities are computed in terms of these densities which have no physical significance. In the direct approach the discretized integral equations are formulated with the help of certain fundamental integral theorems and connect directly the unknown with the known boundary quantities. Even though it has been shown by Brebbia and Butterfield in 1978 that the indirect and direct BEMs are formally equivalent, more emphasis is usually given to direct BEMs because they are more appealing to scientists and engineers. In addition, direct BEMs appear to be, at least so far, more easily amenable to improvements of the FEM type for the development of advanced BEMs than indirect ones. The term semi-direct BEM has also been used for some time in the past to indicate the treatment of some potential and elastostatic problems by a direct formulation with unknowns functions analogous to stream or stress function from which the physical quantities of the problem can be obtained by differentiation after the solution of the integral equations. This BEM category, however, is very limited and of a special character to be an independent one and for this it is usually considered as part of either the direct or, more frequently, the indirect BEM.

In the direct boundary element formulation based on the point-force fundamental solution, considerable difficulties arise since the displacement discontinuities across the fracture surfaces are not explicitly accounted for. One approach to tackle this problem is partition the medium (which must be finite) into sub-regions. However, this approach becomes inefficient when there are two or more cracks, or even for a single crack which propagates out-of-plane in mixed mode loading.

In the indirect boundary element (or fictitious) formulation, difficulties similar to that of the direct boundary element method arise because continuous displacements are implicitly assumed.

The indirect boundary element method (IBEM) makes use of “fictitious forces” distributed along the boundary of the region of interest. By means of the principle of superposition, an integral equation for these fictitious forces is derived. By representing the boundary by a set of elements and assuming some variation of fictitious forces over each element, a system of simultaneous equations approximating to the integral equation is obtained. Once these fictitious forces have been obtained by solving the equations, the stresses and displacements anywhere within the region and on the boundary can be calculated by integration. For the sake of simplicity, represent a two-dimensional continuous, homogeneous, isotropic, linear and elastic region  $V'$  bounded by the surface  $S'$ , acted upon by a surface traction  $t_i'(x)$ . We now want to find the stresses and displacements in the region  $V'$  and on the boundary  $S'$ . However, it often is easier to find the solution to the relevant partial differential equations in an infinite region, because we do have the Kelvin solution which gives the displacements at the point  $x$  (referred to as the field point),  $U_i(x)$ , due to a concentrated unit force,  $F_i(\xi)$ , acting at the point  $\xi$  (referred to as the load point) in an elastic body of infinite extent.

The displacement discontinuity method (DDM), as a means of solving boundary value problems in elasticity, has become a popular numerical method in the field of geomechanics. The most significant characteristic is its ability of handling rock discontinuities and fractures. The successful application of the DDM, however, relies on the derivation of the fundamental solution for a displacement discontinuity singularity, or mathematically a point dislocation in the infinite space.

The displacement discontinuity method is particularly well suited to model fractures which have relative displacements across their surface (hence a displacement discontinuity results). In addition, it can also be used to model an ordinary boundary of a 2 or 3 dimensional body. However, as will be shown later strong stress singularities at the ends of the displacement elements make it undesirable to model boundaries with finite and smoothly distributed applied loads.

The formulation of the displacement discontinuity method is identical to that of the fictitious stress method except that displacement discontinuities (or “fictitious cracks”) are used instead of fictitious stresses. (Naturally, the fundamental solution in also be different.) Hybridizing these two methods so that the advantages of both can be utilized seems to be very promising. In addition, the boundary element methods have further advantages over the finite element method when some special types of boundaries are present. For example, for a semi-infinite medium with a circular cavity.

In this study investigated the indirect boundary element solution for isotropic and anisotropic problems. The complete fundamental solutions due to unit loads within the infinite and semi-infinite plane are given. Expressions for stresses and displacements at internal points are also given. This formulation is applied and compared to some classical problems. This solution procedure is highly accurate and computationally more efficient than the boundary element formulation using the Kelvin fundamental solution for orthotropic problems. Throughout this work the so-called Cartesian tensor notation is used. This notation is not only a time-saver in

writing long expressions, but is also extremely useful in derivation and in the proof of theorems. Such notation makes use of subscript indices (1,2,3) to represent (x,y,z).

The general problems two dimensional elastostatics are explained in chapter 2. This chapter is partly devoted to introducing some basic concepts of the theory of elasticity needed for developing boundary element models. The chapter starts by reviewing the small starin theory of elasticity. The complete Kelvin fundamental solutions are given in this chapter. The indirect boundary element method and numerical procedure are given in chapter 3. The fundamental solutions for a two-dimensional displacement discontinuity are also given in this chapter. The DDM is used to model joints and faults fillet with weak material in chapter 4. In this case the displacement discontinuity element surfaces are connected by springs which have shear stiffness  $K_s$  and normal stiffness  $K_n$ . The other special application is to use DDM for inhomogeneous bodies in this chapter. In the last chapter anisotropic elasticity problems are investigated in the indirect boundary element method. Kelvin fundamental solutions for any direction are used and singular solutions found in the DDM.



## BÖLÜM 1. GİRİŞ

İki veya üç boyutlu elastostatikte genel problem, herhangi bir cismde, bilinen sınır koşulları altında cismdeki gerilmeler ve yer değiştirmelerin hesabıdır. Bu büyülüklerin hesaplanması için, cismin diferansiyel denge denkleminin, sınır koşullarını ve uygunluk koşullarını sağlayacak şekilde çözülmesiyle mümkündür. Bazı durumlarda analitik çözümler bulmak oldukça zordur. Buna karşın sayısal hesap yöntemleri gelişmiştir. Bunlardan bazıları ise, Sonlu farklar yöntemi, Sonlu elemanlar yöntemi ve Sınır elemanlar yöntemi olarak sıralanabilir. Son yıllarda ise sınır eleman yönteminin kullanılmasının yaygınlaşlığı gözlenmiştir. Pratikte bir çok mühendislik problemlerinin çözümünde, sınır eleman yöntemi kullanılmaktadır [1-20]. Bunlardan bazıları, zemin mühendisliği, kaya mekanığı, kırılma mekanığı, akışkanlar mekanığı v.s. olarak sayılabilir.

Bütün bu yöntemlerde yaklaşık yöntemlerdir. Düzenli bölgelerde analitik (kapalı) çözümler bulmak mümkün değildir. Eğer bölge düzensiz ise sayısal çözüm yapmak daha uygun olabilir. Sonlu farklar ve sonlu elemanlar yöntemlerinde, ayriklaştırma bölgelerde yapılmakta, sınır eleman yönteminde ise ayriklaştırma bölgenin sınırlarında yapılmaktadır. Bu nedenle sınır elemanlar yönteminde, problemin çözüm bölgesi bir mertebe azalır, yani üç boyutlu problemler için bölgenin yüzeyinde, iki boyutlu problemler için ise bölgenin sınırdaki kapalı eğrilerde ayriklaştırma yapılarak problemin çözümü elde edilmektedir.

Sınır eleman denklemlerinin elde edilmesi açısından genelde iki farklı sınır eleman tekniği kullanılmaktadır [16]. Bunlardan birincisi direkt sınır eleman yöntemi, bu yöntem de Betti karşılık teoremi kullanılarak sınırdaki gerilmeler ve yer değiştirmeler direkt olarak hesaplanır, ikincisi ise indirekt sınır eleman yöntemidir.

İndirekt yöntemde ise verilen sınır koşulları altında önce sınırda fiktif değerler hesaplanır, daha sonra bu fiktif değerler kullanılarak sınırda ve bölgedeki bilinmeyenler hesaplanır. Bu yöntem de kendi içinde, fiktif gerilme yöntemi (FSM) ve yer değiştirme süreksizliği yöntemi (DDM) olmak üzere iki kısımda incelenebilir [21-40]. Burada fiktif gerilme yönteminde temel bilinmeyenler olarak, fiktif

gerilmeler iken yer değiştirme süreksizliği yönteminde temel bilinmeyenler yer değiştirme süreksizlikleridir. Her iki yöntemdede Kelvin temel çözümleri kullanılarak sonsuz veya yarı-onsuz düzlemdeki sınır eleman denklemleri elde edilebilmektedir.

Çatlak problemleri DDM ile daha kolay modellenebildiği için, son yıllarda bu model üzerine çalışmaların arttığı gözlenmiştir [41-47]. Buna ilaveten boşluk ve çatlaklı problemlerde, FSM ile boşluğun sınırını, DDM ile de çatlağı modelleyerek iki yöntemin beraber kullanılması da mümkündür. Yer değiştirme süreksizliği denklemlerinin elde edilmesinde Crouch [1]'de Papkovitch fonksiyonları kullanılmış ve çeşitli sınır koşullarını sağlayacak şekilde harmonik fonksiyonlar seçilmiştir. Brady [48,49] izotrop ortamda dipol gerilmelerinden dolayı oluşan tekil çözümleri elde edilmesi için, temel çözümlerin tekil yük doğrultusundaki türevleri kullanılmıştır.

Anizotrop ortamda elastisite denklemleri genel olarak Green ve Zerna [50] ve Lekhnitskii [51] tarafından verilmiş olup bir çok araştırcı tarafından sınır elemanlar ve sonlu elemanlar yöntemleriyle incelenmiştir [52-73]. Bunlardan Lekhnitskii tarafından verilen temel çözümler kullanılarak direkt sınır eleman yöntemiyle ve sonlu elemanlar yöntemiyle Carter ve Xiao [60,61] tarafından incelenmiştir. Crouch ve Starfield tarafından anizotrop ortam ve sonsuz düzlemden fiktif gerilme yöntemiyle incelenmiştir. Ayrıca Crouch [23] tarafından sonsuz ve yarı-onsuz düzlemden elastisite katsayılarının eleman doğrultusuna paralel olması durumunda yer değiştirme süreksizliği yöntemiyle incelenmiştir. Schclar [73] üç boyutlu anizotrop ortam için, izotrop ve anizotrop temel çözümler kullanarak direkt sınır eleman denklemleri elde etmişlerdir.

Bu çalışmanın amacı yer değiştirme süreksizliği yöntemi izotrop ve anizotrop ortamlarda kaya mekanığı, kırılma mekanığı, tünel fay etkileşimi gibi çeşitli mühendislik problemlerine uygulamaktır [74-81]. Ayrıca bu çalışmada, diğer araştırcılar tarafından elde edilen DDM denklemlerinin elde edilmesinde farklı yol izlenmiştir. Buna göre yer değiştirme süreksizlikleri, Brady [48,49] de verilen yöntem kullanılarak izotrop ve anizotrop ortamlar ve ayrıca sonsuz ve yarı sonsuz düzlemlerde yer değiştirme süreksizliği ile ilgili tekil çözümler elde edilmiş olup, bir doğrusal eleman üzerinde integraller alınarak sınır eleman denklemleri elde edilmiştir. Tüm integraller kapalı olarak alınmış olup bu nedenle de bilgisayar programlarında tek incelikle çalışmak yeterli olmuştur.

Bölüm 2. de elastisite teorisinden izotrop ve anizotrop ortamlar için iki boyutlu elastostatik problemlerde temel denklemler incelenmiştir. Anizotrop ortamda yer

değiştirme potansiyellerinin elde edilmesi incelenmiş ve buna bağlı olarak, sonsuz ve yarı-onsuz düzlemlerde elastostatik problemler için temel çözümler verilmiştir.

Bölüm 3. de izotrop ortamda indirekt sınır eleman yöntemlerinden Fiktif gerilme yöntemi (FSM) ve Yer değiştirme süreksizlik yöntemleri (DDM) genel olarak incelenmiş olup temel çözümler kullanılarak sınır eleman denklemleri elde edilmiştir. DDM denklemlerinin elde edilmesinde temel çözümlerin tekil yük doğrultusundaki türevleri alınarak dipol gerilmeleri elde edilmiş ve bu dipol gerilmeler kullanılarak yer değiştirme süreksizliğinden oluşan tekil çözümler elde edilmiştir. Elde edilen bu tekil çözümlerin sonlu bir doğru üzerindeki integrasyonu alınıp süperpozisyonu yapılarak DDM'de lineer denklem takımı elde edilmiştir. Bu bölüme ait sayısal örnek olarak, sonsuz ve yarı-onsuz düzlemlerde dairesel boşluk problemleri incelenerek analitik çözümler ile FSM ve DDM sonuçları karşılaştırılmıştır.

Bölüm 3. de elde edilen DDM çözümlerinin uygulama alanını genişletmek amacıyla çeşitli özel uygulamalar Bölüm 4. de incelenmiştir. Buna göre DDM kullanılarak iki malzemeli bölge, değişim elemanı ve Mohr-Coulomb elemanı problemleri incelenmiş olup her birine sayısal uygulama teşkil etmesi açısından boşluk ve fay etkileşim örnekleri çözülmüştür [82-88].

Bölüm 5.de anizotrop bir ortamda indirekt sınır eleman yöntemi incelenmiştir. Burada FSM denklemler sonsuz bölge için [1]'dan alınmış olup DDM denklemleri sonsuz ve yarı-onsuz ortamlar için bu çalışmada elde edilmiştir. Anizotrop ortamda elemanlar her zaman elastik katsayılarla paralel olmadığından, elemanın elastik sabitler doğrultusundaki eksenlerden bir  $\beta$  açısı yapacak şekildeki bir eksen takımında gözönüne alınmış olup, türevler ve integraller bu doğrultuda alınmıştır. Bölüm 3. de ki sayısal hesap yöntemi izlenerek lineer denklem takımı oluşturulmuştur. Sayısal örnek olarak sonsuz ve yarı-onsuz düzlemlerde dairesel ve kare boşluk örnekleri gözönüne alınarak FSM ve DDM sonuçları karşılaştırılmıştır.

## BÖLÜM 2. TEMEL DENKLEMLER

### 2.1. GENELLEŞTİRİLMİŞ HOOKE KANUNLARI

Elastik bir cisimde şekil değiştirme ve gerilme bileşenleri arasındaki ilişkiyi elde etmek için cismin elastik özelliklerini ifade eden bir model seçmek gereklidir. Bu bağlamda gerilme bileşenlerinin, şekil değiştirme bileşenlerinin lineer fonksiyonları olarak ifade etmek mümkündür. Başka bir deyişle sürekli cismin genelleştirilmiş Hooke yasasını gerçeklediği varsayılmaktadır. Hiç bir elastik simetrisi olmayan homogen anizotrop bir cisimde kartezyen koordinarlardaki genelleştirilmiş Hooke yasaları

$$\sigma_{ij} = C_{ijkl} \epsilon_{kl} \quad i, j, k, l = 1, 2, 3 \quad (2.1)$$

birimde yazılabilir. Burada  $C_{ijkl}$ , dördüncü dereceden elastik sabitler tansörü olup malzemenin fizik ve mekanik özelliklerine bağlıdır. Bu sabitlerin sayısı en genel halde  $3^4=81$  adet sabitten oluşmaktadır. Eğer  $C_{ijkl}$  cisimde noktadan noktaya değişken ise bu cisim non-homojen, sabit ise homojen olarak adlandırılır. Her iki durumda da cisim lineer elastiktir. Gerilme ve şekil değiştirme tansörlerinin simetriklilik koşulları  $\sigma_{ij}=\sigma_{ji}$  ve  $\epsilon_{ij}=\epsilon_{ji}$  uygulanırsa  $C_{ijkl}$  sabitleri 36 adete düşer. Şekil değiştirme enerjisi yoğunluğunun, birim şekil değiştirme bileşenlerinin homojen ve ikinci mertebeden bir fonksiyon olduğu kabül edilirse  $C_{ijkl} = C_{klji}$  simetriğinden sabitlerin sayısı 21'e düşer. Bu 21 adet sabitle gerilme-şekil değiştirme arasındaki bağıntılara *Genelleştirilmiş Hooke Yasaları* adı verilir ve 4 adet indisli olan bu sabitleri Tablo 2.1. deki gibi iki indisli Voigt elastik sabitleri olarak gösterilebilir

Tablo 2.1. Voigt elastik sabitleri

$ij$	$kl$					
	11	22	33	23	31	12
11	$c_{11}$	$c_{12}$	$c_{13}$	$c_{14}$	$c_{15}$	$c_{16}$
22	$c_{12}$	$c_{22}$	$c_{23}$	$c_{24}$	$c_{25}$	$c_{26}$
33	$c_{13}$	$c_{23}$	$c_{33}$	$c_{34}$	$c_{35}$	$c_{36}$
23	$c_{14}$	$c_{24}$	$c_{34}$	$c_{44}$	$c_{45}$	$c_{46}$
31	$c_{15}$	$c_{25}$	$c_{35}$	$c_{45}$	$c_{55}$	$c_{56}$
12	$c_{16}$	$c_{26}$	$c_{36}$	$c_{46}$	$c_{56}$	$c_{66}$

Genelleştirilmiş Hooke Yasaları matris formunda ise

$$\begin{pmatrix} \sigma_{xx} \\ \sigma_{yy} \\ \sigma_{zz} \\ \sigma_{xz} \\ \sigma_{yz} \\ \sigma_{xy} \end{pmatrix} = \begin{bmatrix} c_{11} & c_{12} & c_{13} & c_{14} & c_{15} & c_{16} \\ c_{12} & c_{22} & c_{23} & c_{24} & c_{25} & c_{26} \\ c_{13} & c_{23} & c_{33} & c_{34} & c_{35} & c_{36} \\ c_{14} & c_{24} & c_{34} & c_{44} & c_{45} & c_{46} \\ c_{15} & c_{25} & c_{35} & c_{45} & c_{55} & c_{56} \\ c_{16} & c_{26} & c_{36} & c_{46} & c_{56} & c_{66} \end{bmatrix} \begin{pmatrix} \epsilon_{xx} \\ \epsilon_{yy} \\ \epsilon_{zz} \\ \epsilon_{xz} \\ \epsilon_{yz} \\ \epsilon_{xy} \end{pmatrix} \quad (2.2)$$

şeklinde yazılabilir. Mühendislikte kullanılan bir çok malzeme belirli yapısal simetri özelliklerine sahiptir. Bu şekilde elde edilen anizotropinin en basit iki biçimi ortotropi ve enine izotropi olarak bilinir. Bir düzleme göre elastik simetriye sahip cisimlerde elastisite matrisinin bağımsız sabitlerinin sayısı 13'e indirgenir. Üç ortogonal düzleme göre elastik simetriye sahip cisimlerde bağımsız elastik sabitlerin sayısı 9 adettir. Enine izotrop malzemede iki doğrultuda elastisite modülleri eşit, üçüncü doğrultuda farklıdır. Bu durumda 5 elastik sabit vardır. İzotrop malzemede ise malzeme sabitleri doğrultudan bağımsız olduğundan, üç yönde de elastik sabitleri eşit olup 2 malzeme sabiti vardır.

(2.1) eşitliğindeki genelleştirilmiş Hooke yasası  $c_{ij}$  matrisinin tersi alınarak şekil değiştirmeler gerilmeler cinsinden ortotrop malzeme de 9 adet sabite bağlı olarak matris formunda

$$\begin{Bmatrix} \varepsilon_{xx} \\ \varepsilon_{yy} \\ \varepsilon_{zz} \\ \varepsilon_{xz} \\ \varepsilon_{yz} \\ \varepsilon_{xy} \end{Bmatrix} = \begin{bmatrix} S_{11} & S_{12} & S_{13} & 0 & 0 & 0 \\ S_{12} & S_{22} & S_{23} & 0 & 0 & 0 \\ S_{13} & S_{23} & S_{33} & 0 & 0 & 0 \\ 0 & 0 & 0 & S_{44} & 0 & 0 \\ 0 & 0 & 0 & 0 & S_{55} & 0 \\ 0 & 0 & 0 & 0 & 0 & S_{66} \end{bmatrix} \begin{Bmatrix} \sigma_{xx} \\ \sigma_{yy} \\ \sigma_{zz} \\ \sigma_{xz} \\ \sigma_{yz} \\ \sigma_{xy} \end{Bmatrix} \quad (2.3)$$

şeklinde yazılabilir. Bu denklemlerdeki elastik sabitler  $E_{xx}$ ,  $E_{yy}$ ,  $E_{zz}$  (Young modülleri),  $G_{xy}$ ,  $G_{xz}$ ,  $G_{yz}$  (kayma modülleri) ve  $\nu_{xy}$ ,  $\nu_{xz}$ ,  $\nu_{yz}$ ,  $\nu_{yx}$ ,  $\nu_{zx}$ , ve  $\nu_{zy}$  (Poisson Oranları) olarak bilinen mühendislik sabitleri cinsinden [1].

$$\begin{aligned} S_{11} &= \frac{1}{E_{xx}} & S_{12} &= -\frac{\nu_{xy}}{E_{xx}} & S_{13} &= -\frac{\nu_{xz}}{E_{xx}} \\ S_{22} &= \frac{1}{E_{yy}} & S_{23} &= -\frac{\nu_{yz}}{E_{yy}} & S_{33} &= \frac{1}{E_{zz}} \\ S_{44} &= \frac{1}{G_{yz}} & S_{55} &= \frac{1}{G_{xz}} & S_{66} &= \frac{1}{G_{xy}} \end{aligned} \quad (2.4)$$

olarak elde edilirler. Genel olarak Poisson oranları  $\nu_{ij} \neq \nu_{ji}$  olup buna karşın  $\nu_{ij}/E_{ii} = \nu_{ji}/E_{jj}$ , ( $i \neq j$ ) bağlantısı geçerlidir.

## 2.2. DÜZLEM GERİLME VE DÜZLEM ŞEKİL DEĞİŞTİRME HALİ

Bir çok mühendislik probleminin çözümünde, problemin fiziksel ve geometrik özelliklerinden dolayı bazı kabüller yapılması gereklidir. Bu kabüllerden *Düzlem Gerilme Durumu* ve *Düzlem Şekil Değiştirme Durumu* olarak iki farklı durum gözönüne alınarak Hooke yasaları bakımından gerilme-şekil değiştirme arasındaki ilişkiler anizotrop cisim için aşağıda kısaca açıklanmıştır.

### 2.2.1. Düzlem Gerilme Hali

Genellikle düzlem gerilme durumu, iki boyutlu düzlem problemlerde (levha problemi gibi) ortaya çıkar. Bu nedenle  $z$  ekseni doğrultusundak  $\sigma_{xz}$ ,  $\sigma_{yz}$ ,  $\sigma_{zz}$  gerilme bileşenleri sıfırdır. Bu durumda diferansiyel denge denklemleri,

$$\frac{\partial \sigma_{xx}}{\partial x} + \frac{\partial \sigma_{yx}}{\partial y} + \psi_x = 0 \quad (2.5)$$

$$\frac{\partial \sigma_{xy}}{\partial x} + \frac{\partial \sigma_{yy}}{\partial y} + \psi_y = 0$$

şeklindedir. Genelleştirilmiş Hooke kanunlarındaki (2.2) eşitlikleri ise düzlem gerilme hali için

$$\begin{aligned} \varepsilon_{xx} &= s_{11}\sigma_{xx} + s_{12}\sigma_{yy} \\ \varepsilon_{yy} &= s_{12}\sigma_{xx} + s_{22}\sigma_{yy} \\ \varepsilon_{zz} &= s_{13}\sigma_{xx} + s_{23}\sigma_{yy} \quad \varepsilon_{xy} = \frac{1}{2}s_{66}\sigma_{xy} \end{aligned} \quad (2.6)$$

şeklinde yazılabilir. Gerilme bileşenleri ise

$$\begin{aligned} \sigma_{xx} &= c_{11}\varepsilon_{xx} + c_{12}\varepsilon_{yy} \\ \sigma_{yy} &= c_{12}\varepsilon_{xx} + c_{22}\varepsilon_{yy} \quad \sigma_{xy} = 2c_{66}\varepsilon_{xy} \\ \sigma_{zz} &= c_{13}\varepsilon_{xx} + c_{23}\varepsilon_{yy} \end{aligned} \quad (2.7)$$

şeklinde dört adet elastik sabite bağlı olarak elde edilirler. Bu elastik sabitler mühendislik sabitlerine bağlı olan  $s_{ij}$  elemanları cinsinden

$$c_{11} = s_{22} / (s_{11}s_{22} - s_{12}^2)$$

$$c_{12} = -s_{12} / (s_{11}s_{22} - s_{12}^2) \quad (2.8)$$

$$c_{22} = s_{11} / (s_{11}s_{22} - s_{12}^2) \quad c_{66} = 1 / s_{66}$$

olarak elde edilirler.

### 2.2.2. Düzlem Şekil Değiştirme Hali

Düzlem şekil değiştirme halinde yine düzlem gerilme halindekine benzer şekilde ( $x, y$ ) düzlemindeki şekil değiştirmeler sıfırdan farklı ve  $z$  ekseni üzerinde  $u_z$  yer değiştirme bileşeni sıfır olduğundan  $\varepsilon_{xz}, \varepsilon_{yz}, \varepsilon_{zz}$  şekil değiştirme bileşenleri sıfırdır. Bu durumda (2.2) Genelleştirilmiş Hooke bağıntılarından  $\varepsilon_{zz} = 0$  kullanılarak  $\sigma_{zz}$  gerilmesi

$$\sigma_{zz} = -(s_{13}\sigma_{xx} + s_{23}\sigma_{yy}) / s_{33} \quad (2.9)$$

bağıntısıyla  $\sigma_{xx}$  ve  $\sigma_{yy}$  gerilmeleri cinsinden hesaplanabilir. Şekil değiştirmeler ise (2.3) ve (2.9) kullanılarak tekrar

$$\varepsilon_{xx} = (s_{11} - s_{13}^2 / s_{33})\sigma_{xx} + (s_{12} - s_{13}s_{23} / s_{33})\sigma_{yy}$$

$$\varepsilon_{yy} = (s_{12} - s_{13}s_{23} / s_{33})\sigma_{xx} + (s_{22} - s_{23}^2 / s_{33})\sigma_{yy} \quad (2.10)$$

$$\varepsilon_{xy} = \frac{1}{2}s_{66}\sigma_{xy}$$

şeklinde yazılabilir. Bu eşitlikler kullanılarak gerilme bileşenleri şekil değiştirme bileşenlerine bağlı olarak

$$\begin{aligned}\sigma_{xx} &= c_{11}\epsilon_{xx} + c_{12}\epsilon_{yy} \\ \sigma_{yy} &= c_{12}\epsilon_{xx} + c_{22}\epsilon_{yy} \quad \sigma_{xy} = 2c_{66}\epsilon_{xy}\end{aligned}\tag{2.11}$$

eşitlikleriyle hesaplanabilir. Burada  $c_{ij}$  değerleri altı adet mühendislik sabitlerine bağlı olarak

$$\begin{aligned}c_{11} &= (s_{22} - s_{23}^2 / s_{33}) / (s_0 s_{33}) \\ c_{12} &= -(s_{12} - s_{13}s_{23} / s_{33}) / (s_0 s_{33})\end{aligned}\tag{2.12}$$

$$\begin{aligned}c_{22} &= (s_{11} - s_{13}^2 / s_{33}) / (s_0 s_{33}) \quad c_{66} = 1 / s_{66} \\ s_0^2 &= s_{11}s_{12} - s_{12}^2 + (2s_{12}s_{13}s_{23} - s_{11}s_{23}^2 - s_{22}s_{13}^2) / s_{33}\end{aligned}\tag{2.13}$$

bağıntılarıyla hesaplanabilirler.

### 2.3. ENİNE İZOTROP VE İZOTROP MALZEME

Ortotrop malzemenin özel bir hali olarak, simetri düzlemlerinden herhangi ikisinde aynı malzeme özelliklerinin geçerli olması halinde enine izotrop malzeme söz konusu edilir ve bu durumda malzeme sabitleri ikisi Young Modülü ikisi Poisson Oranı ve biri de kayma modülü olmak üzere 5'e indirgenir. Bu durumda  $(x,z)$  düzlemi aynı malzeme özelliklerine sahip oldukları varsayılsa Şekil 2.1. de görüldüğü gibi, genelleştirilmiş Hooke yasası

$$\begin{Bmatrix} \varepsilon_{xx} \\ \varepsilon_{yy} \\ \varepsilon_{zz} \\ \varepsilon_{xz} \\ \varepsilon_{yz} \\ \varepsilon_{xy} \end{Bmatrix} = \begin{bmatrix} s_{11} & s_{12} & s_{13} & 0 & 0 & 0 \\ s_{12} & s_{22} & s_{12} & 0 & 0 & 0 \\ s_{13} & s_{12} & s_{11} & 0 & 0 & 0 \\ 0 & 0 & 0 & 2(s_{11} - s_{13}) & 0 & 0 \\ 0 & 0 & 0 & 0 & 2(s_{11} - s_{13}) & 0 \\ 0 & 0 & 0 & 0 & 0 & s_{66} \end{bmatrix} \begin{Bmatrix} \sigma_{xx} \\ \sigma_{yy} \\ \sigma_{zz} \\ \sigma_{xz} \\ \sigma_{yz} \\ \sigma_{xy} \end{Bmatrix} \quad (2.14)$$

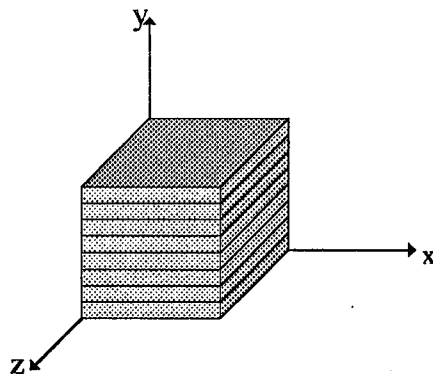
olarak yazılabilir. Anılan 5 sabit arasındaki ilişkiler, mühendislik sabitleri cinsinden

$$E_{xx} = E_{zz} \quad \nu_{yx} = \nu_{yz} \quad (2.15)$$

şeklinde göz önüne alınarak,  $s_{ij}$  matrisinin elemanları

$$\begin{aligned} s_{11} &= \frac{1}{E_{xx}} & s_{22} &= \frac{1}{E_{yy}} & s_{33} &= \frac{1}{E_{xx}} \\ s_{12} &= -\frac{\nu_{yx}}{E_{xx}} & s_{13} &= -\frac{\nu_{zx}}{E_{xx}} & s_{23} &= -\frac{\nu_{yz}}{E_{xx}} \\ s_{66} &= \frac{1}{G_{xy}} \end{aligned} \quad (2.16)$$

olarak elde edilirler.



Şekil 2.1. Enine izotrop malzeme

Düzlem şekil değiştirme halinde her üç doğrultuda malzeme sabitleri eşit olarak gözönüne alınırsa ( $E_{xx}=E_{yy}=E_{zz}=E$ ,  $\nu_{xy}=\nu_{xz}=\nu_{yz}=\nu_{yx}=\nu_{zx}=\nu_{zy}=\nu$  ve  $G_{xy}=G_{xz}=G_{yz}=G$ ) (2.14) genelleştirilmiş Hooke bağıntılardaki  $s_{ij}$  matrisinin elemanları izotrop malzeme için

$$s_{11} = s_{22} = s_{33} = 1/E$$

$$s_{12} = s_{13} = s_{23} = -\nu/E \quad (2.17)$$

$$s_{44} = s_{55} = s_{66} = 1/G = 2/(1+\nu)/E$$

şeklinde iki malzeme sabitine bağlı olarak elde edilirler.

## 2.4. YER DEĞİŞTİRME POTANSİYELLERİ

Üç boyutlu sürekli ve elastik bir ortamda iki tür dış kuvvet vardır, bunlardan birincisi; cismin yüzeyine gelen dış kuvvetler iken, ikincisi ise; yer çekim kuvvetleri, manyetik kuvvetler veya hareket halindeki cismin atalet kuvvetleri gibi cismin içinde yayılı kuvvetler olup kütle kuvvetleri adını alırlar. Bu durumda göz önüne alınan, kütle ve yüzey kuvvetleri etkisindeki prizmatik diferansiyel bir elemanda denge denklemleri

$$\sigma_{ij,j} + \psi_i = 0 \quad (2.18)$$

şeklinde yazılır. Burada  $\sigma_{ij}$ , gerilme tansörü bileşenlerini,  $\psi$ , ise birim hacimdeki kütle kuvvetlerini gösterir. (2.18) denkelemindeki virgül, türev anlamında olup  $\sigma_{ij,j} = \partial\sigma_{ij}/\partial x_i$  şeklindedir. Küçük yer değiştirmeler varsayımlı altında yer değiştirme ve şekil değiştirmeler arasındaki kinematik bağıntılar

$$\varepsilon_{ij} = \frac{1}{2}(u_{i,j} + u_{j,i}) \quad (2.19)$$

ile ifade edilir. Hooke kanunları, izotrop elastik cisimde, gerilme-şekil değiştirme bileşenleri cinsinden indis notasyonu ile

$$\sigma_{ij} = \frac{2G\nu}{1-2\nu} \varepsilon_{kk} \delta_{ij} + 2G\varepsilon_{ij} \quad (2.20)$$

şeklinde yazılabilir. Bu denklemleri (2.18) denge denklemlerinde yerlerine konulup ve (2.19) daki şekil değiştirme - yer değiştirme bağıntıları gözönüne alınarak

$$\frac{1}{1-2\nu} \frac{\partial^2 u_j}{\partial x_i \partial x_j} + \frac{\partial^2 u_i}{\partial x_j \partial x_j} = 0 \quad (2.21)$$

şeklinde Navier denklemi elde edilir. Bu denklemlerin çözümüyle  $u_i$  yer değiştirmeler elde edilir.

Ortotrop bir ortamda ise benzer düşünce ile, düzlem şekil değiştirme için (2.11) gerilme ve şekil değiştirme bağıntıları ve (2.19) yer değiştirme şekil değiştirme denklemleri, kütle kuvvetleri sıfır olarak gözönüne alınarak (2.18) denge denklemlerinde yerlerine konursa

$$c_{11} \frac{\partial^2 u_x}{\partial x^2} + c_{66} \frac{\partial^2 u_x}{\partial y^2} + (c_{12} + c_{66}) \frac{\partial u_y}{\partial x \partial y} = 0 \quad (2.22)$$

$$c_{66} \frac{\partial^2 u_y}{\partial x^2} + c_{22} \frac{\partial^2 u_y}{\partial y^2} + (c_{12} + c_{66}) \frac{\partial u_x}{\partial x \partial y} = 0$$

yer değiştirme bileşenlerine bağlı diferansiyel denklemleri elde edilir. Burada  $q$  bir sabit ve  $\varphi$ ,  $x$  ve  $y$  ye bağlı bilinmeyen fonksiyon olmak üzere

$$u_x = \frac{\partial \varphi}{\partial x} \quad u_y = q \frac{\partial \varphi}{\partial y} \quad (2.23)$$

şeklinde bir çözümün bulunabileceği kabül edilerek, (2.22) eşitlikleri  $\varphi$  fonksiyonu cinsinden

$$\frac{\partial^2 \varphi}{\partial x^2} + \frac{[c_{66} + (c_{12} + c_{66})q]}{c_{11}} \frac{\partial^2 \varphi}{\partial y^2} = 0 \quad (2.24)$$

$$\frac{\partial^2 \varphi}{\partial x^2} + \frac{c_{22}q}{(c_{12} + c_{66}) + c_{66}q} \frac{\partial^2 \varphi}{\partial y^2} = 0$$

şeklinde yazılabilir. Bu denklemlerin uygun bir üç boyutlu sıfır olmayan çözümü, denklemler biribirine özdeşse bulunabilir ve bu özdeşlik eğer

$$\frac{c_{66} + (c_{12} + c_{66})q}{c_{11}} = \gamma^2 \quad (2.25)$$

$$\frac{c_{22}q}{(c_{12} + c_{66}) + c_{66}q} = \gamma^2$$

ise vardır. Burada  $\gamma^2$  için, kökleri  $\gamma_1^2, \gamma_2^2$  olan kuadratik bir denklem verir.

$$c_{11}c_{66}\gamma^4 + [c_{12}(2(c_{66} + c_{12})) - c_{11}c_{22}] \gamma^2 + c_{22}c_{66} = 0 \quad (2.26)$$

Burada köklerin çarpımları ve toplamları sırasıyla

$$k_1 = \gamma_1\gamma_2 \quad \text{ve} \quad k_2 = \frac{1}{2}(\gamma_1^2 + \gamma_2^2) \quad (2.27)$$

olarak gözönüne alınırsa,  $k_1$  ve  $k_2$  sabitleri daima geçeldir. Buna karşın eğer

$$\begin{aligned} k_2 > k_1 &\text{ ise} & \gamma_1, \gamma_2 &\text{ geçeldir} \\ k_2 = k_1 &\text{ ise} & \gamma_1 = \gamma_2 &\text{ geçeldir} \\ k_2 < k_1 &\text{ ise} & \gamma_1, \gamma_2 &\text{ karmaşıktır.} \end{aligned} \quad (2.28)$$

Ayrıca  $\gamma_1=\gamma_2=1$  ise çözüm izotrop çözüme karşı gelmektedir. Genellikle mühendislik problemlerinde köklerin reel olduğu bilindiğinden, bu çalışmada reel kökler gözönüne alınmaktadır. (2.24) denklemleri, (2.26) denkleminin kökleri cinsinden

$$\frac{\partial^2 \varphi_i}{\partial x^2} + \gamma_i^2 \frac{\partial^2 \varphi_i}{\partial y^2} = 0 \quad i=1,2 \text{ (i toplanmamıştır)} \quad (2.29)$$

şeklinde yazılarak bu denklemin çözümünde  $\varphi_1$  ve  $\varphi_2$  gibi iki tane çözüm fonksiyonu elde edilir.  $\varphi_i$  düzlem şekil değiştirme durumunda, ortotrop cisimde potansiyellerdir. Laplace eşitliğine benzediğinden Quasi-harmonik olarakta isimlendirilirler.

(2.25) denklemlerinden  $q$  sabiti

$$q_i = \frac{(c_{11}\gamma_i^2 - c_{66})}{(c_{12} + c_{66})} \quad (2.30)$$

şeklinde elde edilir. (2.26) ifadesinin köklerine bağlı olarak

$$q_1 = \frac{(c_{11}\gamma_1^2 - c_{66})}{(c_{12} + c_{66})} \quad q_2 = \frac{(c_{11}\gamma_2^2 - c_{66})}{(c_{12} + c_{66})} \quad (2.31)$$

şeklinde yazılabilir.  $q_1$  ve  $q_2$  hesaplandıktan sonra (2.23) ifadesindeki yer değiştirmeler

$$u_x = \frac{\partial \varphi_1}{\partial x} + \frac{\partial \varphi_2}{\partial x} \quad u_y = q_1 \frac{\partial \varphi_1}{\partial y} + q_2 \frac{\partial \varphi_2}{\partial y} \quad (2.32)$$

şeklinde  $\varphi_1$  ve  $\varphi_2$  fonksiyonları cinsinden yazılabilir.

## 2.5. TEMEL ÇÖZÜMLER

Sınır elemanlar yöntemi, genel anlamda, sınır integral denklem sisteminin bölgenin sınırında ayrıklaştırılmasından (sınır elemanlar kullanarak) elde edilen denklem sisteminin çözümünden ibarettir. Burada problemin differansiyel denkleminin homogen çözümüne karşı gelen ve *temel çözüm* olarak adlandırılan bir çözüme gereksinim vardır. Bu çözüm üç boyutlu cisimlerde *Kelvin çözümü*, yarım uzay problemlerinde *Kelvin* ya da *Mindlin çözümü* olabilir. İki boyutlu problemlerde ise *Flamant çözümü*, *Kelvin çözümü* veya *Melan çözümü* kullanılabilir.

### **2.5.1 Sonsuz Düzlem İzotrop Ortamda Temel Çözümler**

Sonsuz düzlemden bir  $\xi$  noktasına etkiyen  $F$  kuvvetinin sebebi olduğu herhangi bir  $x$  noktasındaki yer değiştirme bileşenleri

$$u_i(x) = U_{ij}(x, \xi_j) F_j(\xi_j) \quad (2.33)$$

bağıntısıyla elde edilebilir Şekil 2.2. Burada  $U_{ij}(x, \xi)$ ,  $j$  yönünde,  $\xi$  noktasındaki birim yükten dolayı,  $i$  yönünde  $x$  noktasındaki yer değiştirme olmak üzere, düzlem şekil değiştirme için *Kelvin* tarafından [10]

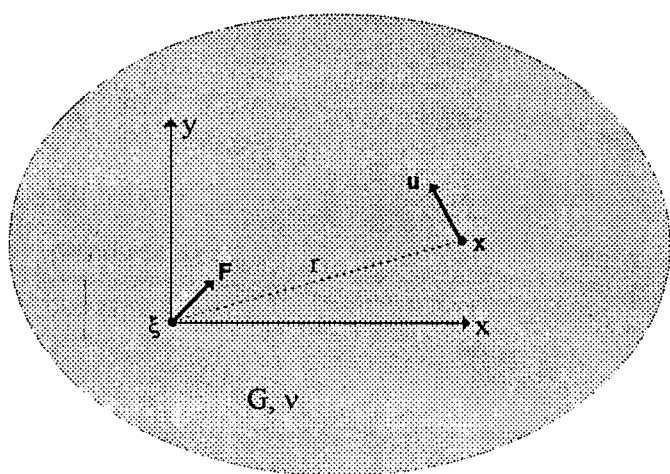
$$U_{ij}(x, \xi) = -\frac{1}{8\pi(1-\nu)G} [(3-4\nu) \ln r \delta_{ij} - r_{,i}r_{,j}] \quad (2.34)$$

bağıntısıyla verilmiştir. Burada

$$\delta_{ij} = \begin{cases} 1, & i = j \\ 0, & i \neq j \end{cases} \quad \text{Kronecker delta} \quad (2.35)$$

$$r_i = r_i / r \quad \quad \quad r_i = x_i - \xi_i \quad \quad \quad (2.37)$$

dir.



Şekil 2.2. Sonsuz düzlemede tekil kuvvetler

(2.34) denklemler  $(x, y)$  dik koordinatlarda açık olarak

$$\begin{aligned} U_{xx} &= -\frac{1}{8\pi(1-\nu)G} \left[ (3-4\nu) \ln r - \frac{x^2}{r^2} \right] \\ U_{xy} &= -\frac{1}{8\pi(1-\nu)G} \left[ -\frac{xy}{r^2} \right] \quad U_{yx} = U_{xy} \\ U_{yy} &= -\frac{1}{8\pi(1-\nu)G} \left[ (3-4\nu) \ln r - \frac{y^2}{r^2} \right] \end{aligned} \quad (2.38)$$

şeklinde yazılabilir. Benzer şekilde herhangi bir  $x$  noktasındaki gerilme bileşenleri için, (2.33), (2.18) ve (2.19) bağıntıları kullanılarak

$$\sigma_{ij}(x) = S_{ijk}(x, \xi) F_k(\xi) \quad (2.39)$$

şeklinde elde edilirler. Cismin sınırında  $x$  noktasının dış normali  $n_j(x)$  olmak üzere yüzey gerilmeleri

$$t_i(x) = \sigma_{ij}(x, \xi) n_j(x) \quad (2.40)$$

veya başka bir gösterimle

$$t_i(x) = T_{ik}(x, \xi) F_k(\xi) \quad (2.41)$$

şeklinde elde edilir. Burada  $T_{ik}(x, \xi) = S_{ijk}(x, \xi) n_j(x)$  olup,  $S_{ijk}(x, \xi)$  tesir fonksiyonları ise  $U_{ij}(x, \xi)$  tesir fonksiyonları kullanılarak

$$S_{ijk}(x, \xi) = -\frac{1}{4\pi(1-\nu)} \frac{1}{r} [(1-2\nu)(r_j \delta_{ki} + r_i \delta_{kj} - r_k \delta_{ij}) + 2r_i r_j r_k] \quad (2.42)$$

şeklinde elde edilirler. Bu fonksiyonlar  $(x, y)$  kartezyen koordinatlarda açık olarak

$$S_{xxx} = -\frac{1}{4\pi(1-\nu)} \left[ 2(1-\nu) \frac{x}{r^2} + \frac{x(x^2 - y^2)}{r^4} \right]$$

$$S_{xxy} = -\frac{1}{4\pi(1-\nu)} \left[ 2\nu \frac{y}{r^2} + \frac{y(x^2 - y^2)}{r^4} \right]$$

$$S_{yyx} = -\frac{1}{4\pi(1-\nu)} \left[ 2\nu \frac{x}{r^2} - \frac{x(x^2 - y^2)}{r^4} \right] \quad (2.43)$$

$$S_{yyy} = -\frac{1}{4\pi(1-\nu)} \left[ 2(1-\nu) \frac{y}{r^2} - \frac{y(x^2 - y^2)}{r^4} \right]$$

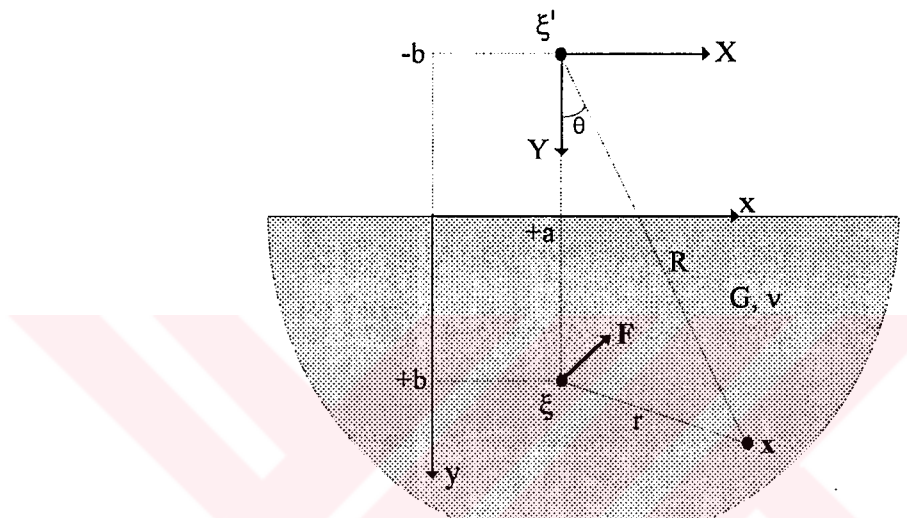
$$S_{xyx} = -\frac{1}{4\pi(1-\nu)} \left[ (1-2\nu) \frac{y}{r^2} + \frac{2x^2 y}{r^4} \right]$$

$$S_{yyx} = -\frac{1}{4\pi(1-\nu)} \left[ (1-2\nu) \frac{x}{r^2} + \frac{2xy^2}{r^4} \right]$$

şeklinde yazılabilir.

### 2.5.2. Yarı-Sonsuz Düzlem İzotrop Ortamda Temel Çözümler

Yarı-sonsuz düzlemede temel çözümler, homojen izotrop ortam için *Melan* tarafından verilmiştir Şekil 2.3.



Şekil 2.3. Yarı-sonsuz düzlemede tekil kuvvetler.

*Melan* çözümü, *Kelvin* çözümü + Tamamlayıcı çözüm olmak üzere iki temel çözümün toplamı şeklinde gözönüne alınabilir. *Kelvin* çözümü sonsuz düzlemedeki çözümüdür (Şekil 2.3 de kuvvetin  $\xi$  noktasında olması durumunda sonsuz düzlemede çözümüdür). Tamamlayıcı çözüm ise kuvvetin  $\xi$  noktası yerine, bu noktanın görüntüsü olan  $\xi'$  noktasında olması durumundaki çözümüdür. Bu nedenle yarı-sonsuz düzlemede çözümleri

$$u = u^k + u^c \quad \sigma = \sigma^k + \sigma^c \quad (2.44)$$

olarak yazılabilir. Burada  $u^k$ ,  $\sigma^k$  sonsuz düzlemede *Kelvin* çözümleri,  $u^c$ ,  $\sigma^c$  yarı-sonsuz düzlemede tamamlayıcı çözümlerdir. Tamamlayıcı çözümler,  $y=0$  serbest

yüzeyinde  $\sigma_{xy}=0$  ve  $\sigma_{yy}=0$  koşullarını gerçekleyecek şekilde sonsuz düzlem temel çözümüle ilave edilen çözümler olup  $(x,y)$  dik kartezyen koordinatlarda [10]

$$\begin{aligned} U_{yy}^c &= K_u \left\{ -[8(1-\nu)^2 - (3-4\nu)] \ln R + \frac{[(3-4\nu)Y^2 - 2by]}{R^2} + \frac{4byY^2}{R^4} \right\} \\ U_{yx}^c &= K_u \left\{ \frac{(3-4\nu)(y-b)X}{R^2} + \frac{4byXY}{R^4} - 4(1-\nu)(1-2\nu)\theta \right\} \\ U_{xy}^c &= K_u \left\{ \frac{(3-4\nu)(y-b)X}{R^2} - \frac{4byXY}{R^4} + 4(1-\nu)(1-2\nu)\theta \right\} \end{aligned} \quad (2.45)$$

$$\begin{aligned} U_{xx}^c &= K_u \left\{ -(8(1-\nu)^2 - (3-4\nu)) \ln R + \frac{[(3-4\nu)X^2 + 2by]}{R^2} - \frac{4byX^2}{R^4} \right\} \\ S_{yyy}^c &= -K_s \left\{ \frac{(3y+b)(1-2\nu)}{R^2} + \frac{2[Y(Y^2 + 2by) - 2yX^2(1-2\nu)]}{R^4} - \frac{16byX^2Y}{R^6} \right\} \\ S_{yxy}^c &= -K_s X \left\{ -\frac{(1-2\nu)}{R^2} + \frac{2[y^2 - 2by - b^2 + 2yY(1-2\nu)]}{R^4} + \frac{16byY^2}{R^6} \right\} \\ S_{xxy}^c &= -K_s \left\{ \frac{(y+3b)(1-2\nu)}{R^2} + \frac{2[Y(X^2 + 2b^2) - 2bX^2 + 2yX^2(1-2\nu)]}{R^4} + \frac{16byX^2Y}{R^6} \right\} \\ S_{xxy}^c &= -K_s X \left\{ \frac{(1-2\nu)}{R^2} - \frac{2[c^2 - y^2 + 6cy - 2yY(1-2\nu)]}{R^4} + \frac{16cyX^2}{R^6} \right\} \end{aligned} \quad (2.46)$$

$$\begin{aligned} S_{yxx}^c &= -K_s \left\{ \frac{(3y+b)(1-2\nu)}{R^2} + \frac{2[(2by + X^2)Y - 2yY^2(1-2\nu)]}{R^4} - \frac{16byX^2Y}{R^6} \right\} \\ S_{xxx}^c &= -K_s X \left\{ \frac{3(1-2\nu)}{R^2} + \frac{2[X^2 - 4by - 2b^2 - 2yY(1-2\nu)]}{R^4} + \frac{16byY^2}{R^6} \right\} \end{aligned}$$

şeklindedir. Burada

$$K_u = \frac{1}{8\pi(1-\nu)G} \quad K_s = \frac{1}{4\pi(1-\nu)} \quad (2.47)$$

$$\theta = \arctan\left(\frac{X}{Y}\right) \quad R = \sqrt{X^2 + Y^2} \quad (2.48)$$

dir.

### 2.5.3. Sonsuz Düzlem Anizotrop Ortamda Temel Çözümler

Anizotrop ortamda, iki boyutlu lineer elastisite ve düzlem şekil değiştirme için, *Kelvin* temel çözümleri, sonsuz düzlemede Şekil 2.2. deki yükleme durumu gözönüne alınarak elastisite modülleri  $x$ ,  $y$  global eksenlerine paralel olması halinde meydana gelen yer değiştirmeler [15]:

$$U_{xx} = K(\gamma_1 \kappa_2^2 \ln r_1 - \gamma_2 \kappa_1^2 \ln r_2) \\ U_{xy} = U_{yx} = -K \kappa_1 \kappa_2 (\theta_1 - \theta_2) \quad (2.50)$$

$$U_{yy} = -K \left( \frac{1}{\gamma_1} \kappa_1^2 \ln r_1 - \frac{1}{\gamma_2} \kappa_2^2 \ln r_2 \right)$$

ve gerilmeler

$$S_{xxx} = Kx \left( \frac{\kappa_1}{\gamma_2 r_2^2} - \frac{\kappa_2}{\gamma_1 r_1^2} \right) \quad S_{xxy} = Ky \left( \frac{\kappa_2}{\gamma_2^3 r_2^2} - \frac{\kappa_1}{\gamma_1^3 r_1^2} \right)$$

$$S_{xyx} = Ky \left( \frac{\kappa_1}{\gamma_2 r_2^2} - \frac{\kappa_2}{\gamma_1 r_1^2} \right) \quad S_{xxy} = Kx \left( \frac{\kappa_1}{\gamma_1 r_1^2} - \frac{\kappa_2}{\gamma_2 r_2^2} \right) \quad (2.51)$$

$$S_{yyx} = Kx \left( \frac{\gamma_1 \kappa_2}{r_1^2} - \frac{\gamma_2 \kappa_1}{r_2^2} \right) \quad S_{yyy} = Ky \left( \frac{\kappa_1}{\gamma_1 r_1^2} - \frac{\kappa_2}{\gamma_2 r_2^2} \right)$$

şeklinde verilmiştir. Burada

$$\kappa_i = s_{12} - \gamma_i^2 s_{22} \quad r_i = \sqrt{x^2 + y_i^2} \quad (2.55)$$

$$\theta_i = \arctan\left(\frac{y_i}{x}\right) \quad i=1,2 \quad (2.56)$$

$$y_1 = \frac{y}{\gamma_1} \quad \text{ve} \quad y_2 = \frac{y}{\gamma_2} \quad (2.57)$$

$$K = \frac{1}{2\pi(\gamma_1^2 - \gamma_2^2)s_{22}} \quad (2.58)$$

dir. Bu çözümlerde  $\gamma_1 = \gamma_2 = 1$  limit durum için çözümlerin sonsuz düzlem izotrop ortamda *Kelvin* temel çözümlerine karşı gelmektedir.

#### 2.5.4. Yarı-Sonsuz Düzlem Anizotrop Ortamda Temel Çözümler

Yarı sonsuz düzlemede anizotropideki temel çözümü izotrop çözümdekine benzer şekilde sonsuz düzlemdeki temel çözümler ve tamamlayıcı çözümlerin toplamı şeklinde gözönüne alınabilir. Fakat bu çözümde  $\varphi$  fonksiyonun dört farklı durumu söz konusudur. Bunun nedeni olarak kaynak noktası ile alan noktası arasındaki  $Y$  koordinatının  $\gamma$  ya bağlı olarak  $Y_1 = (y+b)/\gamma_1$ ,  $Y_2 = (y+b)/\gamma_2$ ,  $Y_3 = y/\gamma_1 + b/\gamma_2$  ve  $Y_4 = y/\gamma_2 + b/\gamma_1$  şeklinde dört farklı değer almasıdır. Yükleme durumu Şekil 2.3. deki durum gözönüne alınarak tamamlayıcı kısımda elastisite modüllerinin global  $x$ ,  $y$

eksenlerine paralel olması durumunda birim tekil kuvvetin  $\xi^l$  noktasında iken meydana gelecek yer değiştirmeye bileşenleri [15]:

$$\begin{aligned} U_{xx}^c &= K \left[ -c_1 (\gamma_1 \kappa_2^2 \ln R_1 + \gamma_2 \kappa_1^2 \ln R_2) + c_2 \kappa_1 \kappa_2 (\ln R_3 + \ln R_4) \right] \\ U_{xy}^c &= K \left[ -c_1 \kappa_1 \kappa_2 (\theta_1 + \theta_2) + c_3 (\gamma_2 \kappa_1^2 \theta_3 + \gamma_1 \kappa_2^2 \theta_4) \right] \\ U_{yx}^c &= K \left[ c_1 \kappa_1 \kappa_2 (\theta_1 + \theta_2) - c_3 (\gamma_1 \kappa_2^2 \theta_3 + \gamma_2 \kappa_1^2 \theta_4) \right] \end{aligned} \quad (2.59)$$

$$U_{yy}^c = K \left[ -c_1 \left( \frac{\kappa_1^2}{\gamma_1} \ln R_1 + \frac{\kappa_2^2}{\gamma_2} \ln R_2 \right) + c_3 \kappa_1 \kappa_2 (\ln R_3 + \ln R_4) \right]$$

ve gerilme bileşenleri

$$\begin{aligned} S_{xxx}^c &= KX \left[ c_1 \left( \frac{\kappa_2}{\gamma_1 R_1^2} + \frac{\kappa_1}{\gamma_2 R_2^2} \right) - c_3 \left( \frac{\gamma_2 \kappa_1}{\gamma_1 R_3^2} + \frac{\gamma_1 \kappa_2}{\gamma_2 R_4^2} \right) \right] \\ S_{xyx}^c &= K \left[ c_1 \left( \frac{\kappa_2 Y_1}{R_1^2} + \frac{\kappa_1 Y_2}{R_2^2} \right) - c_3 \left( \gamma_2 \frac{\kappa_1 Y_3}{R_3^2} + \gamma_1 \frac{\kappa_2 Y_4}{R_4^2} \right) \right] \\ S_{yyx}^c &= KX \left[ -c_1 \left( \frac{\gamma_1 \kappa_2}{R_1^2} + \frac{\gamma_2 \kappa_1}{R_2^2} \right) + c_2 \left( \frac{\kappa_1}{R_3^2} + \frac{\kappa_2}{R_4^2} \right) \right] \\ S_{xxy}^c &= K \left[ -c_1 \left( \frac{\kappa_1 Y_1}{\gamma_1^2 R_1^2} + \frac{\kappa_2 Y_2}{\gamma_2^2 R_2^2} \right) + c_3 \left( \frac{Y_3 \kappa_2}{\gamma_1 R_3^2} + \frac{Y_4 \kappa_1}{\gamma_2 R_4^2} \right) \right] \\ S_{yyv}^c &= KX \left[ c_1 \left( \frac{\kappa_1}{\gamma_1 R_2^2} + \frac{\kappa_2}{\gamma_2 R_1^2} \right) - c_3 \left( \frac{\kappa_2}{R_3^2} + \frac{\kappa_1}{R_4^2} \right) \right] \end{aligned} \quad (2.60)$$

$$S_{yy}^e = K \left[ c_1 \left( \frac{\kappa_1 Y_1}{R_1^2} + \frac{\kappa_2 Y_2}{R_2^2} \right) - c_3 \left( \gamma_1 \frac{\kappa_2 Y_3}{R_3^2} + \gamma_2 \frac{\kappa_1 Y_4}{R_4^2} \right) \right]$$

şeklinde yazılabilirler. Burada

$$c_1 = \frac{\gamma_1 + \gamma_2}{\gamma_1 - \gamma_2} \quad c_2 = \frac{2\gamma_1\gamma_2}{\gamma_1 - \gamma_2} \quad c_3 = \frac{2}{\gamma_1 - \gamma_2} \quad (2.61)$$

$$R_i = \sqrt{(X^2 + Y_i^2)} \quad \theta_i = \arctan\left(\frac{X}{Y_i}\right) \quad (2.62)$$

dir.

## BÖLÜM 3. SINIR ELEMANLAR YÖNTEMİ

Sınır eleman denklemleri, ikinci Green teoremi kullanılarak veya mekanlığın temel ilkelerinden örneğin virtüel iş ilkesini kullanarak direkt veya indirekt formülasyonlarla elde edilebilir. Bu ilkelerin yardımıyla ve temel çözümlerin de göz önünde tutulmasıyla bölgede tam olarak gerçekleşen, sınırlarda ise integral denklem anlamında gerçekleşen bir sınır integral denklemi elde edilir. Problemin çözümünde integrasyon formülasyonu temel alınmış olduğundan bu yöntemde, problemin çözüm bölgesi bir mertebe azalır, yani üç boyutlu problemler için bölgenin yüzeyinde, iki boyutlu problemler için ise bölgenin sınırlarındaki kapalı eğrilerde ayriklaştırma yapılarak problemin çözümü elde edilmektedir. Ayriklaştırma işleminde kullanılan sınırlarındaki elemanlar sabit, lineer, parabolik, kübik, v.b. seçilebilir. Eğer hesaplanacak iç nokta sayısı fazla ise Sınır Eleman Yöntemi yerine Sonlu elemanlar veya sonlu farklar yöntemi daha uygun olabilir. Bazı durumlar için Sınır elemanlar yöntemiyle Sonlu elemanlar yöntemi beraber kullanılabilir. Bu çalışmada iki boyutlu problemler için sınır elemanlar yöntemlerinden olan indirekt sınır eleman yöntemi aşağıda incelenmiştir.

### 3.1. İNDİREKT SINIR ELEMAN YÖNTEMİ

İndirekt sınır elemanlar yönteminde, verilen sınır koşulları altında, sınırlarda fiktif değerler hesaplanır, daha sonra sınırlarındaki ve bölgedeki bilinmeyenler bu fiktif değerler yardımıyla hesaplanırlar. Buna göre (2.33) ve (2.41) sınırlarındaki yer değiştirme ve gerilme bağıntıları matris formunda tekrar

$$(u) = (\phi)[U] \quad (3.1)$$

$$(t) = (\phi)[T] \quad (3.2)$$

şeklinde yazılabilir. Burada  $\phi$  sınırdaki fiktif değerler olmak üzere, eğer sınırda  $u$  yerdeğiştirmeler bilinmiyor ise (3.1) eşitliğinden  $\phi$  fiktif değerler hesaplanır, daha sonra bu fiktif değerler kullanılarak (3.2) eşitliğinden sınırdaki  $t$  gerilmeleri hesaplanır.

Bu çalışmada iki indirekt sınır eleman yöntemi incelenmiş olup, bunlardan birincisi fiktif gerilme yöntemi, ikincisi ise yer değiştirme süreksızlığı yöntemidir. Her iki yöntemde de malzeme homojen, izotrop-anizotrop ve lineer elastik malzeme olarak gözönüne alınacaktır. İndirekt sınır elemanlar yönteminde, tesir fonksiyonları kapalı formda kesin olarak elde edilmişlerdir. Nümerik integrasyona göre avantajları; analitik tesir fonksiyonları kesindir, sayısal integrasyondaki tesir fonksiyonları yaklaşaktır, bu nedenle bilgisayar programında tek incelik kullanılması yeterlidir. Bu çalışmada integraller sınırda doğrusal elemanlar üzerinde alınmıştır. Fiktif gerilme yönteminde gerilme tekilliği çok düşük olduğundan cismin dış sınırı fiktif gerilme tesir fonksiyonları ile modellemek uygundur. Buna karşın yer değiştirme süreksızlıklar ile çatılk modellemeleri için çok uygundur.

### 3.1.1. Fiktif Gerilme Yöntemi

Fiktif gerilme yönteminde, bölgenin sınırlarına fiktif kuvvetler uygulanarak problemin çözümü elde edilmektedir. Sınırdaki integrallerin süperpozisyonuyla elde edilen lineer denklem takımının çözülmesiyle fiktif kuvvetler elde edilir. Daha sonra bu fiktif kuvvetler kullanılarak, bölgede ve sınırlardaki gerilmeler ve yer değiştirmeler hesaplanır. Buna göre (2.33) ve (2.39) yer değiştirme ve gerilme eşitlikleri açık olarak

$$\begin{aligned} u_x &= F_x U_{xx} + F_y U_{xy} \\ u_y &= F_x U_{yx} + F_y U_{yy} \end{aligned} \quad (3.3)$$

$$\begin{aligned}\sigma_{xx} &= F_x S_{xxx} + F_y S_{xxy} \\ \sigma_{yy} &= F_x S_{yyx} + F_y S_{yyy} \\ \sigma_{xy} &= F_x S_{xyx} + F_y S_{xyy}\end{aligned}\tag{3.4}$$

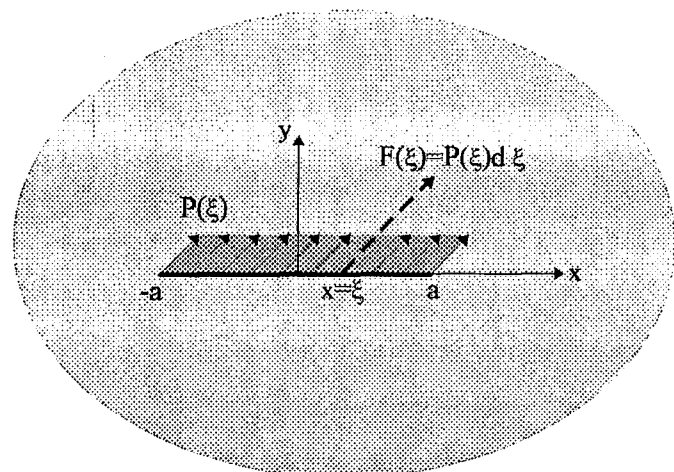
şeklinde yazılırak, bu tekil çözümlerin sabit kuvvetler için gerilmeler ve yer değiştirmeler  $(-\alpha, \alpha)$  aralığındaki integrasyonuyla (Şekil 3.1.) sınırdaki herhangi bir doğrusal elemanın üzerindeki uniform yayılı yükten dolayı  $(x, y)$  noktasındaki yer değiştirme ve gerilme bileşenleri sırasıyla,

$$\begin{aligned}u_x &= P_x g_{xx} + P_y g_{xy} \\ u_y &= P_x g_{yx} + P_y g_{yy} \\ \sigma_{xx} &= P_x f_{xxx} + P_y f_{xxy} \\ \sigma_{yy} &= P_x f_{yyx} + P_y f_{yyy} \\ \sigma_{xy} &= P_x f_{xyx} + P_y f_{xyy}\end{aligned}\tag{3.5}$$

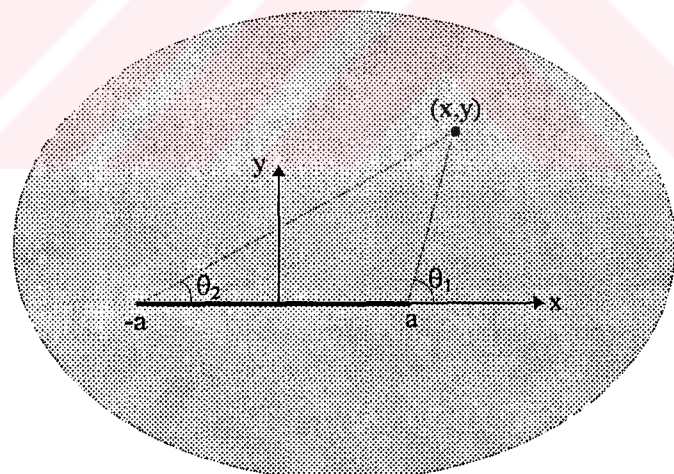
şeklinde elde edilebilir. Burada  $g_{xx}, g_{xy}, \dots, f_{xxx}, f_{xxy}, \dots$  v.b. temel çözümlerin  $(-\alpha, \alpha)$  aralığındaki integralleri olarak

$$\begin{aligned}g_{ij}(x, y) &= \int_{-a}^a U_{ij}(x - \xi, y) d\xi \\ f_{ijk}(x, y) &= \int_{-a}^a S_{ijk}(x - \xi, y) d\xi\end{aligned}\tag{3.7}$$

şeklinde elde edilirler. Ayrıca, bu çözümlerde  $x=0$  ve  $y=0$  noktasında, integral sonuçları sonlu değerlerdir.



Şekil. 3.1. Kelvin çözümünün integrali.



Şekil 3.2. Bir elemanın üç noktalarındaki açılar.

$\theta$  açısı kaynak noktası ile alan noktası arasındaki doğrunun açısı olmak üzere Şekil 3.2 için

$$\theta_1 = \arctan \frac{y}{x-a} \quad \theta_2 = \arctan \frac{y}{x+a} \quad (3.8)$$

şeklinde yazılarak, elemana  $y=0_-$  ve  $y=0_+$  yönünde yaklaşıldığı durumda  $\theta_1$  ve  $\theta_2$  açılarının alacağı değerler

$$\lim_{y \rightarrow 0} (\theta_1 - \theta_2) = \begin{cases} -\pi, & y = 0_- \\ 0, & y = 0 \\ \pi, & y = 0_+ \end{cases} \quad (3.9)$$

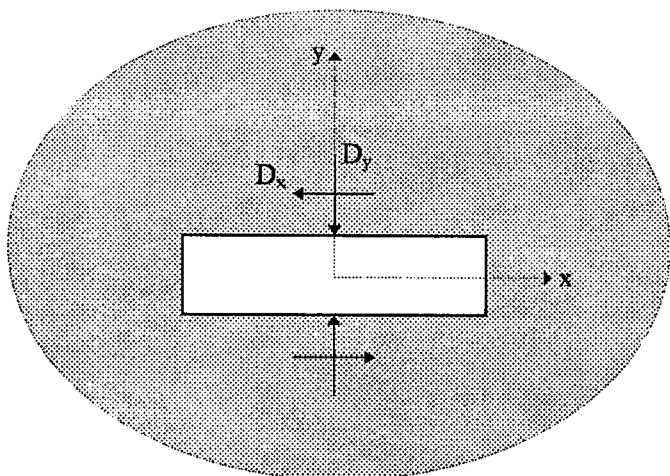
şeklinde olacaktır.

### 3.1.2. Yer Değiştirme Süreksizlikleri Yöntemi

Yer değiştirme süreksızlığı yönteminde çözüm yöntemi, indirekt sınır eleman yöntemiyle tamamen aynıdır, farkı bir yüzey yerine (herhangi bir elemandan) karşılıklı iki yüzey göz önüne alınmasıdır. Buna göre yüzeyler bir eleman olarak kabül edilebilir. Ayrıca fiktif kuvvetler yerine yer değiştirme süreksizlikleri hesaplanır ve bunlar her iki yüzeydeki yer değiştirme farklıları olarak

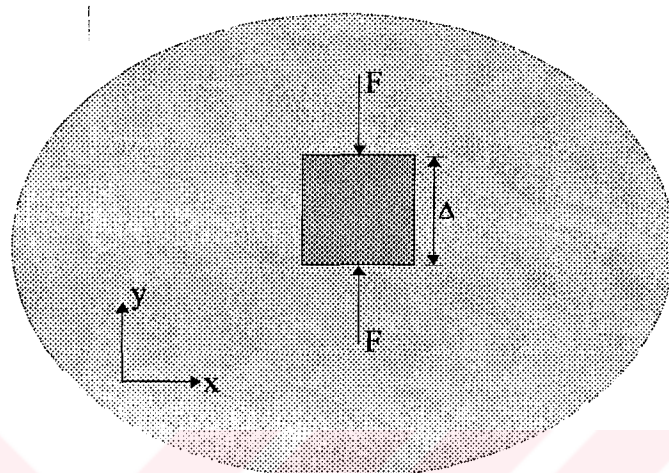
$$D_i = u_i(x, 0_-) - u_i(x, 0_+) \quad (3.10)$$

şeklinde hesaplanabilirler.



Şekil 3.3. Yer değiştirme süreksizlikleri.

Yer değiştirme süreksizliğinin tesir fonksiyonları, sonsuz düzlemdeki tekil kuvvet temel çözümü kullanılarak elde edilir. Bunun için Şekil 3.4'deki gibi tekil kuvvetler bir elemanda karşılıklı yönde uygulanarak, söz konusu elemandaki yer değiştirmeler hesaplanmaktadır.



Şekil 3.4. Zıt yönlü iki kuvvet etkisindeki eleman.

Sonsuz düzlemede bir nokta göz önüne alınınsın., burada herhangi bir tekil kuvvetten oluşan tesir fonksiyonu  $U_{ij}(x,y)$ , alan fonksiyonu  $u_i(x,y)$  ve tekil kuvvet  $F_j$  olmak üzere (2.33) bağıntısı tekrar

$$u_i(x,y) = F_j U_{ij}(x,y) \quad (3.11)$$

şeklinde yazılarak, sonsuz bölgede kalınlığı  $\Delta$  olan bir elemanda karşılıklı iki yönde tekil kuvvetler uygulandığında, yerdeğiştirme alan fonksiyonu

$$u_i(x,y) = F_j \left\{ \left( U_{ij} - \frac{\Delta}{2} \frac{\partial U_{ij}}{\partial y} \right) - \left( U_{ij} + \frac{\Delta}{2} \frac{\partial U_{ij}}{\partial y} \right) \right\} \quad (3.12)$$

olur. Sadeleştirme işlemi yapılarak

$$u_i(x, y) = -\frac{\partial U_{ij}}{\partial y} F_j \Delta \quad (3.13)$$

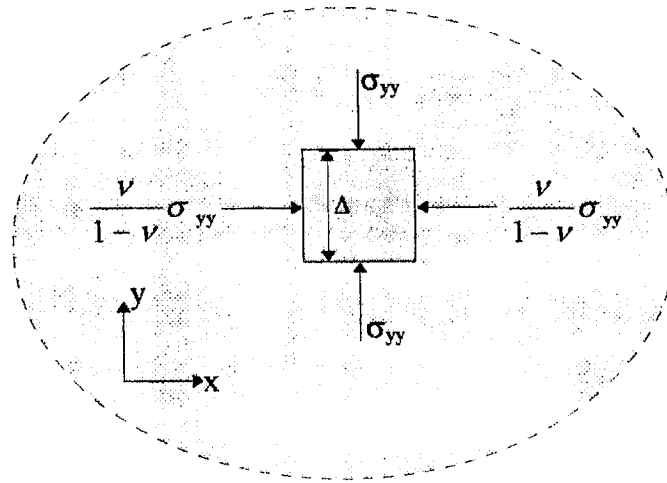
şeklinde temel çözümlerin kuvvet yönündeki türevleri cinsinden elde edilir. Burada  $F_j \Delta$  dipol gerilmesi olarak isimlendirilebilir [48].

### 3.1.2.1. Normal Doğrultudaki Yer Değiştirme Süreksizliği

Elastik, izotrop bir cisim için (2.3) Hooke denklemleri kullanılarak, sadece eksenel şekil değiştirme halinde ( $\varepsilon_{yy} \neq 0$ , diğer şekil değiştirmeler sıfır), gerilme ifadeleri arasındaki bağıntılar

$$\sigma_{xx} = \sigma_{zz} = \frac{\nu}{1-\nu} \sigma_{yy} \quad (3.14)$$

şeklinde elde edilir. Bu bağıntı kullanılarak Şekil 3.5'de gösterilen elemandaki yükleme durumunda sadece düşey şekil değiştirme oluşacaktır.



Şekil 3.5. Düşey doğrultuda eksenel şekil değiştirme için gerilme durumu.

Dipol gerilmesi ve Hooke kanunları kullanılarak  $y$  yönündeki yer değiştirmeye süreksizliği

$$D_y = \frac{\Delta F}{E} \frac{(1-2\nu)(1+\nu)}{(1-\nu)} \quad (3.15)$$

şeklinde elde edilir. Buna göre düşey doğrultuda eksenel şekil değiştirme durumunda, (3.13) ve (3.15) eşitliklerini kullanmak suretiyle düzlem içinde bir  $(x,y)$  noktasındaki  $y$  yönünde yer değiştirmeye süreksizliğinden dolayı oluşan temel çözümlerde gerilme ve yer değiştirmeye bileşenleri

$$\sigma_{ij} = -2GD_y \frac{1-\nu}{1-2\nu} \left\{ \sigma_{ij,b}^y + \frac{\nu}{1-\nu} \sigma_{ij,a}^x \right\} \quad (3.16)$$

$$u_j = -2GD_y \frac{1-\nu}{1-2\nu} \left\{ u_{i,b}^y + \frac{\nu}{1-\nu} u_{i,a}^x \right\}$$

şeklinde elde edilir. Burada  $x$  ve  $y$  üst indisleri,  $x$  ve  $y$  yönündeki tekil kuvvetten oluşan alan fonksiyonunu gösterirken,  $a$  ve  $b$  alt indisleri ise, bu alan fonksiyonlarının  $a$  ve  $b$  doğrultularındaki türevlerini göstermektedir. Buna göre kartezyen koordinatlarda bu denklemlerden birim yer değiştirmeye süreksizliğinden dolayı gerilme bileşenleri

$$S_{xxy} = \frac{(1-2\nu)}{4\pi(1-\nu)^2} \frac{1}{r^2} \left\{ 1 - \frac{8y^2}{r^2} + \frac{8y^4}{r^4} \right\}$$

$$S_{yyx} = \frac{(1-2\nu)}{4\pi(1-\nu)^2} \frac{1}{r^2} \left\{ 1 - \frac{4y^2}{r^2} - \frac{8y^4}{r^4} \right\} \quad (3.17)$$

$$S_{xyy} = \frac{(1-2\nu)}{4\pi(1-\nu)^2} \frac{2xy}{r^2} \left\{ 1 - \frac{4y^2}{r^2} \right\}$$

ve yer değiştirmeye bileşenleri

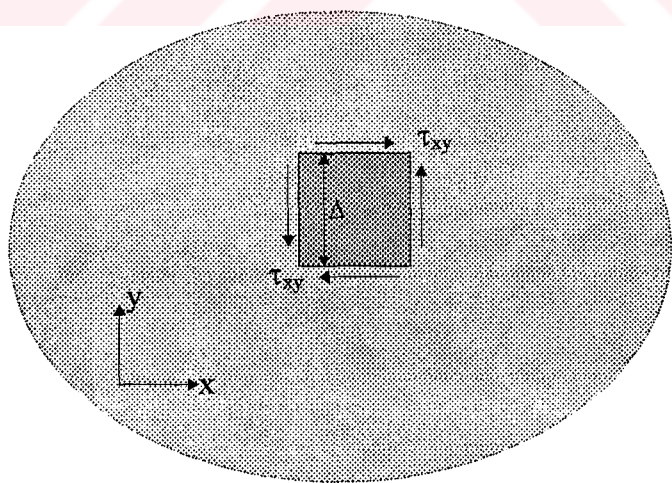
$$U_{xy} = \frac{(1-2\nu)}{8G\pi(1-\nu)^2} \cdot \frac{x}{r^2} \left\{ 1 - 2\nu - \frac{2y^2}{r^2} \right\}$$

$$U_{yy} = \frac{-(1-2\nu)}{8G\pi(1-\nu)^2} \cdot \frac{y}{r^2} \left\{ 1 - 2\nu + \frac{2y^2}{r^2} \right\}$$
(3.18)

şeklinde açık olarak elde edilir.

### 3.1.2.2. Kayma Yer Değiştirme Süreksizliği

Kayma yer değiştirmesi süreksizliği durumunda, şekil değiştirme bileşenlerinden sadece  $\varepsilon_{xy} \neq 0$ , diğer tüm şekil değiştirme bileşenleri sıfır olacak şekilde yükleme yapılarak elde edilebilir. Homojen, izotrop ortamındaki bir elemanter cisimde kayma yer değiştirme süreksizliği meydana getiren gerilme durumunun  $x-y$  düzlemindeki bileşenleri Şekil 3.6'de görüldüğü gibidir.



Şekil 3.6. Kayma şekil değiştirmesi için gerilme durumu.

Dipol gerilmesi ve Hooke kanunları kullanılarak  $x$  yönündeki yer değiştirme süreksizliği

$$D_x = \frac{\Delta F}{G} \quad (3.19)$$

şeklinde elde edilir. Buna göre, yatay doğrultuda yer değiştirmeye süreksizliğinden dolayı herhangi bir  $(x,y)$  noktasında oluşan temel çözümlerde gerilme ve yer değiştirmeye bileşenleri

$$\sigma_{ij} = -GD_x \left\{ \sigma_{ij,b}^x + \sigma_{ij,a}^y \right\} \quad (3.20)$$

$$u_i = -GD_x \left\{ u_{i,b}^x + u_{i,a}^y \right\}$$

şeklinde elde edilirler. Bu denklemler kullanılarak, birim kayma yer değiştirmeye süreksizliğinden dolayı  $(x,y)$  kartezyen koordinatlarda gerilme ve yer değiştirmeye bileşenleri sırayla

$$S_{xxx} = \frac{1}{2\pi(1-\nu)} \cdot \frac{2xy}{r^4} \left\{ -3 + \frac{4y^2}{r^2} \right\}$$

$$S_{yyx} = \frac{1}{2\pi(1-\nu)} \cdot \frac{2xy}{r^4} \left\{ 1 - \frac{4y^2}{r^2} \right\} \quad (3.21)$$

$$S_{xyx} = \frac{1}{2\pi(1-\nu)} \cdot \frac{1}{r^2} \left\{ 1 - \frac{8y^2}{r^2} + \frac{8y^4}{r^4} \right\}$$

$$U_{xx} = \frac{1}{4G\pi(1-\nu)} \cdot \frac{y}{r^2} \left\{ -3 - 2\nu + \frac{2y^2}{r^2} \right\}$$

$$U_{yx} = -\frac{1}{4G\pi(1-\nu)} \cdot \frac{x}{r^2} \left\{ 1 - 2\nu + \frac{2y^2}{r^2} \right\} \quad (3.22)$$

olarak elde edilir. Buna göre her iki yönde sabit yer değiştirmeye süreksizliği için, bu

tekil çözümlerin  $(-\alpha, \alpha)$  aralığındaki integrasyonunyla sınırdaki herhangi bir doğrusal elemandan dolayı bölgede  $(x, y)$  noktasındaki gerilme ve yer değiştirmeye bileşenleri

$$\begin{aligned} u_x &= D_x g_{xx} + D_y g_{xy} \\ u_y &= D_x g_{yx} + D_y g_{yy} \end{aligned} \quad (3.23)$$

$$\begin{aligned} \sigma_{xx} &= D_x f_{xxx} + D_y f_{xxy} \\ \sigma_{yy} &= D_x f_{yyx} + D_y f_{yyy} \end{aligned} \quad (3.24)$$

şeklinde elde edilebilir. Burada  $g_{xx}, g_{xy}, \dots, f_{xxx}, f_{xxy}, \dots$  v.b. fonksiyonları (3.17), (3.18), (3.21) ve (3.22) tekil çözümlerin  $(-\alpha, \alpha)$  aralığındaki integralleri olup

$$g_{ij}(x, y) = \int_{-a}^a U_{ij}(x - \xi, y) d\xi \quad (3.25)$$

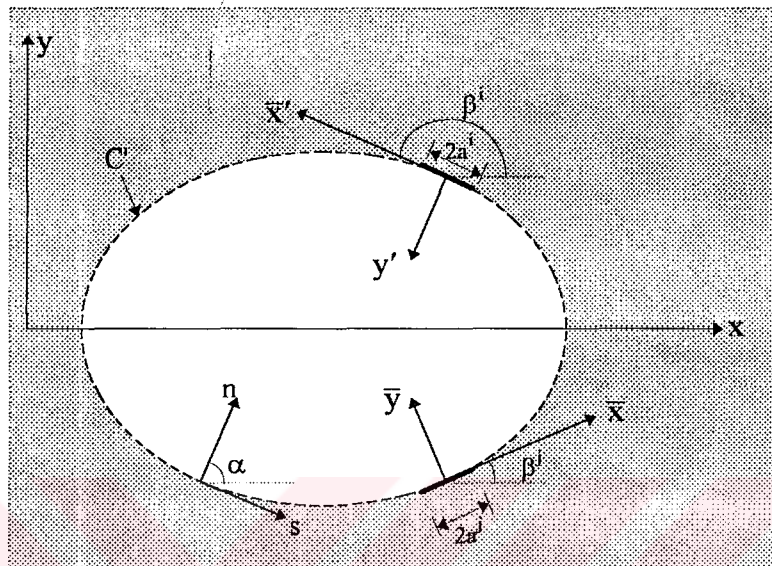
$$f_{ijk}(x, y) = \int_{-a}^a S_{ijk}(x - \xi, y) d\xi$$

eşitlikleriyle elde edilirler.

### 3.2. SAYISAL HESAP YÖNTEMİ

Şekil 3.7'de görüldüğü gibi sonsuz düzlemede kapalı bir boşluk gözönüne alınsun. Burada sınırlar  $2\alpha$  uzunluğunda doğrusal elemanlara bölünerek,  $j$  elemanındaki yüklemeden dolayı  $i$  elemanın orta noktasındaki gerilme ve yer değiştirmeler hesaplanacaktır. Bunun için herhangi bir doğrultuda bir eleman gözönüne alınarak tesir fonksiyonlarının o doğrultu üzerindeki integrasyonundan elde edilmesi gereklidir.

İzotrop ortam için direk integrasyon sonuçlarını herhangi bir doğrultuda yazmak sonucu değiştirmemektedir. Buna göre  $(x, y)$  global koordinatlar olmak üzere koordinat dönüşümleri



Şekil 3.7. Sonsuz düzlemede kapalı bölge.

$$\begin{aligned}\bar{x} &= (x^i - x^j) \cos \beta + (y^i - y^j) \sin \beta \\ \bar{y} &= -(x^i - x^j) \sin \beta + (y^i - y^j) \cos \beta\end{aligned}\quad (3.26)$$

şeklinde yazılabilir. Bu doğrultudaki yer değiştirme ve gerilme bileşenleri ise

$$\begin{aligned}\bar{u}_x &= \bar{\phi}_x \bar{g}_{xx} + \bar{\phi}_y \bar{g}_{xy} \\ \bar{u}_y &= \bar{\phi}_x \bar{g}_{yx} + \bar{\phi}_y \bar{g}_{yy}\end{aligned}\quad (3.27)$$

$$\begin{aligned}\bar{\sigma}_{xx} &= \bar{\phi}_x \bar{f}_{xxx} + \bar{\phi}_y \bar{f}_{xxy} \\ \bar{\sigma}_{yy} &= \bar{\phi}_x \bar{f}_{yyx} + \bar{\phi}_y \bar{f}_{yyy} \\ \bar{\sigma}_{xy} &= \bar{\phi}_x \bar{f}_{xyx} + \bar{\phi}_y \bar{f}_{xyy}\end{aligned}\tag{3.28}$$

şeklinde lokal koordinatlar cinsinden yazılabılır. Lokal koordinatlardaki yer değiştirme ve gerilme bileşenleri ise global koordinatlar cinsinden

$$\begin{aligned}\bar{u}_x &= u_x \cos \beta + u_y \sin \beta \\ \bar{u}_y &= -u_x \sin \beta + u_y \cos \beta\end{aligned}\tag{3.29}$$

$$\begin{aligned}\bar{\sigma}_{xx} &= \sigma_{xx} \cos^2 \beta + 2\sigma_{xy} \sin \beta \cos \beta + \sigma_{yy} \sin^2 \beta \\ \bar{\sigma}_{yy} &= \sigma_{xx} \sin^2 \beta - 2\sigma_{xy} \sin \beta \cos \beta + \sigma_{yy} \cos^2 \beta \\ \bar{\sigma}_{xy} &= -(\sigma_{xx} - \sigma_{yy}) \sin \beta \cos \beta + \sigma_{xy} (\cos^2 \beta - \sin^2 \beta)\end{aligned}\tag{3.30}$$

şeklinde yazılabılır. Herhangi bir lokal koordinatlardaki  $(\bar{x}', \bar{y}')$  (Şekil 3.7.) yer değiştirme ve gerilme bileşenleri  $(\bar{x}, \bar{y})$  lokal koordinat sistemindeki değerleri cinsinden

$$\begin{aligned}\bar{u}'_x &= \bar{u}_x \cos \alpha + \bar{u}_y \sin \alpha \\ \bar{u}'_y &= -\bar{u}_x \sin \alpha + \bar{u}_y \cos \alpha\end{aligned}\tag{3.31}$$

$$\bar{\sigma}'_{xx} = \bar{\sigma}_{xx} \cos^2 \alpha - 2\bar{\sigma}_{xy} \sin \alpha \cos \alpha + \bar{\sigma}_{yy} \sin^2 \alpha$$

$$\bar{\sigma}'_{yy} = \bar{\sigma}_{xx} \sin^2 \alpha + 2\bar{\sigma}_{xy} \sin \alpha \cos \alpha + \bar{\sigma}_{yy} \cos^2 \alpha \quad (3.32)$$

$$\bar{\sigma}'_{xy} = (\bar{\sigma}_{xx} - \bar{\sigma}_{yy}) \sin \alpha \cos \alpha + \bar{\sigma}_{xy} (\cos^2 \alpha - \sin^2 \alpha)$$

olarak elde edilir. Burada  $\alpha = \beta^i - \beta^j$  ve  $(s, n)$  herhangi bir lokal koordinat sistemi olmak üzere,  $\bar{u}'_x = u_s^i$ ,  $\bar{u}'_y = u_n^i$ ,  $\bar{\sigma}'_{xy} = \sigma_s^i$ ,  $\bar{\sigma}'_{yy} = \sigma_n^i$ ,  $\bar{\phi}_x = \phi_s^i$  ve  $\bar{\phi}_y = \phi_n^i$  tanımları yapılrsa herhangi bir  $i$  noktasında lokal koordinatlarda yer değiştirme ve gerilme bileşenleri

$$\begin{aligned} u_s^i &= \phi_s^j B_{ss}^{ij} + \phi_n^j B_{sn}^{ij} \\ u_n^i &= \phi_s^j B_{ns}^{ij} + \phi_n^j B_{nn}^{ij} \end{aligned} \quad (3.33)$$

$$\begin{aligned} \sigma_s^i &= \phi_s^j A_{ss}^{ij} + \phi_n^j A_{sn}^{ij} \\ \sigma_n^i &= \phi_s^j A_{ns}^{ij} + \phi_n^j A_{nn}^{ij} \end{aligned} \quad (3.34)$$

şeklinde elde edilirler. Burada  $s$  ve  $n$  lokal koordinatlar olmak üzere,  $A_{ss}^{ij}$  ve  $B_{ss}^{ij}$  vs. tesir fonksiyonları fiktif gerilme yönteminde (3.7) eşitliklerinin, yer değiştirme süreksizliği yönteminde (3.25) eşitliklerinin lokal koordinatlarda  $(-\alpha, \alpha)$  aralığındaki integrasyon sonuçları olup her iki yöntem için genel olarak

$$\begin{aligned} A_{ss}^{ij} &= (\bar{f}_{xxx} - \bar{f}_{yyx}) \sin \alpha \cos \alpha - \bar{f}_{xyx} (\cos^2 \alpha - \sin^2 \alpha) \\ A_{sn}^{ij} &= (\bar{f}_{xxy} - \bar{f}_{yyy}) \sin \alpha \cos \alpha - \bar{f}_{xyy} (\cos^2 \alpha - \sin^2 \alpha) \\ A_{ns}^{ij} &= \bar{f}_{xxx} \cos^2 \alpha + 2\bar{f}_{xyx} \sin \alpha \cos \alpha + \bar{f}_{yyy} \sin^2 \alpha \\ A_{nn}^{ij} &= \bar{f}_{xxy} \cos^2 \alpha + 2\bar{f}_{xyy} \sin \alpha \cos \alpha + \bar{f}_{yyy} \sin^2 \alpha \end{aligned} \quad (3.35)$$

$$B_{ss}^{ij} = \bar{g}_{xx} \cos \alpha + \bar{g}_{yx} \sin \alpha$$

$$B_{sn}^{ij} = \bar{g}_{xy} \cos \alpha + \bar{g}_{yy} \sin \alpha \quad (3.36)$$

$$B_{ns}^{ij} = -\bar{g}_{xx} \sin \alpha + \bar{g}_{yx} \cos \alpha$$

$$B_{nn}^{ij} = -\bar{g}_{xy} \sin \alpha + \bar{g}_{yy} \cos \alpha$$

bağıntılarından elde edilirler. (3.33) ve (3.34) eşitlikleri  $j=1, \dots, N$  elemanları için hesaplanarak süperpozisyon yapılrsa

$$\sigma_s^i = \sum_{j=1}^N A_{ss}^{ij} \phi_s^j + \sum_{j=1}^N A_{sn}^{ij} \phi_n^j \quad (3.37)$$

$$\sigma_n^i = \sum_{j=1}^N A_{ns}^{ij} \phi_s^j + \sum_{j=1}^N A_{nn}^{ij} \phi_n^j$$

$$u_s^i = \sum_{j=1}^N B_{ss}^{ij} \phi_s^j + \sum_{j=1}^N B_{sn}^{ij} \phi_n^j \quad (3.38)$$

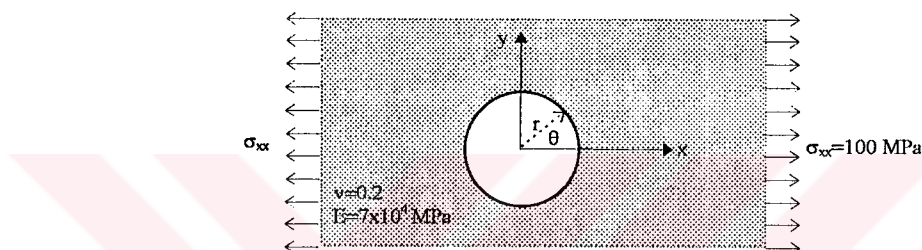
$$u_n^i = \sum_{j=1}^N B_{ns}^{ij} \phi_s^j + \sum_{j=1}^N B_{nn}^{ij} \phi_n^j$$

Şeklinde  $2N$  tane lineer denklem takımı elde edilir. Bu denklem takımlarının verilen sınır koşulları altında çözülmesiyle sınırdaki fiktif değerler elde edilir. Daha sonra bu fiktif değerler kullanılarak, bölgede ve sınırlardaki gerilmeler ve yer değiştirmeler hesaplanır. Buradaki fiktif değerler; fiktif gerilme yöntemi için fiktif kuvvetler iken yer değiştirme süreksizliği yöntemi için yer değiştirme süreksizlikleridir.

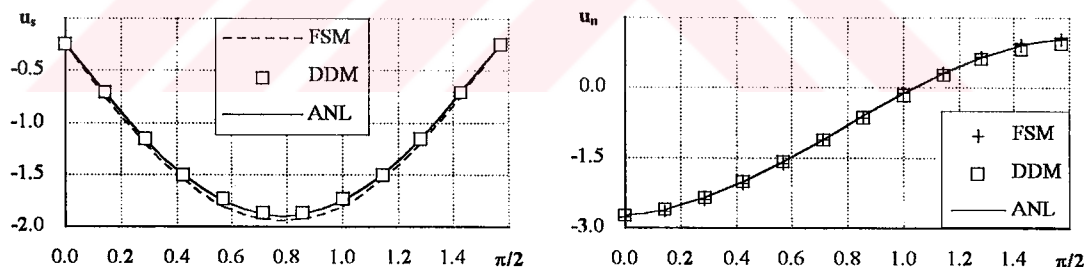
### 3.3. SAYISAL ÖRNEKLER

#### 3.3.1. Sonsuz Düzlemden Dairesel Boşluk

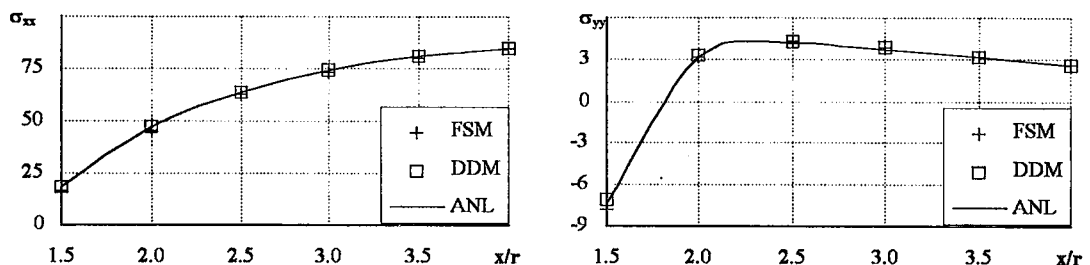
Bu örnekte sonsuzda eksenel yük (Şekil 3.8) ve hidrostatik iç basıncı (Şekil 3.13) etkisinde sonsuz düzlemden dairesel boşluk problemi incelenmiştir. Her iki örnek te de  $1/4$  daire parçası gözönüne alınarak sınır  $12$  eşit ve doğrusal elemanlara bölünmüştür. Burada *FSM*: Fiktif gerilme yöntemi ile *DDM*: Yer değiştirmeye süreksizliği yöntemiyle *ANL*: Analitik olarak hesaplanan değerlerdir.



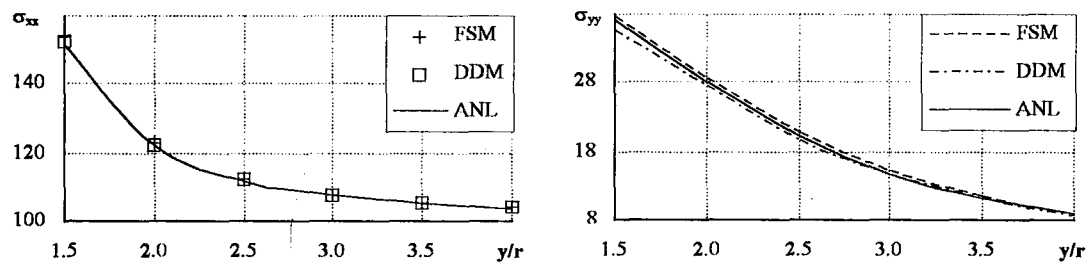
Şekil 3.8. Sonsuz düzlemden dairesel boşluk.



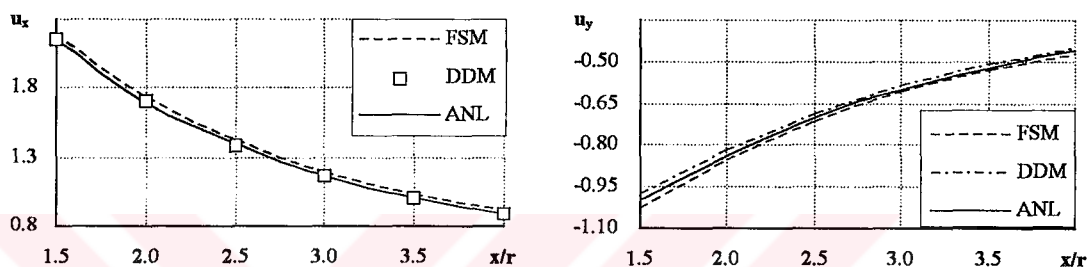
Şekil 3.9. Boşluk sınırında teğetsel ve normal doğrultudaki yer değiştirmeler.



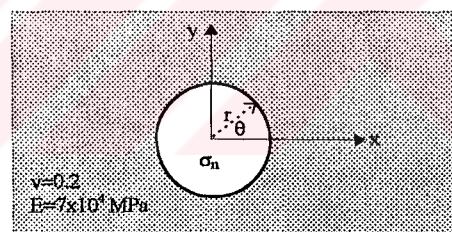
Şekil 3.10.  $x$  ekseni üzerinde  $\sigma_{xx}$  ve  $\sigma_{yy}$  gerilimleri.



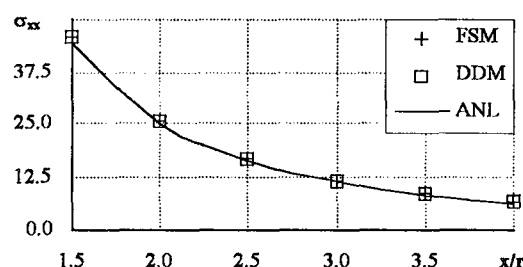
Şekil 3.11.  $y$  ekseni üzerinde  $\sigma_{xx}$  ve  $\sigma_{yy}$  gerilmeleri.



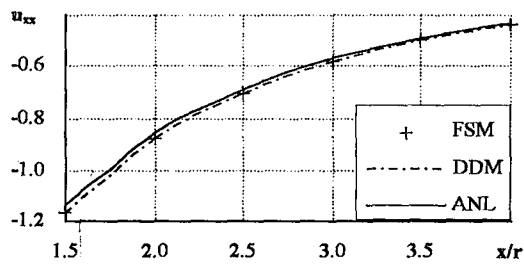
Şekil 3.12.  $x$  ekseni üzerinde  $u_x$  ve  $u_y$  yer değiştirmeleri.



Şekil 3.13.  $\sigma_n=100$  MPa iç basınç etkisi altındaki sonsuz düzlemede dairesel boşluk.



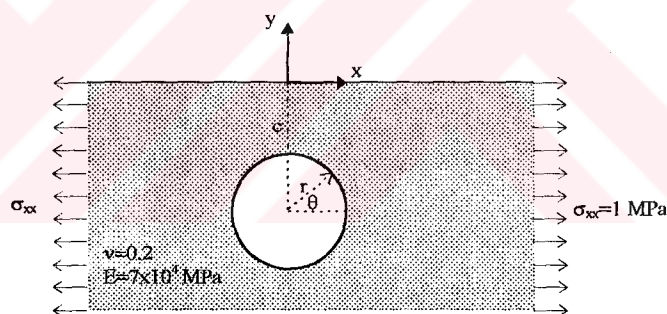
Şekil 3.14.  $x$  ekseni üzerinde  $\sigma_{xx}$  gerilmesi.



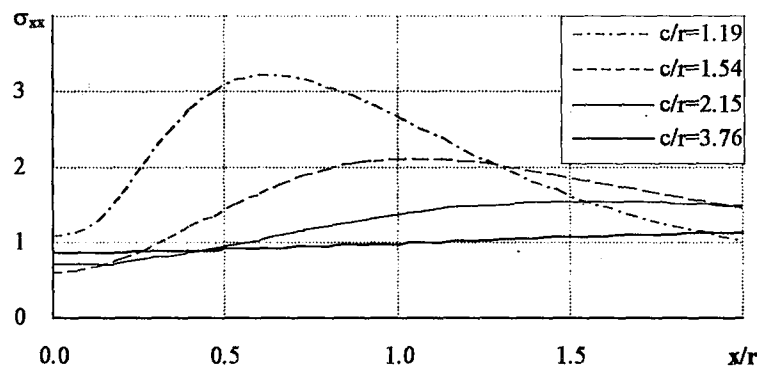
Şekil 3.15.  $x$  ekseni üzerinde  $u_x$  yer değiştirmesi.

### 3.3.2. Yarı -Sonsuz Düzlemde Dairesel Boşluk

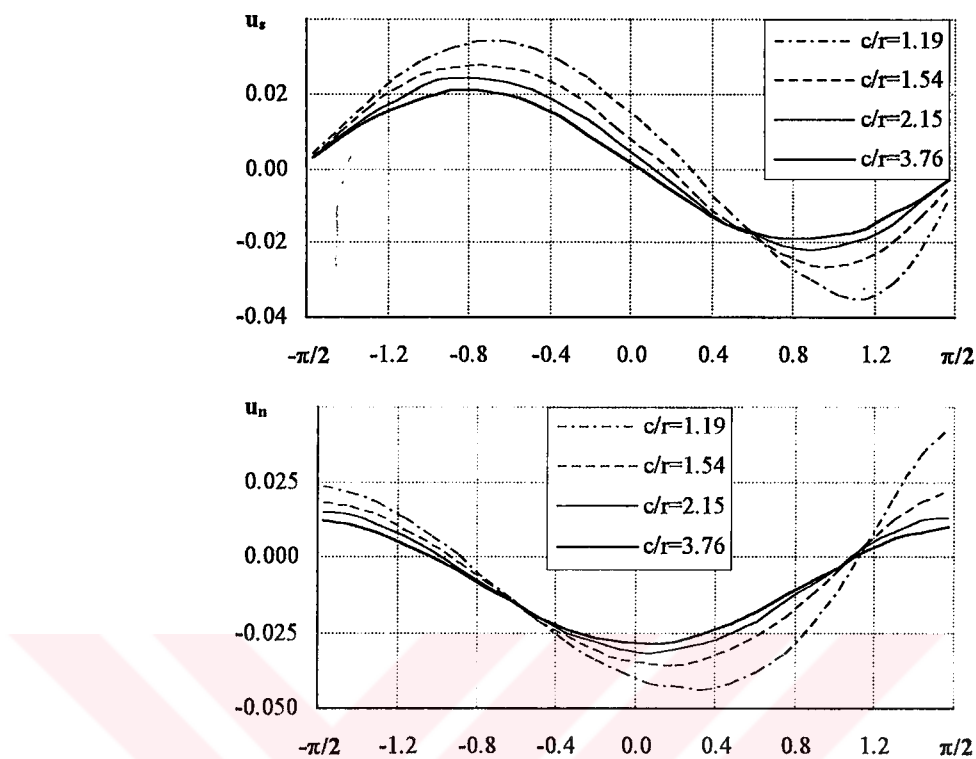
Şekil 3.16'da görülen yarı-sonsuz düzlemede yükleme durumu verilen dairesel boşlukta, dairenin  $1/2$  parçası alınarak 24 eşit elamana bölünmüş olup  $c/r$  oranları için yüzeydeki  $\sigma_{xx}$  değerleri ve boşluğun yüzeyindeki yer değiştirmeler  $DDM$  ile incelenmiştir.



Şekil 3.16. Yarı-sonsuz düzlemede dairesel boşluk.



Şekil 3.17.  $x$  ekseni üzerinde  $\sigma_{xx}$  gerilmeleri.

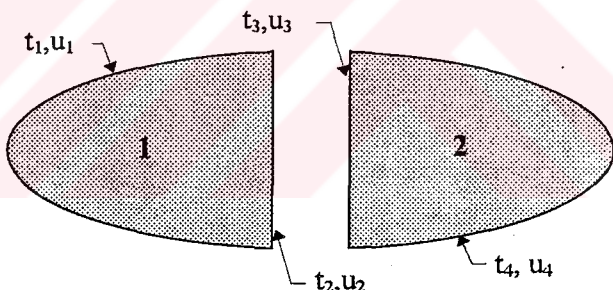


Şekil 3.18. Boşluk sınırında yer değiştirmeler.

## BÖLÜM 4. İNDİREKT SINIR ELEMANLARDA ÖZEL UYGULAMALAR

### 4.1. İKİ MALZEMELİ BÖLGE

Bu bölümde iki malzemeli bölgede indirekt sınır eleman yöntemi çözümleri incelenecaktır. Bu amaçla Şekil. 4.1'de görüldüğü gibi iki alt bölgeden oluşan bir cisim gözönüne alınarak, malzeme her iki bölgede de homojen, izotrop ve lineer elastik olarak kabul edilmiştir. Genel olarak sınırlarda yazılan sınır eleman denklemlerine ek olarak ara yüzeydeki süreklilik koşulları kullanılarak sınır eleman denklemleri elde edilmektedir.



Şekil 4.1. İki malzemeli bölge

Ara yüzeydeki süreklilik koşulları

i ) uygunluk koşulu

$$u_2 - u_3 = 0 \quad (4.1)$$

ii ) ve denge koşulu

$$t_2 + t_3 = 0 \quad (4.2)$$

olmak üzere iki denklemden ibarettir. Sınır eleman denklemleri ise "1" indisi birinci bölge ve "2" indisi ikinci bölge olmak üzere

$$\begin{bmatrix} T_{11} & T_{12} & 0 & 0 \\ T_{21} & T_{22} & 0 & 0 \\ 0 & 0 & T_{33} & T_{34} \\ 0 & 0 & T_{43} & T_{44} \end{bmatrix} \begin{Bmatrix} u_1 \\ u_2 \\ u_3 \\ u_4 \end{Bmatrix} = \begin{bmatrix} U_{11} & U_{12} & 0 & 0 \\ U_{21} & U_{22} & 0 & 0 \\ 0 & 0 & U_{33} & U_{34} \\ 0 & 0 & U_{43} & U_{44} \end{bmatrix} \begin{Bmatrix} t_1 \\ t_2 \\ t_3 \\ t_4 \end{Bmatrix} \quad (4.3)$$

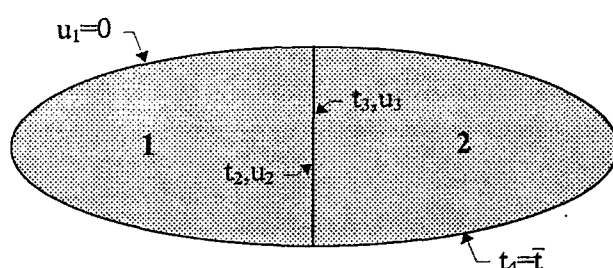
şeklinde yazılabilirler. (4.1) ve (4.2) koşulları uygulandıktan sonra (4.3) eşitliği :

$$\begin{bmatrix} T_{11} & T_{12} & 0 \\ T_{21} & T_{22} & 0 \\ 0 & T_{33} & T_{34} \\ 0 & T_{43} & T_{44} \end{bmatrix} \begin{Bmatrix} u_1 \\ u_2 \\ u_3 \\ u_4 \end{Bmatrix} = \begin{bmatrix} U_{11} & U_{12} & 0 \\ U_{21} & U_{22} & 0 \\ 0 & -U_{33} & U_{34} \\ 0 & -U_{43} & U_{44} \end{bmatrix} \begin{Bmatrix} t_1 \\ t_2 \\ t_3 \\ t_4 \end{Bmatrix} \quad (4.4)$$

şekline dönüşür. Örnek olarak, sınır koşulları Şekil 4.2'de tanımladığı gibi bir problem göz önüne alındığı takdirde, bilinmeyenler  $u_2$ ,  $u_4$ ,  $t_1$  ve  $t_2$  olmak üzere (4.4) denklemi

$$\begin{bmatrix} T_{12} & -U_{12} & 0 & -U_{11} \\ T_{22} & -U_{22} & 0 & -U_{21} \\ T_{33} & U_{33} & T_{34} & 0 \\ T_{43} & U_{43} & T_{44} & 0 \end{bmatrix} \begin{Bmatrix} u_2 \\ t_2 \\ u_4 \\ t_1 \end{Bmatrix} = \begin{Bmatrix} 0 \\ 0 \\ U_{34} \\ U_{44} \end{Bmatrix} \quad (4.5)$$

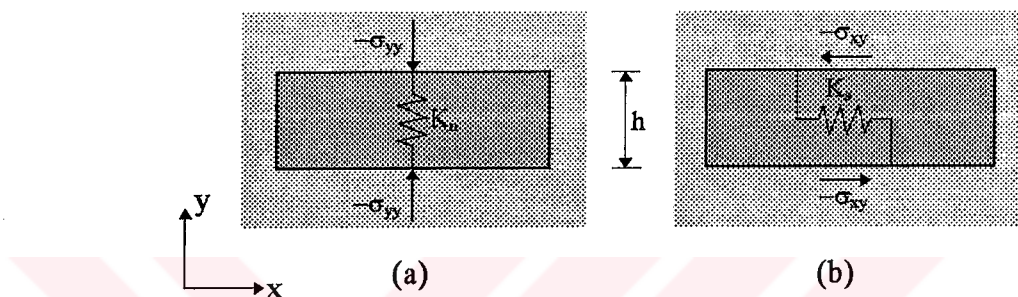
şeklinde yazılabilir. Bu lineer denklem sisteminin çözülmesiyle sınırdaki ve ara yüzeydeki bilinmeyenler elde edilir.



Şekil 4.2. İki malzemeli bölgede sınır koşulları

## 4.2. DEĞME ELEMAN

Bir değme elemanı, sıkışabilir elastik malzeme ile dolu olan uzun bir çat�ak olarak düşünülebilir. Ayrıca değme elemanı, karşılıklı iki yüzey arasında yay katsayıları  $K_n$  ve  $K_s$  olan, yer değiştirme süreksızlıklarıyla modellenebilirler. Şekil 4.3.



Şekil 4.3. Değme elemanı.

Bunun için küçük yer değiştirmeler varsayımlı ile (2.19) yer değiştirme şekil değiştirme bağıntısı bir değme elemanı için

$$\varepsilon_{yy} = \frac{\partial u_y}{\partial y} \quad \varepsilon_{xy} = \frac{1}{2} \left( \frac{\partial u_x}{\partial y} + \frac{\partial u_y}{\partial x} \right) \quad (4.6)$$

şeklinde yazılır. Burada  $x$  yönündeki sıkışmanın sabit olduğu ( $\partial u_y / \partial x = 0$ ) kabul edilirse bu eşitlikler, sonlu fark şeklinde ise

$$\begin{aligned} \varepsilon_{yy} &= \frac{u_y(x, h/2) - u_y(x, -h/2)}{h} \\ \varepsilon_{xy} &= \frac{u_x(x, h/2) - u_x(x, -h/2)}{2h} \end{aligned} \quad (4.7)$$

olarak yazılabilir. Değme elemandaki yer değiştirme süreksızlıklar

$$\begin{aligned} D_x &= u_x(x, 0_-) - u_x(x, 0_+) \\ D_y &= u_y(x, 0_-) - u_y(x, 0_+) \end{aligned} \quad (4.8)$$

olarak yazılabilen için (4.7) ifadeleri yer değiştirme süreksizlikleri cinsinden

$$\varepsilon_{yy} = -\frac{D_y}{h} \quad \varepsilon_{xy} = -\frac{D_x}{2h} \quad (4.9)$$

şeklinde yazılabilir. Burada *değme elemanın malzemesinin elastisite modülü*  $E_0$  kayma modülü  $G_0$  olmak üzere gerilme bileşenleri

$$\begin{aligned} \sigma_{yy} &= E_0 \varepsilon_{yy} = -E_0 \frac{D_y}{h} \\ \sigma_{xy} &= 2G_0 \varepsilon_{xy} = -G_0 \frac{D_x}{h} \end{aligned} \quad (4.10)$$

şeklinde yer değiştirme süreksizlikleri cinsinden elde edilirler. *Değme elemanın yay katsayıları*

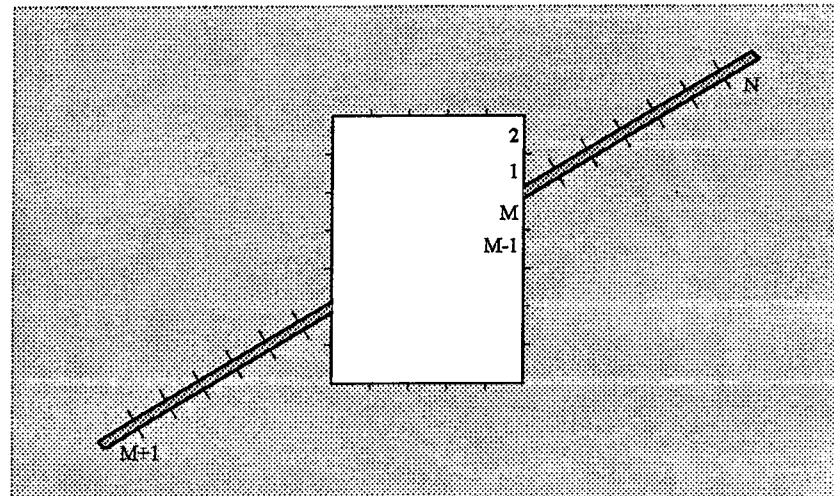
$$K_n = \frac{E_0}{h} \quad K_s = \frac{G_0}{h} \quad (4.11)$$

olarak kabul edilirse (4.10) ifadesindeki gerilme bileşenleri,  $(s, n)$  lokal koordinat sisteminde

$$\sigma_n = -K_n D_n \quad \sigma_s = -K_s D_s \quad (4.12)$$

şeklinde *değme elemanın gerilmeleri* elde edilir.

*Sayısal Hesap Yöntemi:* Şekil 4.4'de görüldüğü gibi bir boşluk ve fayın şematik gösteriminden oluşan bir sistem bu çalışmada incelenmiştir.



Şekil 4.4. Sonsuz düzlemede boşluk ve fayın şematik gösterimi

Burada  $M$  adet fiktif gerilme elemanı boşluk yüzeyinde,  $N-M$  adet değme eleman çatınlarda olmak üzere sınır eleman denklemleri aşağıda verilmiştir. Boşluk serbest yüzeylerinde herhangi bir elemanda  $(\sigma_s^i)_0$  ve  $(\sigma_n^i)_0$  sınır koşulları olmak üzere

$$-(\sigma_s^i)_0 = \sum_{j=1}^N (A_{ss}^{ij} \phi_s^j + A_{sn}^{ij} \phi_n^j) \quad 1 \leq i \leq M \quad (4.13)$$

$$-(\sigma_n^i)_0 = \sum_{j=1}^N (A_{ns}^{ij} \phi_s^j + A_{nn}^{ij} \phi_n^j) \quad 1 \leq i \leq M$$

$2M$  adet denklem sistemi elde edilir. Çatılar serbest yüzeylerinde ise

$$0 = K_s^i \phi_s^i + \sum_{j=1}^N (A_{ss}^{ij} \phi_s^j + A_{sn}^{ij} \phi_n^j) \quad M+1 \leq i \leq N \quad (4.14)$$

$$0 = K_n^i \phi_n^i + \sum_{j=1}^N (A_{ns}^{ij} \phi_s^j + A_{nn}^{ij} \phi_n^j) \quad M+1 \leq i \leq N$$

$2(N-M)$  adet denklem sistemi elde edilir. Bu iki denklem sistemi çözülmektedir.  $\phi_s^i$  ve  $\phi_n^i$  bilinmeyenleri hesaplanır. Burada  $A_{ss}^{ij}$  vs. katsayıları  $1 \leq j \leq M$  durumunda fiktif gerilme (yer değiştirme süreksizliği) yönteminden,  $M+1 \leq j \leq N$  durumunda yer değiştirme süreksizlikleri yönteminden elde edilirler. Ayrıca fiktif gerilme bilinmeyenleri  $1 \leq j \leq M$  için  $\phi_s^j = P_s^j$  ve  $\phi_n^j = P_n^j$  olur. Yer değiştirme süreksizliği bilinmeyenleri ise  $M+1 \leq j \leq N$  için  $\phi_s^j = D_s^j$  ve  $\phi_n^j = D_n^j$  olur.

#### 4.3. MOHR-COULOMB ELEMANI

Değme elemanda elemanın içi lineer elastik malzemeyle dolu olduğu düşünülmüştür. Bu bölümde ise inelastik şekil değiştirme yapan malzeme ile dolu olduğu düşünülerek kayma gerilmesi ile normal gerilme arasında Mohr-Coulomb hipotezi

$$|\sigma_s| \leq c + (-\sigma_n) \tan \mu \quad (4.15)$$

olarak gözönüne alınmıştır. Burada  $c$ , değme elemanın içindeki malzemenin kohezyon katsayısı ve  $\mu$  sürtünme açısıdır.

Bu bölümde başlangıçta sınırdaki gerilmeler sıfır alınarak yük artımı yöntemi kullanılmıştır. Bunun için  $k$  adım numarası ve  $K$  adım sayısı olmak üzere Mohr-Coulomb elemanında hesaplanan yüzey gerilmesi

$$t'_i = -k \Delta(t_i)_0 = -k(t_i)_0 / K \quad (4.16)$$

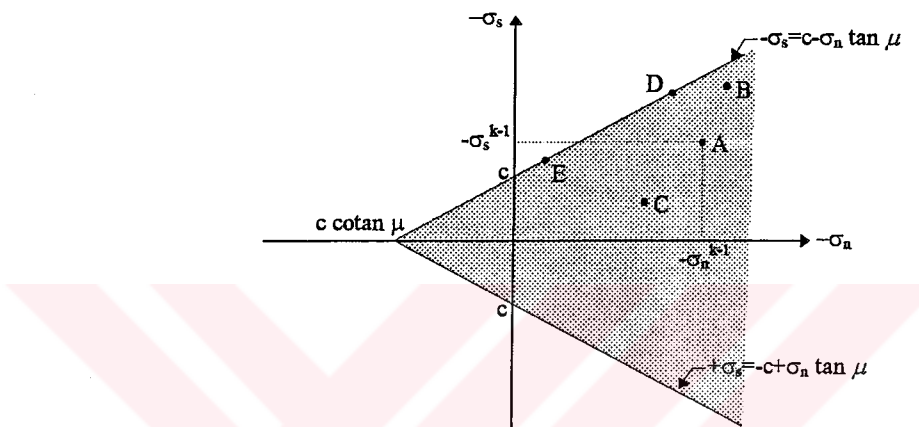
ve toplam gerilme

$$t_i = (t_i)_0 + t'_i = (t_i)_0 (1 - k / K) \quad (4.17)$$

şeklinde yazılabilir. Son adım için  $k=K$  olması durumunda  $t_i=0$  olur. Buna göre (4.13) eşitlikleri  $k$  adımında tünel serbest yüzeyindeki elemanlar için

$$\left. \begin{aligned} \frac{-k}{K} (\sigma_s^i)_0 &= \sum_{j=1}^N \left( A_{ss}^{ij} \phi_s^{j(k)} + A_{sn}^{ij} \phi_n^{j(k)} \right) \\ \frac{-k}{K} (\sigma_n^i)_0 &= \sum_{j=1}^N \left( A_{ns}^{ij} \phi_s^{j(k)} + A_{nn}^{ij} \phi_n^{j(k)} \right) \end{aligned} \right\} \quad 1 \leq j \leq M \quad (4.18)$$

denklem sistemi, değme elemandaki denklemlerde ise (4.14) eşitlikleri kullanılır.



Şekil 4.5. Farklı gerilme durumları için Mohr-Coulomb elemanın davranışı

Değme elemandaki kayma durumu Şekil 4.5. de görüldüğü gibi, eğer  $k-1$ . ve önceki adımlarda herhangi bir inelastik durum yoksa gerilme durumu  $A$  noktasındadır. Bir sonraki yük adımda yükün artması veya azaltılması durumunda gerilme durumu  $B$  ve  $C$  noktalarına gelir.  $D$  ve  $E$  noktalarında göçme ve kayma gibi iki durum söz konusu olup;  $D$  noktasında hesaplanan basınç gerilmesi bir önceki adımdan büyüktür ve göçme vardır,  $E$  noktasında ise basınç gerilmesi bir önceki adıma göre azalmasıyla kayma oluşmaktadır.

Mohr-Coulomb elemanında herhangi bir  $k$ . adımdaki normal ve kayma gerilmeleri

$$\sigma_n^{i(k)} = (\sigma_n^i)_0 + \sum_{j=1}^N \left( A_{ns}^{ij} \phi_s^{j(k)} + A_{nn}^{ij} \phi_n^{j(k)} \right) \quad (4.19)$$

$$\sigma_s^{i(k)} = (\sigma_s^i)_0 + \sum_{j=1}^N \left( A_{ss}^{ij} \phi_s^{j(k)} + A_{sn}^{ij} \phi_n^{j(k)} \right)$$

şeklinde olup (4.15) eşitliğinden bu adımdaki Mohr-Coulomb hipotezi

$$\sigma_s^{*i(k)} = c^i - \sigma_n^{i(k)} \tan \mu^i \quad (4.20)$$

şeklinde yazılıarak hesaplanan kayma gerilmesi  $|\sigma_s^{i(k)}| \leq \sigma_s^{*i(k)}$  koşulunu sağlamalıdır.

Bunun için gerilmelere

$$\sigma_s^{i(k)} = \sigma_s^{i(k-1)} + \Delta \sigma_s^{i(k)} \quad (4.21)$$

şeklinde yükleme veya boşaltma yapılır. Burada söz konusu adımdaki gerilme farkı yer değiştirme süreksizliğine bağlı olarak

$$\Delta \sigma_s^{i(k)} = -K_s^i \left( \phi_s^{i(k)} - \phi_s^{i(k-1)} \right) \quad (4.22)$$

şeklinde hesaplanabilir. Buna göre (4.19), (4.21) ve (4.22) bağıntıları kullanılarak sınır koşulu bir önceki adım cinsinden (4.14) denklemlerinden birincisi

$$\sigma_s^{i(k-1)} + K_s^i \phi_s^{i(k-1)} - (\sigma_s^i)_0 = K_s^i \phi_s^{i(k)} + \sum_{j=1}^N \left( A_{ss}^{ij} \phi_s^{j(k)} + A_{sn}^{ij} \phi_n^{j(k)} \right) \quad (4.23)$$

şeklinde yazılabilir. Eğer  $|\sigma_s^{i(k)}| > \sigma_s^{*i(k)}$  ise bu denklem yerine

$$\pm \sigma_s^{*i(k)} - (\sigma_s^i)_0 = \sum_{j=1}^N \left( A_{ss}^{ij} \phi_s^{j(k)} + A_{sn}^{ij} \phi_n^{j(k)} \right) \quad (4.24)$$

denklemi kullanılır. Mohr-Coulomb elemanlarında herhangi bir  $k$ . yükleme durumunda normal gerilmeler (4.14) eşitliğinden

$$0 = K_n^i \phi_n^{i(k)} + \sum_{j=1}^N \left( A_{ns}^{ij} \phi_s^{j(k)} + A_{nn}^{ij} \phi_n^{j(k)} \right) \quad (4.25)$$

olarak kullanılır.

Eğer bir Mohr-Coulomb elemanında hesaplanan normal gerilmeler  $\sigma_n^i > c^i \cot \alpha \mu^i$  ise çekme çatlağı vardır ve bu durumda (4.23), (4.24) ve (4.25) denklemleri yerine

$$\begin{aligned} -(\sigma_s^i)_0 &= \sum_{j=1}^N \left( A_{ss}^{ij} \phi_s^{j(k)} + A_{sn}^{ij} \phi_n^{j(k)} \right) \\ -(\sigma_n^i)_0 &= \sum_{j=1}^N \left( A_{ns}^{ij} \phi_s^{j(k)} + A_{nn}^{ij} \phi_n^{j(k)} \right) \end{aligned} \quad (4.26)$$

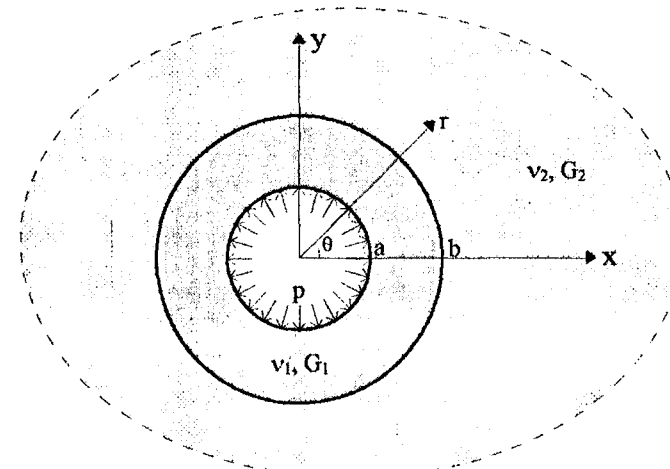
denklemleri kullanılır.

#### 4.4. SAYISAL ÖRNEKLER

##### 4.4.1. Sonsuz Düzlemden İki Malzemeli Bölge

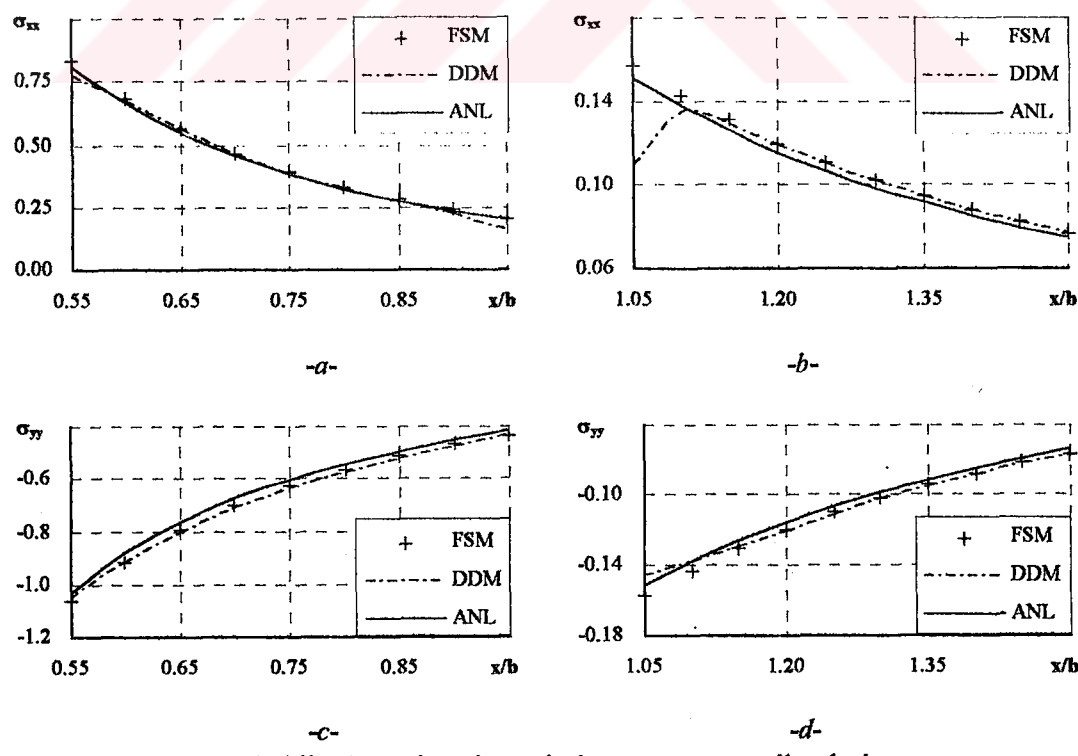
Homojen olmayan elastik bir cisim için bir sınır değer problemine basit bir örnek olarak bir düzlem cismin içinde farklı malzemededen yapılmış, iç basınç etkisindeki bir cisim göz önüne alınacaktır (Şekil 4.6). Burada sayısal değerler  $a/b=1/2$ ,  $\nu_1=\nu_2=0.25$ ,  $G_1/G_2=2$  ve  $P/G_1=10^3$  olmak üzere kaynak [1]'den alınmıştır.

Bu problemin çözümü  $r=b$  ara yüzeyinde yer değiştirme ve radyal gerilmelerin sürekliliğini gerçekleyen biçimde kalın silindirler için geçerli olan analitik formüller yardımıyla ve FSM ile kaynak [1]'de çözülmüştür.

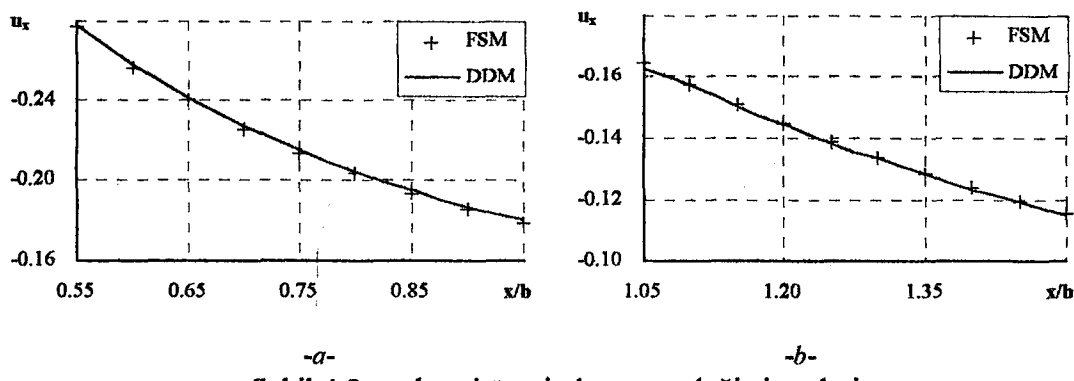


Şekil 4.6. İç basınç etkisi altında iki malzemeli bölge.

Bu çalışmada ise aynı problem yer değiştirme süreksizliği yöntemiyle çözülmüştür. (4.4) bağıntıları kullanılarak  $1/4$  daire üzerinde,  $r=a$  dairesel sınırında 12 eleman ve  $r=b$  sınırında 24 eleman alınarak sonuçlar elde edilmiştir. [1]'de verilen sonuçlar, analitik sonuçlar ve bu çalışmada sonuçlar Şekil 4.7-8'de karşılaştırılmıştır.



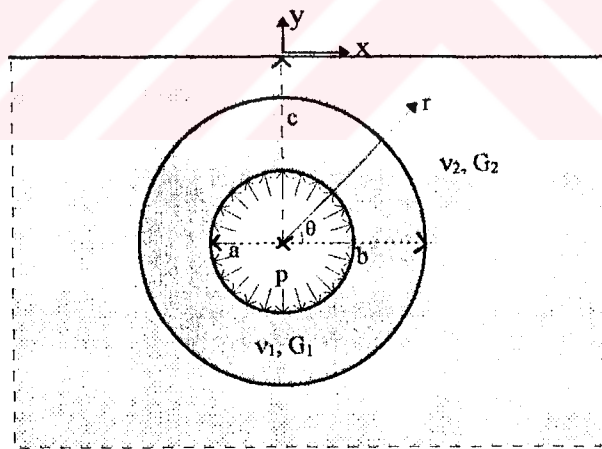
Şekil 4.7.  $x$  ekseni üzerinde  $\sigma_{xx}$  ve  $\sigma_{yy}$  gerilmeleri.



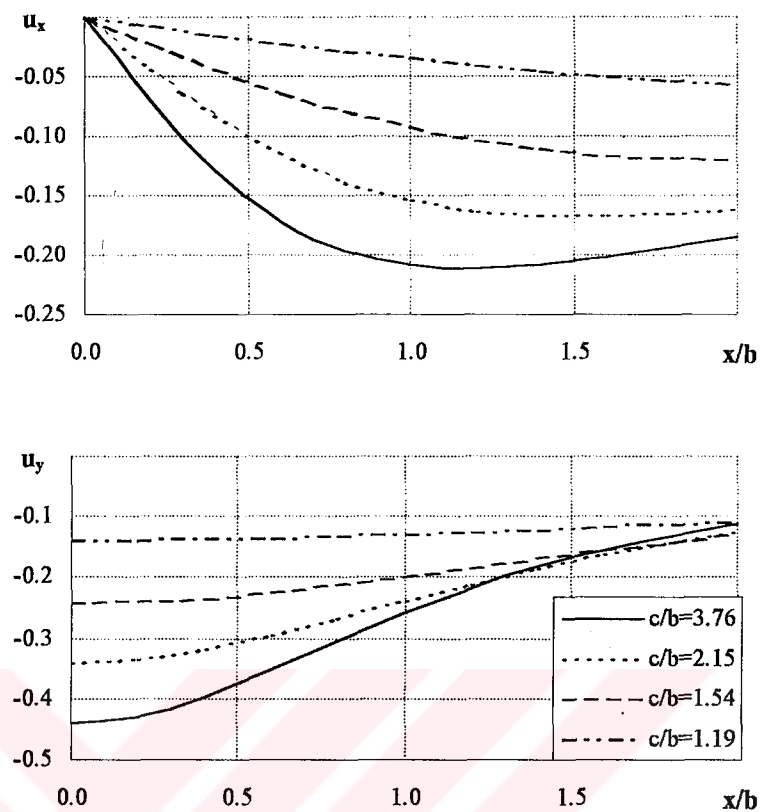
Şekil 4.8.  $x$  ekseni üzerinde  $u_x$  yer değiştirmeleri.

#### 4.4.2. Yarı-Sonsuz Düzlemede İki Malzemeli Bölge

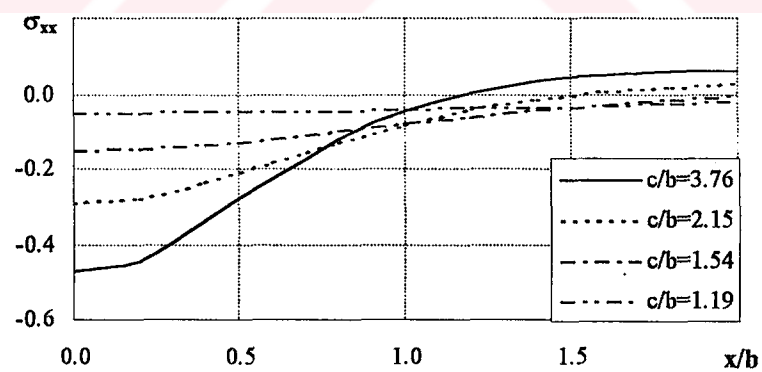
Bölüm 4.4.1. deki sayısal örnek, yarı sonsuz düzlemede çeşitli  $c/b$  oranları için DDM ile aşağıda incelenmiştir. Sistem, yükleme ve geometri bakımından  $y$  eksenine göre simetrik olduğundan  $1/2$  daire parçası üzerinde,  $r=a$  sınırında 24 eleman ve  $r=b$  sınırında 48 eleman alınarak hesap yapılmış ve sonuçlar Şekil 4.10-11'de verilmiştir.



Şekil 4.9. Yarı-sonsuz düzlemede, iç basınç etkisi altında iki malzemeli bölge.



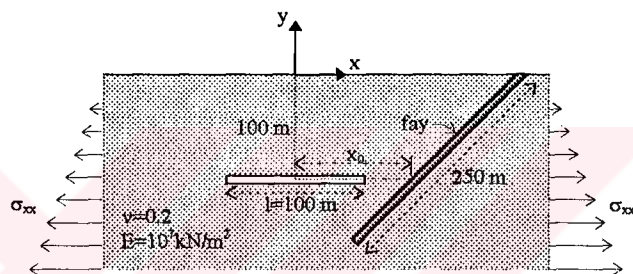
Şekil 4.10.  $x$  ekseni üzerinde  $u_x$  ve  $u_y$  yer değiştirmeleri.



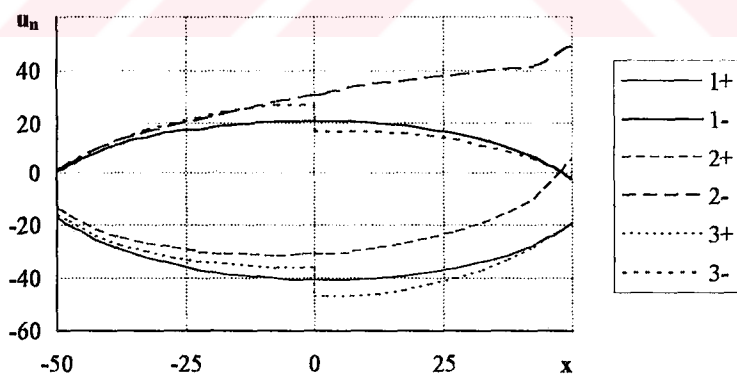
Şekil 4.11  $x$  ekseni üzerinde  $\sigma_{xx}$  gerilmeleri.

#### **4.4.3. Yarı-sonsuz Düzlemden Çatlak Fay Etkileşimi**

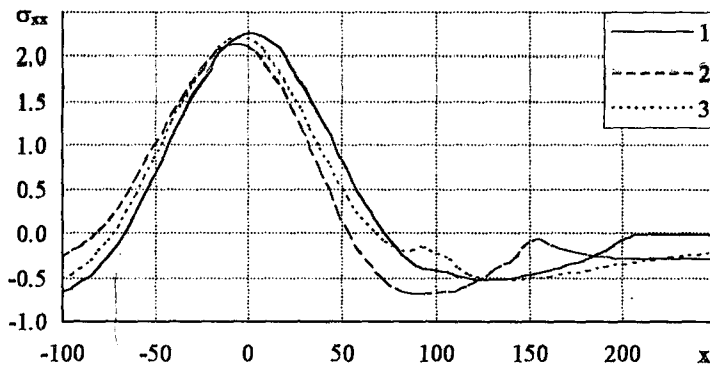
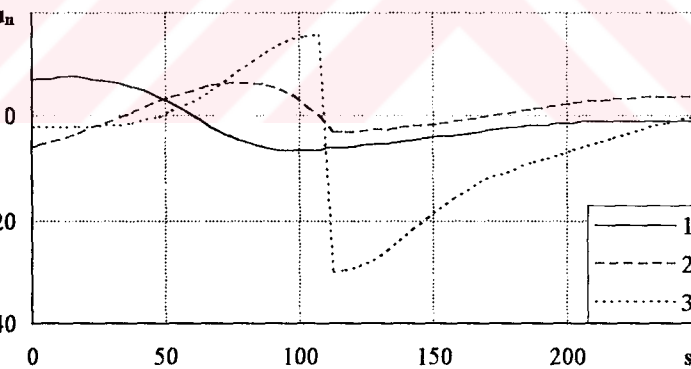
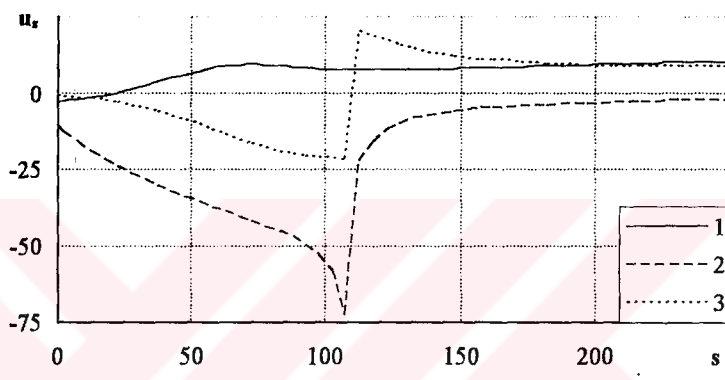
Sayısal örnek olarak yarı-sonsuz düzlemede bir çatıla ve yüzeyle  $45^\circ$  lik açı yapan bir fay hattı gözönüne alınmıştır. Yükleme durumu derinlikle lineer değişken olarak  $\sigma_{xx} = \sigma_{yy} = -\gamma y$  ve  $\sigma_{xy} = 0$  şeklinde gözönüne alınmış, fay hattındaki yay katsayıları ise  $K_s = 0$ ,  $K_n = 10^{10} \text{ kN/m}^2/\text{m}$  olarak kabül edilmiştir. Burada  $\gamma$  malzemenin birim hacim ağırlığı  $25 \text{ kN/m}^3$  olarak alınmıştır. Şekil 4.13-15'deki 1 nolu eğri  $x_0/l = 1$  durumunu, 2 nolu eğri  $x_0/l = 0.5$  durumunu ve 3 nolu eğri  $x_0/l = 0$  durumunu göstermektedir. Çatıla 20 eşit eleman fay üzerinde ise 50 adet değme elemanı alınarak yer değiştirme süreksizliği yöntemiyle çözülmüştür.



**Şekil 4.12.** Yarı-sonsuz düzlemede çatlak ve fayın şematik görünümü



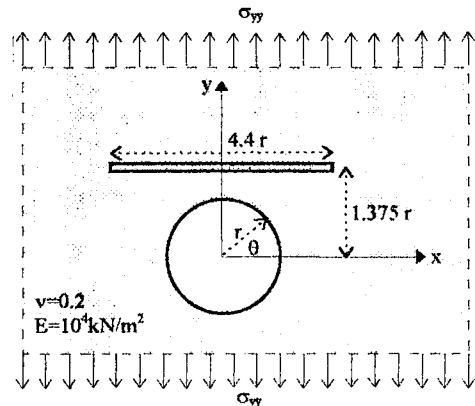
Şekil 4.13. Çatlağın pozitif ve negatif taraflarındaki  $u_n$  yer değiştirmeleri

Şekil 4.14. Yüzeydeki  $\sigma_{xx}$  gerilmeleriŞekil 4.15. Fay hattı boyunca  $u_s$  ve  $u_n$  yer değiştirmeleri

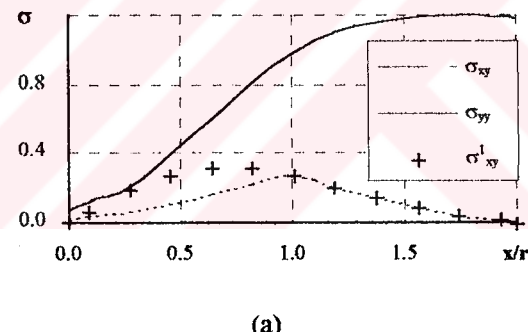
#### 4.4.4. Sonsuz düzlemden Boşluk Fay Etkileşimi

Yükleme durumu ve geometrisi, Şekil 4.16'da görüldüğü gibi sonsuz düzlemden bir dairesel boşluk ve Mohr-Coulomb elemanı gözönüne alınmıştır. Dairesel boşlukta  $1/2$  daire parçası alınarak 24 adet eşit eleman, Mohr-Coulomb elemanında ise 12 adet eşit elemanlar alınmıştır. Mohr-Coulomb elemanında, sürtünme açısı  $15^\circ$  kohezyon katsayısı sıfır yay katsayıları  $K_s = K_n = 10^7 \text{ kNm}^2/\text{m}$  olmak üzere sayısal değerler kaynak

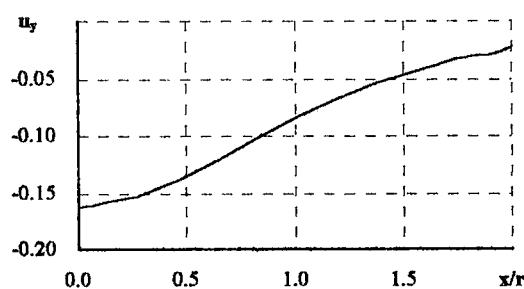
[24] den alınmış olup DDM yöntemi ile çözülmüştür. Şekil 4.17. (a) daki  $\sigma_{yy}$  ve  $\sigma_{xy}$  gerilmeleri yük artımı yöntemi kullanılarak, 12 adım sonucu elde edilen gerilmeler iken,  $\sigma_{xy}^1$  gerilmesi ise Mohr-Coulomb hipotezi kullanılmadan sadece  $K_s$  ve  $K_n$  olması durumundaki gerilmedir.



Şekil 4.16. Mohr-Coulomb elemanı ve dairesel boşluk



(a)



(b)

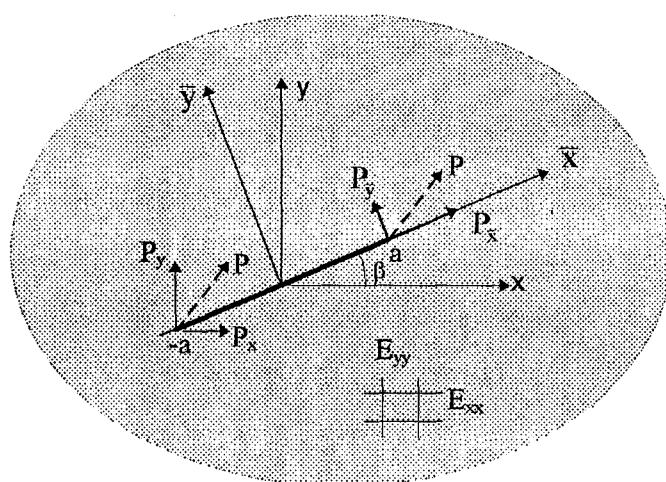
Şekil 4.17. Mohr-Coulomb elemanında gerilmeler ve  $u_y$  yer değiştirmesi.

## BÖLÜM 5. ANİZOTROP ORTAMDA İNDİREKT SINIR ELEMAN YÖNTEMİ

Anizotrop ortamda indirekt sınır eleman yöntemi, izotrop ortamındaki yöntemle benzer şekilde temel çözümler kullanılarak elde edilmektedir. Bu bölümde de fiktif gerilme yöntemi ve Yer değiştirme süreksizliği yöntemleri incelenmiş olup, yarı-onsuz ve sonsuz düzlemlerde yer değiştirme tesir fonksiyonları temel çözümler kullanılarak elde edilmişlerdir.

### 5.1. FİKTİF GERİLME YÖNTEMİ

Bu bölümde iki boyutlu anizotrop ortamda fiktif gerilme yöntemi kullanılarak, sonsuz bölgede, herhangi bir doğrultudaki bir elemanda üniform yayılı yükten dolayı Kelvin probleminin integrasyonu alınarak çözümler elde edildi Şekil 5.1. Burada elastik sabitler  $x$  ve  $y$  eksenlerine paralel olarak kabul edilerek, integrasyonlar herhangi bir doğrultu boyunca alındı.



Şekil 5.1.  $|\bar{x}| \leq a$ ,  $\bar{y} = 0$  doğrusu üzerinde sabit gerilmeler

Buna göre koordinatların herhangi bir  $\beta$  doğrultusundaki değerleri

$$\begin{aligned} x &= \bar{x} \cos \beta - \bar{y} \sin \beta \\ y &= \bar{x} \sin \beta + \bar{y} \cos \beta \end{aligned} \quad (5.1)$$

şeklinde olup eleman üzerindeki yükler ise

$$\begin{aligned} P_x &= \bar{P}_x \cos \beta - \bar{P}_y \sin \beta \\ P_y &= \bar{P}_x \sin \beta + \bar{P}_y \cos \beta \end{aligned} \quad (5.2)$$

şeklinde yazılabilir. Bu durumda (2.50) deki tekil kuvvetten oluşan yer değiştirme alan fonksiyonlar söz konusu doğrultu için

$$\begin{aligned} \bar{U}_{xx} &= K(\gamma_1 \kappa_2^2 \ln \bar{r}_1 - \gamma_2 \kappa_1^2 \ln \bar{r}_2) \\ \bar{U}_{xy} = \bar{U}_{yx} &= -K \kappa_1 \kappa_2 (\bar{\theta}_1 - \bar{\theta}_2) \end{aligned} \quad (5.3)$$

$$\bar{U}_{yy} = -K \left( \frac{1}{\gamma_1} \kappa_1^2 \ln \bar{r}_1 - \frac{1}{\gamma_2} \kappa_2^2 \ln \bar{r}_2 \right)$$

ve (2.51) deki gerilme alan fonksiyonları ise

$$\bar{S}_{xxx} = K(\bar{x} \cos \beta - \bar{y} \sin \beta) \left( \frac{\kappa_1}{\gamma_2 \bar{r}_2^2} - \frac{\kappa_2}{\gamma_1 \bar{r}_1^2} \right)$$

$$\bar{S}_{xxy} = K(\bar{x} \sin \beta + \bar{y} \cos \beta) \left( \frac{\kappa_2}{\gamma_2^3 \bar{r}_2^2} - \frac{\kappa_1}{\gamma_1^3 \bar{r}_1^2} \right)$$

$$\bar{S}_{yyx} = K(\bar{x} \sin \beta + \bar{y} \cos \beta) \left( \frac{\kappa_1}{\gamma_2 \bar{r}_2^2} - \frac{\kappa_2}{\gamma_1 \bar{r}_1^2} \right)$$

$$\bar{S}_{xyy} = K(\bar{x} \cos \beta - \bar{y} \sin \beta) \left( \frac{\kappa_1}{\gamma_1 \bar{r}_1^2} - \frac{\kappa_2}{\gamma_2 \bar{r}_2^2} \right) \quad (5.4)$$

$$\bar{S}_{yyx} = K(\bar{x} \cos \beta - \bar{y} \sin \beta) \left( \frac{\gamma_1 \kappa_2}{\bar{r}_1^2} - \frac{\gamma_2 \kappa_1}{\bar{r}_2^2} \right)$$

$$\bar{S}_{yyy} = K(\bar{x} \sin \beta + \bar{y} \cos \beta) \left( \frac{\kappa_1}{\gamma_1 \bar{r}_1^2} - \frac{\kappa_2}{\gamma_2 \bar{r}_2^2} \right)$$

şeklinde yazılabilir. Burada

$$\bar{r}_i = \sqrt{[A_i \bar{x}^2 + B_i \bar{x}\bar{y} + C_i \bar{y}^2]} \quad (5.5)$$

$$\bar{\theta}_i = \arctan \frac{\bar{x} \sin \beta + \bar{y} \cos \beta}{\gamma_i (\bar{x} \cos \beta - \bar{y} \sin \beta)} \quad (5.6)$$

$$A_i = (\gamma_i^2 \cos^2 \beta + \sin^2 \beta) / \gamma_i^2$$

$$B_i = (1 - \gamma_i^2) \sin 2\beta / \gamma_i^2 \quad (5.7)$$

$$C_i = (\gamma_i^2 \sin^2 \beta + \cos \beta) / \gamma_i^2$$

dir. Bu fonksiyonların  $\bar{x}$  doğrultusundaki integralleri ise

$$\bar{g}_{ij}(\bar{x}, \bar{y}) = \int_{-a}^a \bar{U}_{ij}(\bar{x} - \xi, \bar{y}) d\xi \quad (5.8)$$

$$\bar{f}_{ijk}(\bar{x}, \bar{y}) = \int_{-a}^a \bar{S}_{ijk}(\bar{x} - \xi, \bar{y}) d\xi$$

olarak hesaplanırsa yer değiştirmeye ve gerilme bileşenlerinin global koordinatlardaki değerleri, lokal koordinatlar cinsinden:

$$u_x = P_x \bar{g}_{xx} + P_y \bar{g}_{xy} \quad (5.9)$$

$$u_y = P_x \bar{g}_{yx} + P_y \bar{g}_{yy}$$

$$\sigma_{xx} = P_x \bar{f}_{xxx} + P_y \bar{f}_{xxy} \quad (5.10)$$

$$\sigma_{yy} = P_x \bar{f}_{yxx} + P_y \bar{f}_{yyy}$$

eşitlikleriyle elde edilirler.

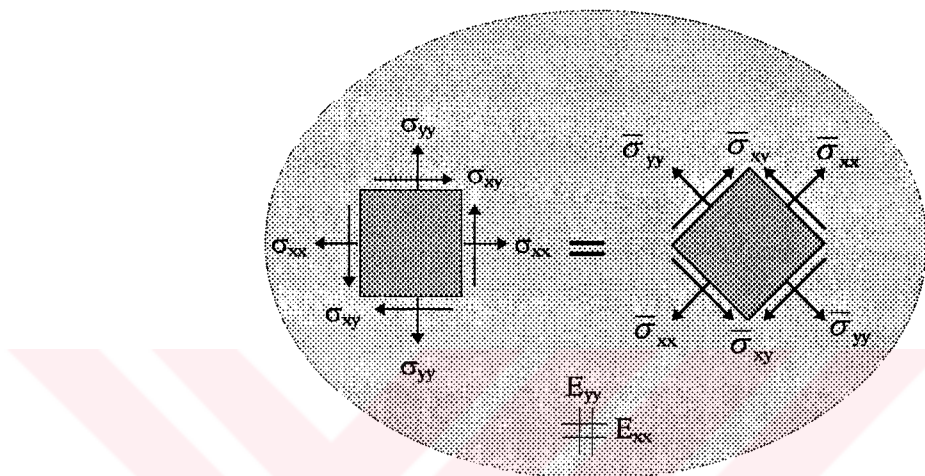
## 5.2. YER DEĞİŞTİRME SÜREKSİZLİĞİ YÖNTEMİ

Bu yöntemde yer değiştirmeye süreksizlik denklemlerinin elde edilmesi, genel olarak izotrop ortamda benzer şekildedir. Anizotrop ortamda ise, global eksenlerden farklı doğrultuda eleman aldığı zaman, temel çözümlerin söz konusu doğrultudaki koordinatlar cinsinden yazılıp ve bu koordinatlar doğrultusundaki türevleri alınarak yer değiştirmeye süreksizliklerinden oluşan tekil çözümler elde edilmiştir. Bunun için (2.7) veya (2.11) deki Genelleştirilmiş Hooke Kanunları lokal koordinatlar  $(\bar{x}, \bar{y})$  cinsinden

$$\begin{aligned} \bar{\sigma}_{xx} &= \bar{c}_{11} \bar{\epsilon}_{xx} + \bar{c}_{12} \bar{\epsilon}_{yy} + 2\bar{c}_{16} \bar{\epsilon}_{xy} \\ \bar{\sigma}_{yy} &= \bar{c}_{21} \bar{\epsilon}_{xx} + \bar{c}_{22} \bar{\epsilon}_{yy} + 2\bar{c}_{26} \bar{\epsilon}_{xy} \end{aligned} \quad (5.11)$$

$$\bar{\sigma}_{xy} = \bar{c}_{16}\bar{\epsilon}_{xx} + \bar{c}_{26}\bar{\epsilon}_{yy} + 2\bar{c}_{66}\bar{\epsilon}_{xy}$$

şeklinde yazılarak elemanter eleman lokal koordinatlar doğrultusunda alınmıştır Şekil 5.2. Burada  $\bar{c}_{ij}$  katsayıları,  $\bar{s}_i$  lokal koordinatlardaki mühendislik sabitlerinin tersi alınarak elde edilmiş olup, aşağıda verilmiştir.



Şekil 5.2.  $\bar{x}, \bar{y}$  doğrultusunda yönlenmiş eleman

$$\bar{s}_{11} = \frac{\cos^4 \beta}{E_{xx}} + \left[ \frac{1}{G_{xy}} - \frac{2\nu_{xy}}{E_{xx}} \right] \sin^2 \beta \cos^2 \beta + \frac{\sin^4 \beta}{E_{yy}}$$

$$\bar{s}_{12} = \left[ \frac{1}{E_{xx}} + \frac{1}{E_{yy}} + \frac{2\nu_{xy}}{E_{xx}} - \frac{1}{G_{xy}} \right] \sin^2 \beta \cos^2 \beta - \frac{\nu_{xy}}{E_{xx}}$$

$$\bar{s}_{13} = - \left[ \frac{\nu_{yz}}{E_{yy}} \sin^2 \beta + \frac{\nu_{zx}}{E_{zz}} \cos^2 \beta \right]$$

$$\bar{s}_{14} = 0$$

$$\bar{s}_{15} = 0$$

$$\bar{s}_{16} = \left[ 2 \left( \frac{\sin^2 \beta}{E_{yy}} - \frac{\cos^2 \beta}{E_{xx}} \right) + \left( \frac{1}{G_{xy}} - \frac{\nu_{xy}}{E_{xx}} \right) (\cos^2 \beta - \sin^2 \beta) \right] \sin \beta \cos \beta$$

$$\bar{s}_{22} = \frac{\sin^4 \beta}{E_{xx}} + \left[ \frac{1}{G_{xy}} - \frac{2\nu_{xy}}{E_{xx}} \right] \sin^2 \beta \cos^2 \beta + \frac{\cos^4 \beta}{E_{yy}} \quad (5.12)$$

$$\bar{s}_{23} = - \left[ \frac{\nu_{yz}}{E_{yy}} \cos^2 \beta + \frac{\nu_{zx}}{E_{zz}} \sin^2 \beta \right]$$

$$\bar{s}_{24} = 0$$

$$\bar{s}_{25} = 0$$

$$\bar{s}_{26} = \left[ 2 \left( \frac{\cos^2 \beta}{E_{yy}} - \frac{\sin^2 \beta}{E_{xx}} \right) - \left( \frac{1}{G_{xy}} - \frac{\nu_{xy}}{E_{xx}} \right) (\cos^2 \beta - \sin^2 \beta) \right] \sin \beta \cos \beta$$

$$\bar{s}_{33} = \frac{1}{E_{zz}}$$

$$\bar{s}_{34} = 0$$

$$\bar{s}_{35} = 0$$

$$\bar{s}_{36} = 2 \left( \frac{\nu_{zx}}{E_{zz}} - \frac{\nu_{yz}}{E_{yy}} \right) \sin \beta \cos \beta$$

$$\bar{s}_{44} = \left( \frac{\cos^2 \beta}{G_{yz}} - \frac{\sin^2 \beta}{G_{xz}} \right)$$

$$\bar{s}_{45} = \left( \frac{1}{G_{yz}} - \frac{1}{G_{xz}} \right) \sin \beta \cos \beta$$

$$\bar{s}_{46} = 0$$

$$\bar{s}_{55} = \frac{\sin^2 \beta}{G_{yz}} + \frac{\cos^2 \beta}{G_{xz}}$$

$$\bar{s}_{56} = 0$$

$$\bar{s}_{66} = \left[ \frac{1}{E_{xx}} + \frac{1}{E_{yy}} + \frac{2\nu_{xy}}{E_{xx}} - \frac{1}{G_{xy}} \right] \sin^2 \beta \cos^2 \beta - \frac{1}{G_{xy}}$$

Yer değiştirme süreksizliklerinin elde edilmesi için  $\bar{U}_{ij}$  (5.3) deki temel çözümler olmak üzere, yerdeğiştirmeler (2.33) ifadesinden

$$\begin{aligned} u_x &= F_x \bar{U}_{xx} + F_y \bar{U}_{xy} \\ u_y &= F_x \bar{U}_{yx} + F_y \bar{U}_{yy} \end{aligned} \quad (5.13)$$

ve gerilmeler  $\bar{S}_{ijk}$  (5.4) deki temel çözümler olmak üzere (2.39) ifadesinden

$$\begin{aligned} \sigma_{xx} &= F_x \bar{S}_{xxx} + F_y \bar{S}_{xxy} \\ \sigma_{yy} &= F_x \bar{S}_{yyx} + F_y \bar{S}_{yyy} \\ \sigma_{xy} &= F_x \bar{S}_{xyx} + F_y \bar{S}_{xyy} \end{aligned} \quad (5.14)$$

şeklinde yazılabilir. Yarı sonsuz düzlem için anizotrop ortamda temel çözümlerin lokal koordinatlardaki değerler ise (2.59) ve (2.60) eşitliklerinden

$$\begin{aligned} \bar{U}_{xx}^e &= K \left[ -c_1 (\gamma_1 \kappa_2^2 \ln \bar{R}_1 + \gamma_2 \kappa_1^2 \ln \bar{R}_2) + c_2 \kappa_1 \kappa_2 (\ln \bar{R}_3 + \ln \bar{R}_4) \right] \\ \bar{U}_{xy}^e &= K \left[ -c_1 \kappa_1 \kappa_2 (\bar{\theta}_1 + \bar{\theta}_2) + c_3 (\gamma_2 \kappa_1^2 \bar{\theta}_3 + \gamma_1 \kappa_2^2 \bar{\theta}_4) \right] \\ \bar{U}_{yx}^e &= K \left[ c_1 \kappa_1 \kappa_2 (\bar{\theta}_1 + \bar{\theta}_2) - c_3 (\gamma_1 \kappa_2^2 \bar{\theta}_3 + \gamma_2 \kappa_1^2 \bar{\theta}_4) \right] \end{aligned} \quad (5.15)$$

$$\begin{aligned} \bar{U}_{yy}^e &= K \bar{X} \left[ -c_1 \left( \frac{\kappa_1^2}{\gamma_1} \ln \bar{R}_1 + \frac{\kappa_2^2}{\gamma_2} \ln \bar{R}_2 \right) + c_3 \kappa_1 \kappa_2 (\ln \bar{R}_3 + \ln \bar{R}_4) \right] \\ \bar{S}_{xxx}^e &= K \bar{X} \left[ c_1 \left( \frac{\kappa_2}{\gamma_1 \bar{R}_1^2} + \frac{\kappa_1}{\gamma_2 \bar{R}_2^2} \right) - c_3 \left( \frac{\gamma_2 \kappa_1}{\gamma_1 \bar{R}_3^2} + \frac{\gamma_1 \kappa_2}{\gamma_2 \bar{R}_4^2} \right) \right] \end{aligned}$$

$$\begin{aligned}
 \bar{S}_{xyx}^c &= K \left[ c_1 \left( \frac{\kappa_2 \bar{Y}_1}{\bar{R}_1^2} + \frac{\kappa_1 \bar{Y}_2}{\bar{R}_2^2} \right) - c_3 \left( \gamma_2 \frac{\kappa_1 \bar{Y}_3}{\bar{R}_3^2} + \gamma_1 \frac{\kappa_2 \bar{Y}_4}{\bar{R}_4^2} \right) \right] \\
 \bar{S}_{yyx}^c &= K \bar{X} \left[ -c_1 \left( \frac{\gamma_1 \kappa_2}{\bar{R}_1^2} + \frac{\gamma_2 \kappa_1}{\bar{R}_2^2} \right) + c_2 \left( \frac{\kappa_1}{\bar{R}_3^2} + \frac{\kappa_2}{\bar{R}_4^2} \right) \right] \quad (5.16) \\
 \bar{S}_{xxy}^c &= K \left[ -c_1 \left( \frac{\kappa_1 \bar{Y}_1}{\gamma_1^2 \bar{R}_1^2} + \frac{\kappa_2 \bar{Y}_2}{\gamma_2^2 \bar{R}_2^2} \right) + c_3 \left( \frac{\bar{Y}_3 \kappa_2}{\gamma_1 \bar{R}_3^2} + \frac{\bar{Y}_4 \kappa_1}{\gamma_2 \bar{R}_4^2} \right) \right] \\
 \bar{S}_{xyy}^c &= K \bar{X} \left[ c_1 \left( \frac{\kappa_1}{\gamma_1 \bar{R}_2^2} + \frac{\kappa_2}{\gamma_2 \bar{R}_1^2} \right) - c_3 \left( \frac{\kappa_2}{\bar{R}_3^2} + \frac{\kappa_1}{\bar{R}_4^2} \right) \right]
 \end{aligned}$$

şeklinde yazılabilir. Burada

$$\bar{X} = \bar{x} \cos \beta + \bar{y} \sin \beta$$

$$\bar{Y}_1 = \frac{1}{\gamma_1} (-\bar{x} \sin \beta + \bar{y} \cos \beta)$$

$$\bar{Y}_2 = \frac{1}{\gamma_2} (-\bar{x} \sin \beta + \bar{y} \cos \beta)$$

(5.17)

$$\bar{Y}_3 = \frac{1}{\gamma_1} (-\bar{x} \sin \beta + \bar{y} \cos \beta) + y \left( \frac{1}{\gamma_1} - \frac{1}{\gamma_2} \right)$$

$$\bar{Y}_4 = \frac{1}{\gamma_2} (-\bar{x} \sin \beta + \bar{y} \cos \beta) + y \left( \frac{1}{\gamma_2} - \frac{1}{\gamma_1} \right)$$

$$\bar{\theta}_i = \arctan\left(\frac{\bar{X}}{\bar{Y}_i}\right), \quad \bar{R}_i = \sqrt{\bar{X}^2 + \bar{Y}_i^2} \quad (5.18)$$

dir. Dış kuvvetlerin  $x$  ve  $y$  eksenlerindeki izdüşümleri ise

$$\begin{aligned} F_x &= \bar{F}_x \cos \beta - \bar{F}_y \sin \beta \\ F_y &= \bar{F}_x \sin \beta + \bar{F}_y \cos \beta \end{aligned} \quad (5.19)$$

şeklinde yazilarak, global koordinatlardaki yer değiştirme bileşenleri lokal koordinatlardaki alan fonksiyonları ve tekil kuvvetler cinsinden

$$\begin{aligned} u_x &= \bar{F}_x (\bar{U}_{xx} \cos \beta + \bar{U}_{xy} \sin \beta) + \bar{F}_y (-\bar{U}_{xx} \sin \beta + \bar{U}_{xy} \cos \beta) \\ u_y &= \bar{F}_x (\bar{U}_{yx} \cos \beta + \bar{U}_{yy} \sin \beta) + \bar{F}_y (-\bar{U}_{yx} \sin \beta + \bar{U}_{yy} \cos \beta) \end{aligned} \quad (5.20)$$

ve gerilme bileşenleri lokal koordinatlar cinsinden

$$\begin{aligned} \sigma_{xx} &= \bar{F}_x (\bar{S}_{xxx} \cos \beta + \bar{S}_{xxy} \sin \beta) + \bar{F}_y (-\bar{S}_{xxx} \sin \beta + \bar{S}_{xxy} \cos \beta) \\ \sigma_{yy} &= \bar{F}_x (\bar{S}_{yyx} \cos \beta + \bar{S}_{yyy} \sin \beta) + \bar{F}_y (-\bar{S}_{yyx} \sin \beta + \bar{S}_{yyy} \cos \beta) \\ \sigma_{xy} &= \bar{F}_x (\bar{S}_{xyx} \cos \beta + \bar{S}_{xyy} \sin \beta) + \bar{F}_y (-\bar{S}_{xyx} \sin \beta + \bar{S}_{xyy} \cos \beta) \end{aligned} \quad (5.21)$$

şeklinde elde edilirler. Bu eşitlikleri daha kısa bir formda yazmak için yer değiştirme bileşenlerinde

$$\begin{aligned}
 h_{11} &= \bar{U}_{xx} \cos \beta + \bar{U}_{xy} \sin \beta \\
 h_{12} &= -\bar{U}_{xx} \sin \beta + \bar{U}_{xy} \cos \beta \\
 h_{21} &= \bar{U}_{yx} \cos \beta + \bar{U}_{yy} \sin \beta \\
 h_{22} &= -\bar{U}_{yx} \sin \beta + \bar{U}_{yy} \cos \beta
 \end{aligned} \tag{5.22}$$

ve gerilme bileşenlerinde

$$\begin{aligned}
 l_{11} &= \bar{S}_{xxx} \cos \beta + \bar{S}_{xxy} \sin \beta \\
 l_{12} &= -\bar{S}_{xxx} \sin \beta + \bar{S}_{xxy} \cos \beta \\
 l_{21} &= \bar{S}_{yyx} \cos \beta + \bar{S}_{yyy} \sin \beta \\
 l_{22} &= -\bar{S}_{yyx} \sin \beta + \bar{S}_{yyy} \cos \beta \\
 l_{31} &= \bar{S}_{xyx} \cos \beta + \bar{S}_{xyy} \sin \beta \\
 l_{32} &= -\bar{S}_{xyx} \sin \beta + \bar{S}_{xyy} \cos \beta
 \end{aligned} \tag{5.23}$$

tanımları yapılarak, yer değiştirme ve gerilme bileşenleri lokal koordinatlar cinsinden sırasıyla

$$\begin{aligned}
 u_x &= \bar{F}_x h_{11} + \bar{F}_y h_{12} \\
 u_y &= \bar{F}_x h_{21} + \bar{F}_y h_{22}
 \end{aligned} \tag{5.24}$$

$$\sigma_{xx} = \bar{F}_x l_{11} + \bar{F}_y l_{12}$$

$$\sigma_{yy} = \bar{F}_x l_{21} + \bar{F}_y l_{22} \quad (5.25)$$

$$\sigma_{xy} = \bar{F}_x l_{31} + \bar{F}_y l_{32}$$

şeklinde yazılabilirler.

### 5.2.1. Normal Doğrultudaki Yer değiştirmeye Süreksizliği

Anizotrop ortamda normal doğrultudaki yer değiştirmeye süreksizliğini elde etmek için, izotrop ortam için şekil değiştirmeler açısından yapılan kabüller

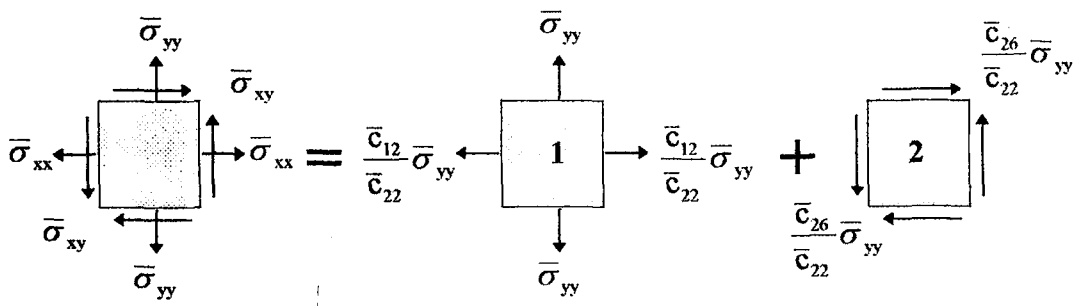
$$\bar{\epsilon}_{xx} = \bar{\epsilon}_{zz} = \bar{\epsilon}_{xy} = 0 \quad , \quad \bar{\epsilon}_{yy} \neq 0 \quad (5.26)$$

şeklinde yazılmış olup (2.3) ve (5.26) eşitlikleri kullanılarak gerilme bileşeneleri arasındaki bağıntılar

$$\begin{aligned} \bar{\sigma}_{xx} &= \bar{c}_{12} \bar{\epsilon}_{yy} \quad , \quad \bar{\sigma}_{xx} = \frac{\bar{c}_{12}}{\bar{c}_{22}} \bar{\sigma}_{yy} \\ \bar{\sigma}_{yy} &= \bar{c}_{22} \bar{\epsilon}_{yy} \end{aligned} \quad (5.27)$$

$$\bar{\sigma}_{xy} = \bar{c}_{26} \bar{\epsilon}_{yy} \quad , \quad \bar{\sigma}_{xy} = \frac{\bar{c}_{26}}{\bar{c}_{22}} \bar{\sigma}_{yy}$$

şeklinde elde edilirler. Bu durumda gerilme durumları Şekil 5.3'de verilen sistem gözönüne alınır. Sadece düşey yer değiştirmeye alan fonksiyonlarını elde edebilmek için 1. durumda  $\bar{\sigma}_{xx}$  gerilmesinin katkısını, 2. durumda ise  $\bar{\sigma}_{xy}$  gerilmesinin katkısı gözünüğe alınmıştır.



Şekil 5.3. Normal doğrultudaki yer değiştirme için gerilme durumu

Bunun için (3.16) bağıntıları kullanılarak  $u_x$  yer değiştirme fonksiyonu olmak üzere lokal koordinatlar cinsinden 1. gerilme durumundan dolayı

$$u_{x1} = \frac{\bar{c}_{12}}{\bar{c}_{22}} \bar{F}_y \frac{\partial h_{11}}{\partial \bar{x}} + \bar{F}_y \frac{\partial h_{12}}{\partial \bar{y}} \quad (5.28)$$

ve 2. gerilme durumundan dolayı

$$u_{x2} = \frac{\bar{c}_{26}}{\bar{c}_{22}} \bar{F}_y \left( \frac{\partial h_{11}}{\partial \bar{y}} + \frac{\partial h_{12}}{\partial \bar{x}} \right) \quad (5.29)$$

şeklinde elde edilirler. Bu iki fonksiyonların toplamı ise ( $u_x = u_{x1} + u_{x2}$ )

$$u_x = \bar{F}_y \left( \frac{\bar{c}_{12}}{\bar{c}_{22}} \frac{\partial h_{11}}{\partial \bar{x}} + \frac{\partial h_{12}}{\partial \bar{y}} + \frac{\bar{c}_{26}}{\bar{c}_{22}} \left( \frac{\partial h_{11}}{\partial \bar{y}} + \frac{\partial h_{12}}{\partial \bar{x}} \right) \right) \quad (5.30)$$

olarak alan fonksiyonlarının  $\bar{x}$  ve  $\bar{y}$  türevleri cinsinden elde edilirler. Düşey yer değiştirmenin düşey tekil kuvvet cinsinden değeri ise (5.27) eşitliğinden

$$\bar{F}_y = \bar{c}_{22} \bar{D}_y \quad (5.31)$$

olarak gözönüne alırsa, düşey yer değiştirmeye süreksizliğinden elde edilen yeni  $\bar{U}_{xy}$  alan fonksiyonu

$$\bar{U}_{xy} = \bar{c}_{12} \frac{\partial h_{11}}{\partial x} + \bar{c}_{22} \frac{\partial h_{12}}{\partial y} + \bar{c}_{26} \frac{\partial h_{11}}{\partial y} + \bar{c}_{26} \frac{\partial h_{12}}{\partial x} \quad (5.32)$$

şeklinde elde edilirler. Diğer alan fonksiyonlar benzer şekilde

$$\bar{U}_{yy} = \bar{c}_{12} \frac{\partial h_{21}}{\partial x} + \bar{c}_{22} \frac{\partial h_{22}}{\partial y} + \bar{c}_{26} \frac{\partial h_{21}}{\partial y} + \bar{c}_{26} \frac{\partial h_{22}}{\partial x} \quad (5.33)$$

$$\bar{S}_{xxy} = \bar{c}_{12} \frac{\partial d_{11}}{\partial x} + \bar{c}_{22} \frac{\partial d_{12}}{\partial y} + \bar{c}_{26} \frac{\partial d_{11}}{\partial y} + \bar{c}_{26} \frac{\partial d_{12}}{\partial x} \quad (5.34)$$

$$\bar{S}_{yyy} = \bar{c}_{12} \frac{\partial d_{21}}{\partial x} + \bar{c}_{22} \frac{\partial d_{22}}{\partial y} + \bar{c}_{26} \frac{\partial d_{21}}{\partial y} + \bar{c}_{26} \frac{\partial d_{22}}{\partial x} \quad (5.34)$$

$$\bar{S}_{xxy} = \bar{c}_{12} \frac{\partial d_{31}}{\partial x} + \bar{c}_{22} \frac{\partial d_{32}}{\partial y} + \bar{c}_{26} \frac{\partial d_{31}}{\partial y} + \bar{c}_{26} \frac{\partial d_{32}}{\partial x}$$

şeklinde elde edilirler. Burada özel hal olarak lokal koordinatlar ile elastik sabitler aynı doğrultuda ise  $\bar{c}_{26} = 0$ ,  $\bar{c}_{12} = c_{12}$  ve  $\bar{c}_{22} = c_{22}$  olur. Ayrıca malzemenin izotrop olması halinde ise  $\bar{c}_{26} = 0$  ve  $\bar{c}_{12} / \bar{c}_{22} = \nu / (1 - \nu)$  olur.

### 5.2.2. Kayma Yer Değiştirme Süreksizliği

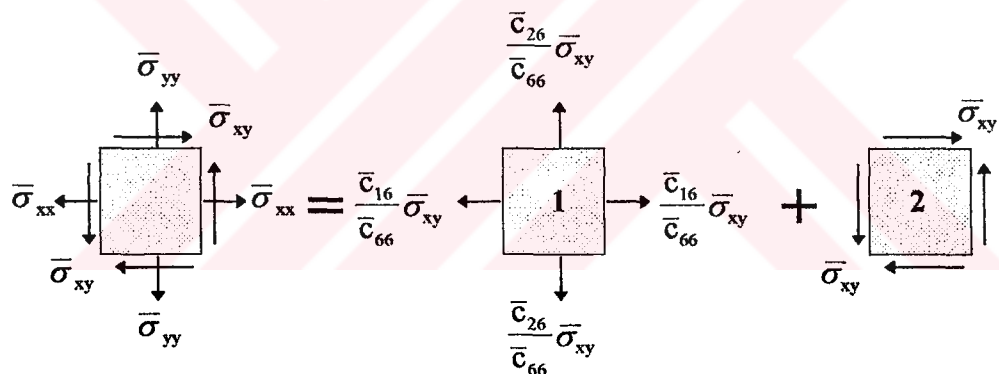
Kayma doğrultusundaki yer değiştirmeye süreksizliklerini elde etmek için şekil değiştirmelerde

$$\bar{\varepsilon}_{xx} = \bar{\varepsilon}_{yy} = \bar{\varepsilon}_{zz} = 0 \quad , \quad \bar{\varepsilon}_{xy} \neq 0 \quad (5.35)$$

kabülleri yapılarak sadece kayma şekil değiştirmesi sıfırdan farklı olması durumunda, (2.3) ve (5.35) eşitlikleri kullanılarak gerilme bileşenleri arasındaki bağıntılar

$$\begin{aligned}\bar{\sigma}_{xx} &= \bar{c}_{16} \bar{\epsilon}_{xy}, & \bar{\sigma}_{xx} &= \frac{\bar{c}_{16}}{\bar{c}_{66}} \bar{\sigma}_{xy} \\ \bar{\sigma}_{yy} &= \bar{c}_{26} \bar{\epsilon}_{xy}, & \bar{\sigma}_{yy} &= \frac{\bar{c}_{26}}{\bar{c}_{66}} \bar{\sigma}_{xy} \\ \bar{\sigma}_{xy} &= \bar{c}_{66} \bar{\epsilon}_{xy}\end{aligned}\quad (5.36)$$

şeklinde elde edilirler. Bu durumda gerilme durumları Şekil 5.4'de verilen yükleme durumu gözönüne alınınsın. Sadece kayma yer değiştirme alan fonksiyonlarını elde edebilmek için 1. durumda  $\bar{\sigma}_{xx}$  gerilmesinin katkısını, 2. durumda ise  $\bar{\sigma}_{xy}$  gerilmesinin katkısı gözönüne alınmıştır.



Şekil 5.4. Kayma yer değiştirmesi için gerilme durumu.

Bunun için (3.20) bağıntıları kullanılarak  $u_x$  yer değiştirme fonksiyonu olmak üzere lokal koordinatlar cinsinden 1. gerilme durumundan dolayı

$$u_{x1} = \frac{\bar{c}_{16}}{\bar{c}_{66}} \bar{F}_x \frac{\partial h_{11}}{\partial x} + \frac{\bar{c}_{26}}{\bar{c}_{66}} \bar{F}_x \frac{\partial h_{12}}{\partial y} \quad (5.37)$$

ve 2. gerilme durumundan dolayı

$$u_{x2} = \bar{F}_x \left( \frac{\partial h_{11}}{\partial y} + \frac{\partial h_{12}}{\partial x} \right) \quad (5.38)$$

şeklinde elde edilirler. Bu iki fonksiyonların toplamı ise ( $u_x = u_{x1} + u_{x2}$ )

$$u_x = \bar{F}_x \left( \frac{\bar{c}_{16}}{\bar{c}_{66}} \frac{\partial h_{11}}{\partial x} + \frac{\bar{c}_{26}}{\bar{c}_{66}} \frac{\partial h_{12}}{\partial y} + \frac{\partial h_{11}}{\partial y} + \frac{\partial h_{12}}{\partial x} \right) \quad (5.39)$$

olarak alan fonksiyonlarının  $\bar{x}$  ve  $\bar{y}$  türevleri cinsinden elde edilirler. Yatay yer değiştirmenin yatay tekil kuvvet cinsinden değeri ise ( 5.36) eşitliğinden

$$\bar{F}_x = \bar{c}_{66} \bar{D}_x \quad (5.40)$$

olarak gözönüne alınrsa, yatay yer değiştirme süreksizliğinden elde edilen yeni  $\bar{U}_{xx}$  alan fonksiyonu

$$\bar{U}_{xx} = \bar{c}_{16} \frac{\partial h_{11}}{\partial x} + \bar{c}_{26} \frac{\partial h_{12}}{\partial y} + \bar{c}_{66} \frac{\partial h_{11}}{\partial y} + \bar{c}_{66} \frac{\partial h_{12}}{\partial x} \quad (5.41)$$

şeklinde elde edilir. Diğer alan fonksiyonları benzer şekilde

$$\bar{U}_{yx} = \bar{c}_{16} \frac{\partial h_{21}}{\partial x} + \bar{c}_{26} \frac{\partial h_{22}}{\partial y} + \bar{c}_{66} \frac{\partial h_{21}}{\partial y} + \bar{c}_{66} \frac{\partial h_{22}}{\partial x} \quad (5.42)$$

$$\begin{aligned} \bar{S}_{xxx} &= \bar{c}_{16} \frac{\partial h_{11}}{\partial x} + \bar{c}_{26} \frac{\partial h_{12}}{\partial y} + \bar{c}_{66} \frac{\partial h_{11}}{\partial y} + \bar{c}_{66} \frac{\partial h_{12}}{\partial x} \\ \bar{S}_{yyx} &= \bar{c}_{16} \frac{\partial h_{21}}{\partial x} + \bar{c}_{26} \frac{\partial h_{22}}{\partial y} + \bar{c}_{66} \frac{\partial h_{21}}{\partial y} + \bar{c}_{66} \frac{\partial h_{22}}{\partial x} \end{aligned} \quad (5.43)$$

$$\bar{S}_{xyx} = \bar{c}_{16} \frac{\partial_{31}}{\partial \bar{x}} + \bar{c}_{26} \frac{\partial_{32}}{\partial \bar{y}} + \bar{c}_{66} \frac{\partial_{31}}{\partial \bar{y}} + \bar{c}_{66} \frac{\partial_{32}}{\partial \bar{x}}$$

şeklinde yazılırlar. Burada özel hal olarak lokal koordinatlarla elastik sabitler aynı doğrultuda ise  $\bar{c}_{16} = \bar{c}_{26} = 0$  ve  $\bar{c}_{66} = c_{66}$  olur. Ayrıca malzemenin izotrop olması durumunda ise  $\bar{c}_{16} = \bar{c}_{26} = 0$  ve  $\bar{c}_{66} = G_{xy} = G$  olur.

Sayısal hesap yöntemi Bölüm 3'deki gibi sabit elemanlar alarak sonsuz ve yarısonsuz anizotrop ortamda lokal koordinatlardaki yer değiştirmeye alan fonksiyonlarının  $\bar{x}$  doğrultusundaki integralleri

$$\bar{g}_{ij}(\bar{x}, \bar{y}) = \int_{-a}^a \bar{U}_{ij}(\bar{x} - \xi, \bar{y}) d\xi \quad (5.44)$$

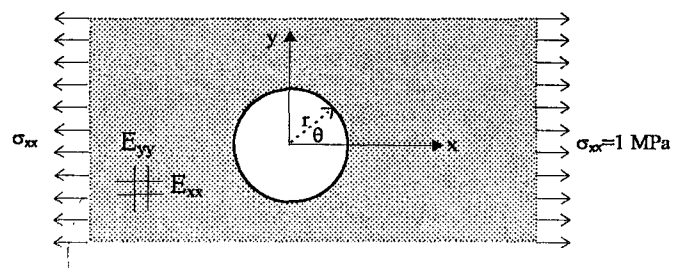
$$\bar{f}_{ijk}(\bar{x}, \bar{y}) = \int_{-a}^a \bar{S}_{ijk}(\bar{x} - \xi, \bar{y}) d\xi$$

şeklinde hesaplanırlar. Buradan elde edilen tesir fonksiyonları (3.35) ve (3.36) denklemelerinde yerlerine konulmasıyla sınır eleman denklemleri elde edilir.

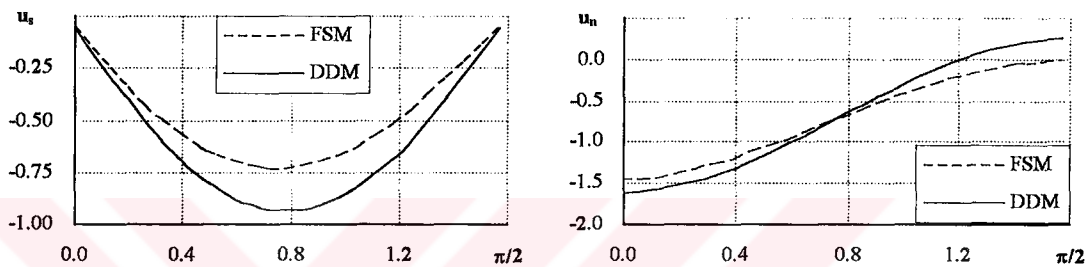
### 5.3. SAYISAL ÖRNEKLER

#### 5.3.1. Sonsuz Düzleme Dairesel Boşluk

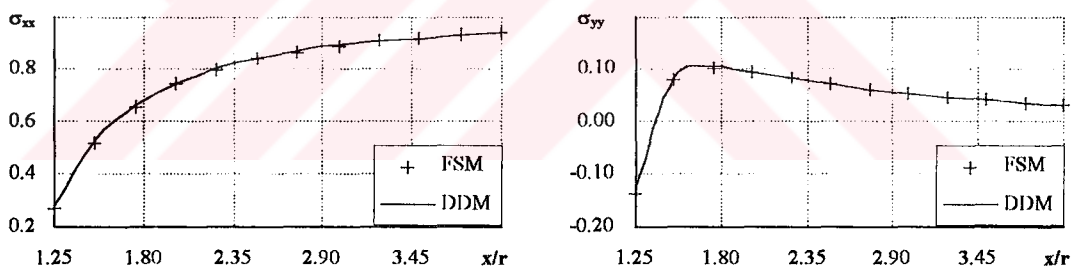
Şekil 5.5'de verilen anizotrop ortamda düzlem gerilme hali için, sonsuz düzlemede dairesel boşluk problemi çözülmüştür. [1]'de verilen fiktif gerilme yöntemi ile bu çalışmada elde edilen yer değiştirmeye süreksizliği yöntemi sonuçları karşılaştırılmıştır. Anizotrop malzemede mühendislik sabitleri  $E_{xx}=645.16 kPa$ ,  $E_{yy}=17035.77 kPa$ ,  $G_{xy}=869.57 kPa$ ,  $\nu_{xy}=0.0213$  olan bir ortamda, Şekil 5.5'de verilen yükleme halinde gerilme ve yer değiştirmeye sonuçları Şekil 5.6-8'de verilmiştir. Ayrıca sayısal hesap için daire parçasını  $1/4$ 'ü alarak 25 adet sabit elemana bölünmüştür.



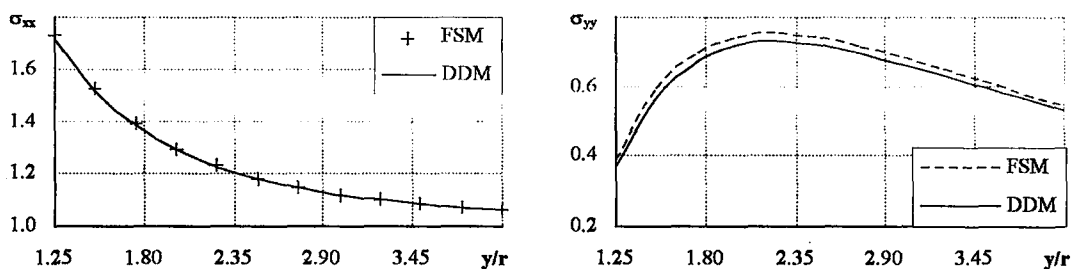
Şekil 5.5. İki boyutlu sonsuz anizotrup ortamda dairesel boşluk



Şekil 5.6. Boşluk sınırında yer değiştirmeler



Şekil 5.7.  $x$  ekseni üzerinde  $\sigma_{xx}$  ve  $\sigma_{yy}$  gerilmeleri.



Şekil 5.8.  $y$  ekseni üzerinde  $\sigma_{xx}$  ve  $\sigma_{yy}$  gerilmeleri.

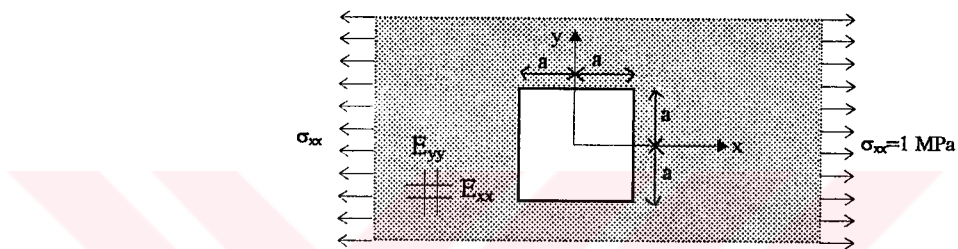
### 5.3.2. Sonsuz Düzlemde Kare Boşluk

Bu örnekte Şekil 5.9'da görüldüğü gibi sonsuz düzlemde kare boşluk alınmış ve malzeme sabitlerine bağlı olarak 3 durum çözülmüştür.

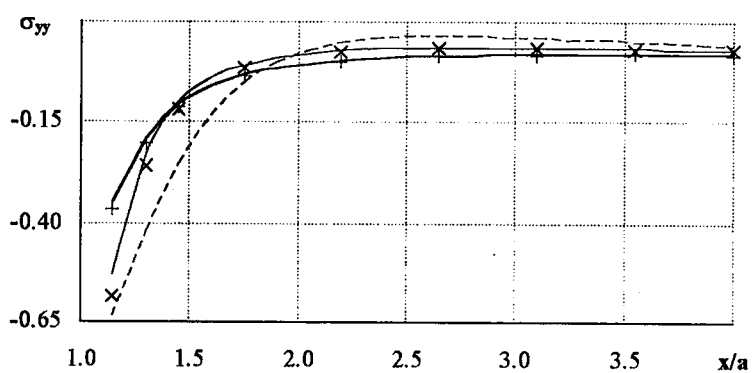
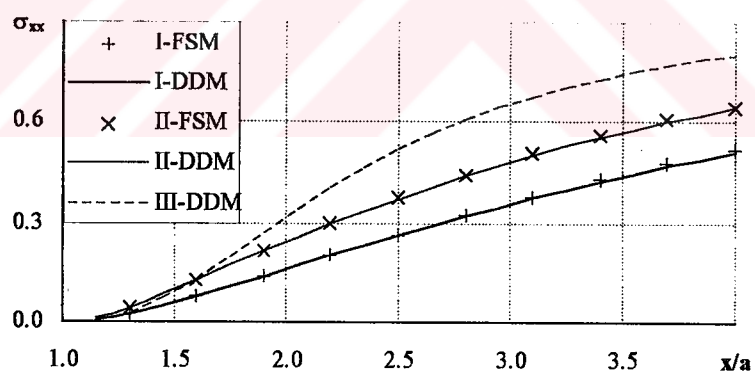
I. durum anizotrop:  $E_{xx}=1.2 \times 10^7$ ,  $E_{yy}=0.6 \times 10^7$ ,  $G_{xy}=0.07 \times 10^7 \text{ kN/m}^2$  ve  $\nu_{xy}=0.071$

II. durum anizotrop:  $E_{xx}=0.6 \times 10^7$ ,  $E_{yy}=1.2 \times 10^7$ ,  $G_{xy}=0.07 \times 10^7 \text{ kN/m}^2$  ve  $\nu_{xy}=0.0355$

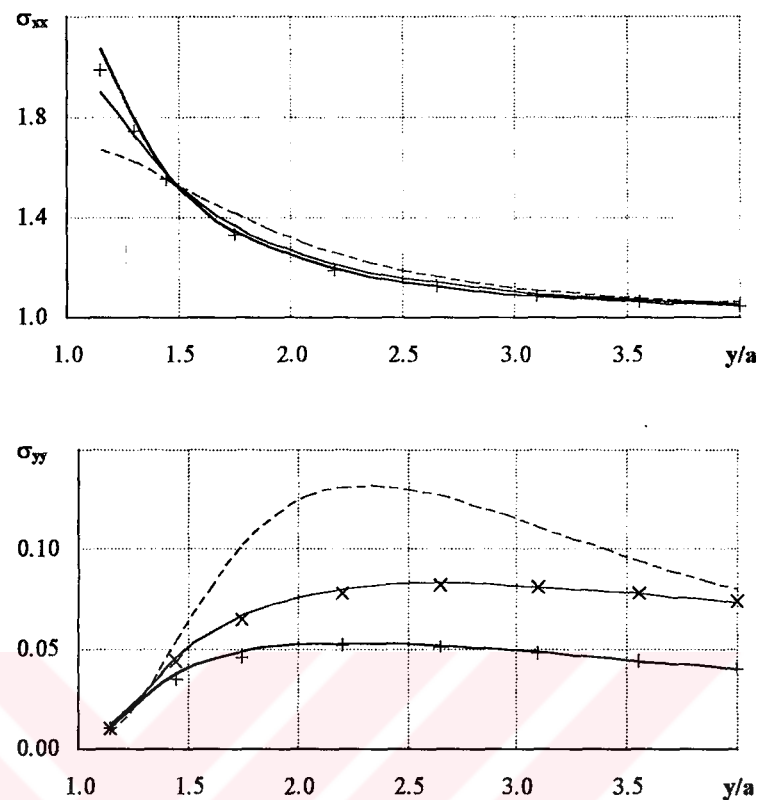
III. durum izotrop:  $E_{xx}=E_{yy}=E=3 \times 10^4$ ,  $G_{xy}=G=0.5E/(1+\nu_{xy})$  ve  $\nu_{xy}=0.3$



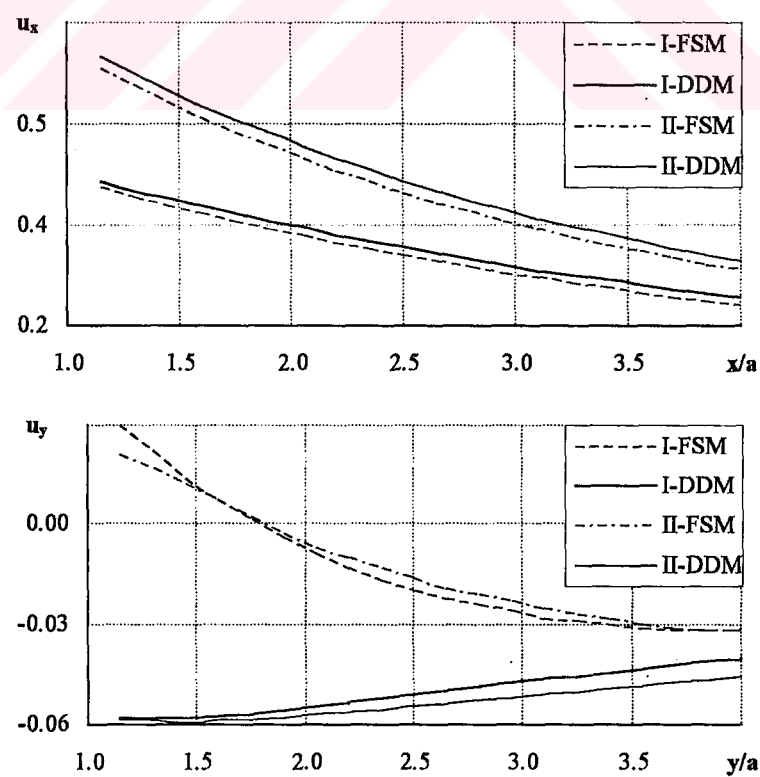
Şekil 5.9. Sonsuz düzlemde kare boşluk



Şekil 5.10. x ekseni üzerinde  $\sigma_{xx}$  ve  $\sigma_{yy}$  gerilmeleri.



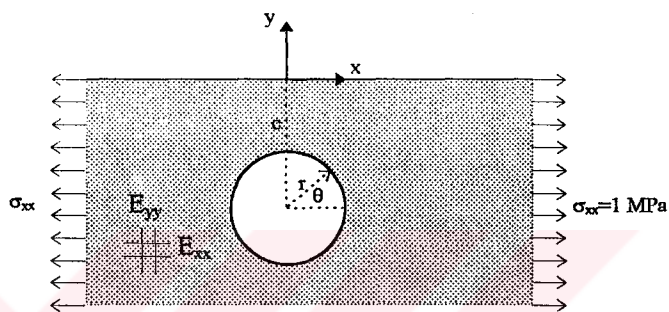
Şekil 5.11.  $y$  ekseni üzerinde  $\sigma_{xx}$  ve  $\sigma_{yy}$  gerilmeleri.



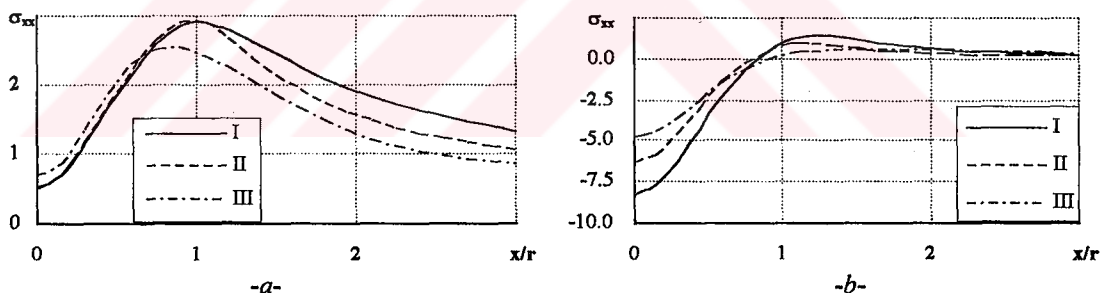
Şekil 5.12.  $x$  ve  $y$  eksenleri üzerinde yer değiştirmeler.

### 5.3.3. Yarı-Sonsuz Düzlemde Dairesel Boşluk

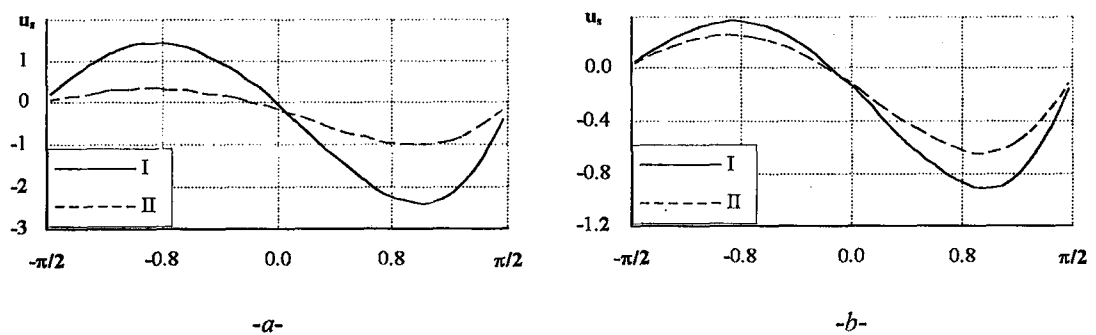
Malzeme özellikleri Bölüm 5.3.2'deki gibi göz önüne alınarak yarı-sonsuzda dairesel boşluk örneği çözülmüştür.  $c/r=1.34$  olarak sabit alınmış olup  $x$  yönünde eksenel kuvvet ve hidrostatik iç basınç etkisinde  $x$  ekseni üzerindeki gerilmeler ve boşluk sınırdaki yer değiştirmeler hesaplanmıştır. Sayısal hesapta  $1/2$  daire parçası alınarak 24 eşit ve doğrusal elemana bölünmüştür.



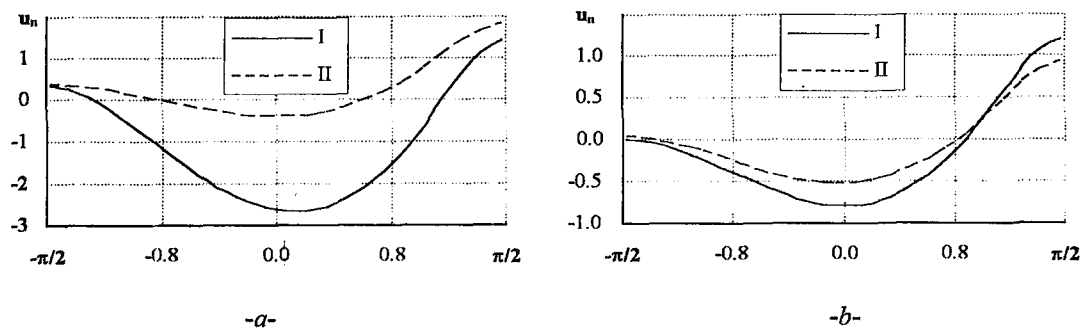
Şekil 5.13. Yarı-sonsuz düzlemde dairesel boşluk



Şekil 5.14. a) eksenel kuvvet etkisinde, b) hidrostatik basınç altında  $x$  ekseni üzerinde  $\sigma_{xx}$  gerilmeleri.



Şekil 5.15. a) eksenel kuvvet etkisinde, b) hidrostatik basınç altında boşluk sınırında  $u_s$  yer değiştirmeleri.



Şekil 5.16. *a*) eksenel kuvvet etkisinde, *b*) hidrostatik basınç altında boşluk sınırmada  $u_n$  yer değiştirmeleri.

## SONUÇLAR VE ÖNERİLER

Bu çalışmada izotrop ve anizotrop cisimlerde yer değiştirme süreksizliği ve fiktif gerilme yöntemleri kullanılarak iki boyutlu düzlem problemler incelenmiştir. Her iki yöntemde de sabit elemanlar kullanarak, Kelvin temel çözümünün ve yarı-onsuz düzlem için Melan çözümünün integrasyonu ile sınır eleman denklemleri oluşturulmuştur. İntegraller kapalı olarak elde edildiğinden, bilgisayar programlarında tek incelik ile çalışmak yeterli olmuştur.

Bölüm 3'de indirekt sınır eleman yöntemine örnek olması açısından sonsuz düzlemede dairesel boşluk örnekleri fiktif gerilme (FSM) ve yer değiştirme süreksizliği (DDM) yöntemiyle çözülmüş olup mevcut analistik çözümler ile karşılaştırma yapılmıştır. Sonsuz düzlemede eksenel kuvvet ve dairesel boşlukta hidrostatik iç basınç yüklemelerinden doğan yer değiştirme ve gerilmeler her üç yöntem ile de oldukça yakın bulunmuş olup sonuçlar Şekil 3.9-12 ve Şekil 3.14-15 de verilmiştir. Bu şeillerden görüldüğü gibi boşluğun yarıçapının yaklaşık iki katına kadarki mesafede, x ekseninde  $\sigma_{yy}$  gerilmeleri, y ekseninde  $\sigma_{xx}$  gerilmeleri hızlı bir şekilde artmaka iken, bu mesafeden sonra boşluğun etkisi azalmıştır.

Ayrıca bu bölümde Şekil 3.16'da verilen eksenel kuvvet etkisindeki yarı-onsuz düzlemede dairesel boşluğun yüzeyden derinliğinin etkisi DDM ile incelenmiştir. Bu örnekteki sayısal değerler [19]'dan alınmış olup sonuçlar Şekil 3.17-18 de verilmiştir. Bu sonuçlardaki değerlere bakıldığında, boşluğun yüzeye yaklaşmasıyla, boşluğun sınırdaki maksimum ve minimum yer değiştirmeler artmaktadır. Ayrıca yüzeyin daire merkezine uzaklığının, daire yarıçapına oranı ( $c/r$ ) 3.76 olması halinde çözümlerin sonsuz düzlem çözümlerine yaklaşığı gözlenmiştir. Diğer bir ifadeyle, boşluk yüzeyden uzaklaşıkça yarı sonsuz düzlem çözümlerindeki tamamlayıcı çözümlerin etkisi azalmaktadır. Şekil 3.18 den de görüldüğü gibi eksenel yükleme durumunda tegetsel yer değiştirmeler  $-90^\circ$  ve yaklaşık  $30^\circ$  de, normal yer değiştirmeler ise yaklaşık  $-30^\circ$  ile  $60^\circ$  noktalarında  $c/r$  oranından bağımsız olmaktadır.

Bölüm 4'de indirekt sınır elemanında DDM çeşitli özel durumlar için uygulanmıştır. Bunlardan iki malzemeli bölge için Şekil 4.6'da görüldüğü gibi, sonsuz düzlemede hidrostatik iç basınç etkisi altında dairesel boşluk örneği çözülmüş ve [1]'de verilen

analitik ve FSM ile elde edilen sonuçlarla, bu çalışmada DDM ile elde edilen sonuçlar oldukça yakın değerler olarak bulunmuştur. Şekil 4.7-8 de verilen sonuçlara bakıldığından gerek yer değiştirmelerde ve gerekse gerilmelerde ikinci bölgede hızlı bir şekilde azalma gözlenmiştir. Ayrıca bu örnek Şekil 4.9. daki sistem gözönüne alınarak ve aynı sayısal değerler kullanılarak çeşitli c/b oranları için yarı-onsuz düzlemede DDM ile çözülmüştür. Burada yüzeydeki gerilmeler ile yer değiştirmeler Şekil 4.10-11 de verilmiş olup c/b oranının artmasıyla sonuçların sonsuz düzlem sonuçlarına yaklaştığı görülmüştür. Bununla beraber yaklaşık  $x=b$  noktasından sonra yüzeydeki  $\sigma_{xx}$  gerilmeleri ile yer değiştirmeler hızlı bir şekilde azalma eğilimi göstermiştir.

Bölüm 4'te ikinci özel uygulama olarak, yer değiştirme süreksizliğinde değişim eleman tanımı yapılarak, Şekil 4.12'deki gibi yarı-onsuz düzlemede lineer yayılı yük etkisinde çat�ak ve fay hattı örneği çözülmüştür. Burada fayın çatlağa uzaklığının etkisi incelenmiş olup sonuçlar Şekil 4.13-15 de verilmiştir. Fayın çatlağa temas ettiği noktada, çatlağın ucundaki açılma miktarı önemli bir derecede artmıştır. Fayın çat�ak ile çakıştığı noktalarda ise faydaki yer değiştirmeler de benzer şekilde artmıştır. Bu etkileşimlerde yüzeydeki  $\sigma_{xx}$  gerilmeleri her üç durum içinde  $x=0$  noktasında maksimum iken,  $x=100m$  ( $x=l$ ) den sonra hızla sıfıra yaklaşmaktadır. Üçüncü özel uygulama olarak da değişim elemandan Mohr-Coulomb kırılma hipotezi kullanılarak Şekil 4.16'da görüldüğü gibi dairesel boşluk ve fay örneği çözülmüştür. Bu örnekteki sayısal değerler [24]'den alınmış fay hattı Mohr-Coulomb hipotezini içermesi ve içermemesi halleri için DDM ile çözülmüş ve sonuçlar Şekil 4.17'de verilmiştir. Söz konusu elemandaki kayma uzunluğu, yaklaşık boşluğun yarıçapı kadar olarak elde edilmiş ve söz konusu kaynakta verilen elastik teorideki kayma uzunluğuna oldukça yakın olduğu görülmüştür.

Bölüm 5'te anizotrop ortamda bilinen tekil kuvvet çözümleri yardımıyla elde edilen dipol çözümleri ve bunların yer değiştirme süreksizliğine eş olan kombinasyonları kullanılarak yeni elde edilen yer değiştirme süreksizliği yöntemiyle, fiktif gerilme yöntemi karşılaştırılmıştır. İlkörnekte sonsuz düzlemede eksenel yük etkisinde dairesel boşluk problemi [1] de verilen FSM sonuçları ile bu çalışmada elde edilen DDM sonuçları incelendiğinde, bir birine çok yakın gerilmeler elde edilmesine karşın, farklı yer değiştirmeler bulunmuştur (Şekil 5.6-8). Burada boşluğun yüzeyindeki  $u_s$  ve  $u_n$  yer değiştirmeleri, x ekseninde  $\sigma_{xx}$  gerilmeleri ve y ekseninde  $\sigma_{yy}$  gerilmeleri izotrop ortamdaki sonuçlara benzer şekilde eğilim göstermiştir. Buna karşın x ekseninde maksimum  $\sigma_{yy}$  gerilmeleri, izotrop ortamda yaklaşık 2.1r noktasında iken, anizotrop ortamda yaklaşık 1.6r noktasında meydana gelmiştir. y eksenindeki  $\sigma_{yy}$  gerilmeleri ise izotrop ortamdan tamamen farklılık göstermiştir.

Bölüm 5. ikinci örnekte ise benzer yükleme altında kare boşluk örneği üç farklı malzeme için her iki yöntemle de çözülmüştür. Malzeme II (MII), malzeme I (MI) deki elastisite katsayılarının  $90^\circ$  dönmuş hali ve malzeme III (MIII) ise izotrop olarak gözönüne alınmıştır. Kare boşluğun genişliği dairesel boşluğun çapı kadar alınmış olup, grafiklerdeki eğimler, dairesel boşluk çözümlerindeki grafiklerin eğimlerine benzerlik göstermiştir (Şekil 5.10-12). İlk örneğe benzer şekilde FSM ile elde edilen sonuçlar ile DDM ile elde edilen sonuçlarda, gerilmeler bir birine çok yakın elde edilmiş, buna karşılık yer değiştirmeler de aynı yakınık elde edilememiştir.

Bölümün son örneği olarak yarı sonsuz düzlemde eksenel yük ve hidrostatik iç basınç etkisi altındaki dairesel boşluk, c/r oranı sabit olmak üzere üç farklı malzeme için DDM ile çözülmerek sonuçlar Şekil 5.14,15,16'da gösterilmiştir. Anizotrop malzemelerde yüzeydeki maksimum  $\sigma_{xx}$  gerilmeler, izotrop malzemeye oranla daha büyüktür. Ayrıca MI de boşluğun sınırlarındaki yer değiştirmeler, bu yüklemeler altında MII'ye göre artmaktadır.

Sonuç olarak bu çalışmanın amacı anizotrop ortamlarda DDM yöntemi, quadripol çözümleri yardımıyla geliştirilmiş olup, yöntemin etkinliği ve anizotropinin etkisi, çeşitli yüklemeler altında boşluk,çatlak ve fay örnekleri çözümlere gösterilmeye çalışılmıştır.

Konuya ilgili gelecekte yapılabilecek çalışmalar:

- 1- Anizotrop ortamda değişim eleman tanımlanması,
- 2- İzotrop ortamda değişim elemanın sabit aralıklarla paralel olması durumunda enine izotrop benzeşimi yapılarak, anizotrop için elde edilen denklemlerle tabakalı ortam çözümlerinin elde edilmesi,
- 3- Yüksek mertebeden yer değiştirme süreksızlık elemanlarının elde edilmesi,
- 4- Anizotrop ortamda Mohr-Coulomb hipotezinin kullanılması,
- 5-Zemindeki akma ve plastikleşme durumunun gözönüne alınması,
- 6- Yöntemin kırılma mekanığında uygulanması,  
olarak sıralanabilirler.

Sonuçlarda anizotropinin çözümlerde gözönüne alınmasıyla elde edilen sonuçların yorumundan, gerilme ve yer değiştirmeler üzerinde anizotropinin etkisinin gözönünde tutulmasının gerekliliği bir faktör olduğu anlaşılmaktadır.

## KAYNAKLAR

- [1] **CROUCH, S. L. and STARFIELD, A. M.**, Boundary Element Methods in Solid Mechanics, London, (1983)
- [2] **BANERJEE, P.K. and BUTTERFIELD, R.**, Boundary Element Methods in Engineering Science, UK, (1981)
- [3] **HARTMANN, F.**, Introduction to Boundary Elements, NewYork (1989)
- [4] **BESCOS, E.D.**, Boundary Element Methods in Mechanics, Patras, (1987)
- [5] **BREBBIA, C.A.**, The Boundary Element Method For Engineers, London, (1978)
- [6] **BEER, G. and WATSON, J.O.**, Introduction to Finite and Boundary Element Methods for Engineering, New York, (1992)
- [7] **BREBBIA, C.A.**, Topics in Boundary Element Research, New York, (1984)
- [8] **LOU, Z. W., and ZHANG, M.**, Elastoplastic Boundary Element Analysis with Hetenyi's Fundamental Solution, Engineering Analysis with Boundary Elements, Vol. 10, pp. 231-339, (1992)
- [9] **KANE, J.H. and SUNIL, S.**, Design- Sensitivity Analysis of Solids Using BEM, Journal of Engineering Mechanics, Vol. 114, No. 10, ASCE, (1988)
- [10] **BREBBIA, C.A., TELLES, J.C.F. and WROBEL, L.C.**, Boundary Element Techniques, New York, (1984)
- [11] **RENCIS, J. J. and HUANG, Q.**, Boundary Element Formulation for Generalized Plane Strain, Engineering Analysis with Boundary Elements, Vol. 9, pp. 263-271, (1992)
- [12] **KARAMI, G.**, BE Analysis of 2D Elastoplastic Contact Problems, Int. J. For Num. Methods in Engineering, Vol. 36, pp. 221-235, (1993)
- [13] **MAIER, G. and NOVATI, G.**, BE Elastic Analaysis of Layered Soils by A Successive Stiffness Method, Int. J. For Numerical and Analytical Methods in Geomechanics, Vol.11, pp. 435-447, (1987)

- [14] PORTELA, A., ALIABADI, M. H. and ROOKE, D. P., The Dual Boundary Element Method- Effective Implementation for Crack Problems, Int. J. for Numerical Methods in Engineering, Vol. 33, pp. 1269-1287, (1992)
- [15] DUMIR, P.C., and MEHTA, A.K., BE Solution for Elastic Orthotropic Half-Plane Problems, Computer and Structures Vol. 26, No. 3, pp. 431-438, ( 1987)
- [16] BREBBIA, C.A. and BUTTERFIELD, R., Formal Equivalence of Direct and Indirect Boundary Element Methods, Applied Mathematical Modelling, Vol. 2, pp. 132-134, (1978)
- [17] CRUSE, T.A., Boundary Element Analysis in Computational Fracture Mechanics, London, (1988)
- [18] CROUCH, S.L., and SELCUK, S., Two-Dimensional Direct Boundary Integral Method for Multilayered Elastic Media, Int. J. Rock Mech. Min. Sci. and Geomech. Abstr., Vol. 29, No. 5, pp. 491-500, (1992)
- [19] MEEK, J. L. and DAI, C., The Integration of The Melan Solution Over A Line Segment-Implementation for Boundary Element Modelling of Surface Cavations, Int. J. for Numerical and Analytical Methods in Geomechanics, Vol.16, pp. 655-667, (1992)
- [20] TAKHTEYEV, V. and BREBBIA, C. A., Analytical Integrations in Boundary Elements (Technical Note), Engn. Analysis with Boundary Elements, Vol.7, No. 2, (1990)
- [21] HUANG, Q. and CRUSE, T.A., On The Non- Singular Traction-BIE in Elasticity, Int. J. For Num. Methods in Engineering, Vol. 37, pp. 2041-2072, (1994).
- [22] XIAOYAN, L., XIUXI, W. and MAOKUANG, H, A New Boundary Integral Formulation With No Singularity, ACTA Mechanica Sinica, Vol.6, No. 4, (1990)
- [23] CROUCH, S.L., Analysis of Stresses and Displacements Around Underground Excavations, University of Minnesota Geomechanics Report, (1976)
- [24] AUSTIN, M.W., BRAY, J.W. and CRAWFORD, A.M., A Comparison of Two Indirect Boundary Element Formulations Incorporating Planes of Weaknes (Technical Note), Int. J. Rock Mech. Min. Sci.and Geomech. Abstr., Vol. 19, pp, 339 -344, (1982)

- [25] **JIANG, Y.S. and ZIMMERMANN, T.**, Indirect Boundary Element Algorithm for Slope Stability Analysis, Engineering Analysis with Boundary Elements, Vol. 9, pp. 209-217, (1992)
- [26] **LU, J. and WATSON, J. O.**, A Quadratic Variation Indirect Boundary Element Methods for Traction Boundar Value Problems of Two-Dimensional Elastostatics, Int. J. for Numerical and Analytical Methods in Geomechanics, Vol. 12, pp. 183-196, (1988)
- [27] **CHAN, H.C.M.**, Fracture Mechanics Analysis of The North West Fault Block of The Prudhoe Bay Field, Int. J. Rock Mech. Min. Sci. and Geomech. Abstr., Vol. 30, No. 2, pp. 141-149, (1993)
- [28] **CHAN, H.C.M., LI, V. and EINSTEIN, H.H.**, A Hybridized Displacement Discontinuity and Indirect Boundary Element Method to Model Fracture Propagation, Int. Jornal of Fracture, Vol. 45, pp. 263-282, (1990)
- [29] **CHAN, H.C.M.**, Analytical Influence Functions for Displacement Discontinuity and Point Force Elements, Int. J. for Numerical and Analytical Methods in Geomechanics, Vol. 16, pp. 669-682, (1992)
- [30] **CLEARY, M.P.**, Continuously Distributed Dislocation Model for Shear-Bands in Softening Materials, Int. J. for Numerical Methods in Engineering, Vol. 10, pp. 679-702, (1976)
- [31] **CRAWFORD, A.M., and CURRAN, J.H.**, Higher-Order Functional Variation Displacement Discontinuity Elements, Int. J. Rock Mech. Min. Sci. and Geomech. Abstr., Vol. 19, pp. 143 -148, (1982)
- [32] **CROUCH, S. L.**, Solution of Plane Elasticity Problems by The displacement Discontinuity method- I. Infinite Body Solution, International Journal for Numerical Methods in Engineering, Vol. 10, pp. 301-318, (1976)
- [33] **CROUCH, S. L.**, Solution of Plane Elasticity Problems by The Displacement Discontinuity Method- II. Semi-Infinite Body Solution, Int. Journal for Numerical Methods in Engineering, Vol. 10, pp. 319-343, (1976)
- [34] **DUNBAR, W.S., and ANDERSON, D.L.**, The Displacement Discontinuity Method in Three Dimensions, Editor, C.A. Brebbia, In BEM Proceddings of The Third International Seminar Iruine, California July, (1981)
- [35] **KURIYAMA, K. and MIZUTA, Y.**, 3D Elastic Analaysis by The DDM With Boundary Division in to Triangular Leaf Elements, Int. J. Rock Mech. Min. Sci. and Geomech. Abstr., Vol. 30, No.2, pp. 111-123, (1993)

- [36] PAN, E., Dislocation in An Ifinite Poroelastic Medium, *Acta Mechanica* Vol. 87, pp. 105-115, (1991)
- [37] SHOU, K. J. and CROUCH. S. L., A Higher Order DDM. for Analysis of Crack Problems, *Int. J. Rock. Mech. Min. Sci. and Geomech. Abstr.*, Vol.32, No:1, pp.49-55, (1995)
- [38] SHI, G.H. and GOODMAN, R. E., Generalization of Two-Dimensional Discontinuous Deformation Analysis for Forward Modelling, *Int. J. for Numerical and Analytical Methods in Geomechanics*, Vol. 13, pp. 359-380, (1989)
- [39] WILES, T. D. and CURRAN, J. H., A General 3-D Displacement Discontinuity Method, *Proceedings of The 4th. Int.'l Conference on Numerical Methods in Geomechanics*, Canada, Vol. 1, pp. 103-111, (1982)
- [40] YIN, H. P. and EHRLACHER. A., Variational Approach of DDM and Application to Crack Problems, *Int. J. of Fracture*, Vol. 63, pp. 135-153, (1993)
- [41] HORII, H., and NEMAT-NASSER, S., Elastic Fields of Interacting Inhomogeneities, *Int. J. Solids Structures*, Vol. 21, No. 7, pp. 731-745, (1985)
- [42] KURSHIN, L.M. and SUZDAL'NITSKII, I. D., Stresses in A Plane With A Filled Crack, Plenum Publishing Corporation, (1975)
- [43] LU, H. and LARDNER, T. J., Mechanics of Subinterface Cracks in Layered Material, *Int. Jor. of Solids and Structures*, Vol.29, N0. 6, pp. 669-688, (1991)
- [44] NISHIMURA, N. and KOBAYASHI, S., A Boundry Integral Equation Method for An Inverse Problem Related to Crack Detection, *Int. J. for Num. Methods Engineering*, Vol.32, pp. 1371-1387, (1991)
- [45] NOWELL, D. and HILLS, D. A., Open Cracks At or Near Free Edges, *Journal of Strain Analysis*, Vol. 22, No.3, (1987)
- [46] SEO, K. and MURA, T., The Elastic Field in a Half Space Due to Ellipsoidal Inclusions With Uniform Dilatational Eigenstrains, (1979)
- [47] VIOLA, E., PIVA, A. and RADI, E., Crack Propagation in An Orthotropic Medium Under General Loading, *Engineering Fracture Mechanics*, Vol. 34, No. 5/6, pp. 1155- 1174, (1989)

- [48] **BRADY, B. H. G., BRAY, J. W.**, The Boundary Element Method for Elastic Analysis of Tabular Orebody Extraction, Assuming Complete Plane Strain, Int. J. Rock Mech. Min. Sci.and Geomech. Abstr., Vol. 15, pp. 29-37, (1978 ).
- [49] **BRADY, B. H. G., BRAY, J. W.**, The Boundary Element Method for Determining Stresses and Displacements Around Long Openings in a Triaxial Stress Field, Int. J. Rock Mech. Min. Sci.and Geomech. Abstr., Vol. 15, pp. 21-28, ( 1978 )
- [50] **GREEN, A.E. and ZERNA, W.**, Theoretical Elasticity, Oxford, (1968)
- [51] **LEKHNITSKII, S.G.**, Theory of Elasticity of An Anisotropic Elastic Body, San Francisco, (1963)
- [52] **ANAND, S.C. and YALAMANCHILI, K.K.**, A Numerical Procedure to Estimate Failure Loads in Composite Masonry Walls, Structural Engineering Review, Vol. 5, No. 1, pp. 53-61, (1993)
- [53] **BINIENDA, W. K.**, Crack Interaction in Anisotropic Materials, Proc. Int. Symp., Brittle Matrix Composites 4, (1994)
- [54] **DELALE, F.**, Fracture Analysis of Notched Composites, ASME, Journal of Engineering Materials and Technology, Vol. 109, pp.22-35, (1982)
- [55] **DOBLARE, M., ESPIGA, F., GRACIA, L. and ALCANTUD, M.**, Study of Crack Propagation in Orthotropic Materials by Using The BEM, Engineering Fracture Mechanic, Vol.37, No.5, pp. 953-967, (1990)
- [56] **GOUTOS, E.E., and ZACHAROPOULOS, D.A.**, Mixed-Mode Crack Growth in Anisotropic Media, Engineering Fracture Mechanics, Vol. 34, No. 2, pp. 337-346, (1989)
- [57] **SHAN, F. D. and XING, Z.**, Analy. Variational Meth. of Solution For SIF's About Anisotropic and Isotropic Finite Plates With Double Cracks Emanating From Holes, Engineering Fracture Mechanics, Vol. 50, No.3, pp. 311-324, (1995)
- [58] **ZHANG, Z. G. and MAI, Y. W.**, Calculation of Stress Intensity Factors for Griffith Cracks in An Orthotropic Elastic Plate Using The Principle of Superposition, Engineering Fracture Mechanic, Vol. 34, No.4, pp. 803-814, (1989)

- [59] **ZHANG, S.Q., JANG, B.Z., VALAIRE, B.T. and SUHLING, J.C.**, A New Criterion for Composite Material Mixed Mode Fracture Analysis, *Engineering Fracture Mechanics*, Vol. 34, No. 3, pp. 749-769, (1989)
- [60] **XIAO, B. and CARTER, J.P.**, Boundary Element Analysis of Anisotropic Rock Masses, *Engineering Analysis with Boundary Elements*, Vol.11, pp. 293-303, (1993).
- [61] **CARTER J.P. and XIAO B.**, A 2D Coupled FE and BE Scheme To Simulate The Elastic Behaviour of Jointed Rock, *Int. J. For Num. And Analytical Methods in Geomechanics*, Vol. 18, pp. 49-71, ( 1994 ).
- [62] **ALEHOSSEIN, H., CARTER,J.P. and BOOKER, J.R.**, Finite Element Analysis of Rigid Footings on Jointed Rock, *Complas III Barselona, Spain April*, (1992)
- [63] **RIZZO, F.J. and SHIPPY, D.J.**, Method for Stress Determination in Plane Anisotropic Elastic Bodies, *J. Comp. Mat.*, Vol. 4, pp. 36-60, (1970)
- [64] **CHEN, D.H.**, Force and Dislocation in An Anisotropic Semi-Infinite Plate Joined to An Isotropic Semi-Infinite Plate, *Engineering Fracture Mechanics*, Vol. 52, No.1, pp. 95-106, (1995)
- [65] **CHEN, D.H.**, Force and Dislocation in An Isotropic Semi-Infinite Plate Joined to An Anisotropic Semi-Infinite plate, *Engineering Fracture Mechanics*, Vol. 51, No. 4, pp. 603-613, (1995)
- [66] **PI-HUA,W.**, The Solution of A Displacement Discontinuity for An Anisotropic Half-Plane and Its Applications to Fracture Mechanics, *Engineering Fracture Mechanics*, Vol. 34, No. 5/6, pp. 1145-1154, (1989)
- [67] **BERGER, J.R.**, BE Analysis of Anisotropic Bimetarials With Special Green's Functions, *Engineering Analysis with Boundary Elements*, Vol.14 pp. 123-131, (1994)
- [68] **DEB, A., and BANERJE, P.K .**, BEM For General Anisotropic 2D Elasticity Using Particular Integrals, *Cominications in Applied Numerical Methods*, Vol. 6, pp. 111-119, (1990)
- [69] **PAN, Y. C. and CHOU, T. W.**, Green's Functions for Two-Phase Transwersely Isotropic Materials, (1979)

- [70] SHI, G. and BEZINE,G., A New Boundary Integral Equation- Finite-Element Method for Clamped Orthotropic Plate Bending Problems, Communications in Applied Numerical Methods, Vol.5, pp. 527-537, (1989)
- [71] WITTKE, W., Rock Mechanics, Berlin, (1990)
- [72] MANG, Z. K., LI, H. A. and HOFSTETTER G., 3D Transversely Isotropic BEM Including Body Force Boundary Integration, (1990)
- [73] SCHCLAR, N.A., Anisotropic Analysis Using Boundary Elements, Great Britain, (1994)
- [74] BROWN, E.T., Analytical and Computational Methods in Engineering Rock Mechanics, London, (1987)
- [75] PANDE, G.N., BEER, G. and WILLIAMS, J.R., Numerical Methods in Rock Mechanics, New York, (1990)
- [76] GOODMAN, R.E., TAYLOR, R. L. and BREKKE, T. L., A Model for The Mechanics of Jointed Rock, Journal of The Soil Mechanics and Foundations Division, Proceedings of The American Society of Civil Engineers, (1968)
- [77] ZAMAN, M. M. and SHAH, M., Behavior of Underground Tunnels in Jointed Rocks Subjected to Blast Loading, Underground Mining Methods and Technology, Edited by A.B. Szwilski and M. J. Richards, pp. 373-382, (1987)
- [78] BRADY, B.H.G. and BROWN, E.T., Rock Mechanics for Underground Mining, London, (1985)
- [79] HOEK, E. and BROWN, E.T., Underground Excavations in Rock, England, (1980)
- [80] POLUS, H.G. and DAVIS, E.H., Elastic Solutions For Soil And Rock Mechanics, New York, (1974)
- [81] HOCKING, G., Stress Analysis of Underground Excavations Incorporating Slip and Separation Along Discontinuities, Recent Advances in The BEM, Pentech Press, pp. 195-214, (1978)
- [82] SAEB, S. and AMADEI, B., FE Implementation of A New Model for Rock Joints, Rock Joints, Barton and Stephansson (eds), Balkema, Rotterdam, (1990)

- [83] SHEN, B. and STEPHANSSON, O., Cyclic Loading Characteristics of Joints and Rock Bridges in A Jointed Rock, Rock Joints, Barton and Stephansson (eds), Balkema, Rotterdam, (1990)
- [84] SNYMAN, M. F., BIRD, W. W. and MARTIN, J. B., A Simple Formulation of A Dilatant Joint Element Governed by Coulomb Friction, Engineering Computations, Vol. 8, pp. 215-229, (1991)
- [85] VASILESCU, M. S., A Model for The Mechanics of Jointed Rock, (1969)
- [86] AMADEI, B. and SAEB S., Constitutive Models of Rock Joints Rock Joints, Barton and Stephansson, Balkema, Rotterdam, (1990)
- [87] BANDIS, S. C., Mechanical Properties of Rock Joints, Barton and Stephansson (eds) Balkema, Rotterdam, (1990).
- [88] AYDAN, Ö., ICHIKAWA, Y., EBISU, S., KOMURA, S. and TANABE, A., Studies on Interfaces and Discontinuities and An Incremental Elasto-Plastic Constitutive Law Rock Joints, Barton and Stephansson (eds) Balkema, Rotterdam, (1990)

## **ÖZGEÇMİŞ**

1964 yılında Kars'ın Çıldır ilçesinin Gölbelen Köyünde doğdu. Orta öğrenimini Çıldır Lisesinde tamamladı. 1986 yılında İ.T.Ü. İnşaat Fakültesi İnşaat Mühendisliği Bölümünden mezun oldu, 1989 yılında da aynı üniversitnin Fen Bilimleri Enstitüsünde yüksek lisansını tamamladı. 1989 yılında İ.T.Ü İnşaat Fakültesi Mekanik Anabilim Dalına araştırma görevlisi olarak girdi. Halen bu görevi yürütmektedir.

